ESTUDIO GEOTÉCNICO PARA LA CONSTRUCCIÓN DE 4 TORRES DE APARTAMENTOS DE 30 NIVELES EN EL MUNICIPIO DE LOS PATIOS, NORTE DE SANTANDER

Presentado por:

CRISTIAN ALBERTO AGUDELO RODRÍGUEZ

Trabajo de grado para optar al título de Magister en Geotecnia

DIRECTOR: MSC., ING. JULIÁN MAURICIO CONTRERAS C.

UNIVERSIDAD INDUSTRIAL DE SANTANDER
FACULTAD DE INGENIERÍAS FÍSICO-MECÁNICAS
ESCUELA DE INGENIERÍA CIVIL

DEDICATORIA

Dedico este logro principalmente a Dios, ya que sin la voluntad de Él no se mueve una hoja de un árbol en este mundo y a la Santísima Virgen que con su bendición pude sobrellevar este reto.

A mis Padres, por brindarme su apoyo incondicional, a mi esposa e hijos por su apoyo, amor y paciencia.

Nunca consideres el estudio como una obligación, sino como una oportunidad para penetrar en el bello y maravilloso mundo del saber.

Albert Einstein

AGRADECIMIENTOS

Agradezco a Dios por su infinito amor y por permitirme cumplir siempre con mis metas.

Al Ingeniero Julián Contreras por ser guía en nuestro proceso de formación, por su paciencia y dedicación desinteresada

A la Escuela de Ingeniería Civil de la Universidad Industrial de Santander, por abrirme las puertas para emprender este reto.

TABLA DE CONTENIDO

RE.	SUMEN	12
AB	STRACT	13
INT	TRODUCCIÓN	14
1.	OBJETIVOS Y ALCANCE	15
1.1	General	15
1.2	Específicos	15
1.3	Alcance	16
2.	METODOLOGÍA	17
2.1	Reconocimiento De La Zona En Estudio	18
2.2	Características Geológicas De La Zona	18
2.3	Trabajo De Campo	18
2.4	Ensayos De Laboratorio	18
2.5	Informe Final – Recomendaciones	19
3.	GENERALIDADES DEL PROYECTO	19
3.1	Localización Generalizada	19
3.2	Características Del Predio	21
3.3	Características Del Proyecto	22
4.	GEOLOGÍA Y GEOMORFOLOGÍA	24
4.1	Características Geológicas	24
4.2	Geomorfología	25
4.3	Geología Local	26
5.	ENSAYOS DE CAMPO Y LABORATORIO	29
5.1	Sondeos	29
5.2	Ensayos De Prospección Sísmica	36
5.2.	.1 Ensayo De Refracción Sísmica Y De Ondas Superficiales	36
5.2.	.2 Equipo De Refracción Sísmica Utilizado	39
5.2.	.3 Líneas Sísmicas	41
5.2.	.3.1 Línea sísmica LS-1.	41
5.2.	.3.2 Línea Sísmica LS-2.	44
6.	CONDICIONES DEL SUBSUELO	47
6.1	Características Geotécnicas	50

7.	REQUERIMIENTOS SÍSMICOS	.58
7.1	Amenaza Sísmica	.58
7.2	Coeficientes Aa y Av	.59
7.3	Perfil del Suelo	.60
7.4	Calculo De Periodos	.61
7.5	Espectro De Diseño	.63
8.	ANÁLISIS DE CIMENTACIÓN	.63
8.1	Estimación De Cimentación Profunda	.64
8.2	Cálculo De Pilotes	.64
8.3 Par	Capacidad De Carga Losa De Cimentación – Torres De Apartamentos Y Niveles De queaderos Propietarios	.69
8.4	Análisis De Asentamientos – Capacidad Admisible Con Elemento Finitos	.70
8.5	Módulos De Reacción Del Suelo	.73
8.6	Asentamiento Por Consolidación	.76
9.	ANÁLISIS DE ESTABILIDAD	.76
9.1	Obras De Contención Permanentes	.80
9.2	Factores De Seguridad Permitidos	.83
10.	RECOMENDACIONES	.84
10.1	Recomendaciones De Diseño	.84
10.2	Recomendación De Cimentación	.85
10.2	2.1 Cimentación Estructuras De 30 Niveles – Parqueaderos Propietarios	.85
10.2	2.2 Cimentación Parqueaderos Visitantes	.86
10.3	Recomendaciones De Estabilidad – Excavaciones	.86
10.4	Preparación De Nivel De Proyecto Y Cimentación	.87
10.5	Vías Internas Y De Acceso	.88
10.6	Zonas Duras Y Andenes	.89
10.7	Cancha Multifuncional	.89
10.8	B Estructuras Menores	.89
10.9	Recomendaciones Adicionales	.89
10.1	0 Recomendación De Sótanos	.90
10.1	1 Recomendaciones Para Protección De Estructuras Vecinas	.90
CO	NCLUSIONES	91

ESTUDIO GEOTÉCNICO TORRES DE 30 NIVELES	6
REFERENCIAS BIBLIOGRÁFICAS	93

LISTA DE TABLAS

Tabla 1. Localización Zona En Estuaio	21
Tabla 2. Estructuras Del Proyecto	23
Tabla 3. Localización Apiques Y Sondeos	29
Tabla 4. Localización En Coordenadas Líneas Sísmicas	38
Tabla 5. Perfil Representativo Zona en Estudio	48
Tabla 6. Velocidades de onda – Línea sísmica No. 1	51
Tabla 7. Velocidades de onda – Línea sísmica No. 2	52
Tabla 8. Correlaciones Resistencia Inconfinada – N spt (Terzaghi y Peck)	52
Tabla 9. Correlaciones N Del Spt – Modulo De Elasticidad	53
Tabla 10. Correlaciones velocidad de onda – módulo de elasticidad – Línea sísmica No. 1	54
Tabla 11. Correlaciones velocidad de onda – Módulo de elasticidad – Línea sísmica No. 1	55
Tabla 12. Correlación N Spt – Parámetros De Resistencia – Estrato Superior	56
Tabla 13. Parámetros De Resistencia – Ensayo De Corte Directo	57
Tabla 14. Parámetros Geotécnicos Para Diseño - Modelo	57
Tabla 15. Valores de Av, Aa, Ae Y Ad Municipios De Colombia	59
Tabla 16. Valores Aa Y Av – Municipio De Los Patios	60
Tabla 17. Clasificación De Los Perfiles De Suelo	60
Tabla 18. Requerimientos Sísmicos	61
Tabla 19. Periodos Fundamentales	61
Tabla 20. Valores De Los Parámetros Ct Y α	62
Tabla 21. Datos De Geometría Y Propiedades Pilote	64
Tabla 22. Datos De Estructuras De 30 Niveles	65

Tabla 23. Capacidad De Carga Individual De Pilote	68
Tabla 24. Cantidad De Pilotes Por Torre	68
Tabla 25. Datos De Las Estructuras	69
Tabla 26. Capacidad Admisible Del Suelo - Losas	70
Tabla 27. Capacidad Admisible Losas	70
Tabla 28. Parámetros De Losas De Cimentación Para Modelo	71
Tabla 29. Análisis de Capacidad Portante	75
Tabla 30. Factores de Seguridad - Análisis de Estabilidad	80
Tabla 31. Factores De Seguridad – Modelo Anclajes	82
Tabla 32. Factores De Seguridad Básicos Mínimos	83
Tahla 33 Parámetros De Diseño	84

LISTA DE FIGURAS

Figura. 1 . Diagrama Metodología	17
Figura. 2 Localización Predio – Mapa De Cúcuta	20
Figura. 3 Localización Generalizada Del Predio	20
Figura. 4 Lote Zona En Estudio	22
Figura. 5 Proyecto Torres De 30 Pisos	23
Figura. 6 Estratificación Apiques	24
Figura. 7 Lote En Estudio	25
Figura. 8 Geología Zona En Estudio	26
Figura. 9 Estratigrafía Geológica	27
Figura. 10 Localización Sondeos Y Apiques	31
Figura. 11 Trabajo De Campo - Sondeos	32
Figura. 12 Trabajo De Campo - Sondeos	32
Figura. 13 Trabajo De Campo - Sondeos	33
Figura. 14 Trabajo De Campo - Sondeos	33
Figura. 15 Trabajo De Campo - Sondeos	34
Figura. 16 Trabajo De Campo - Sondeos	34
Figura. 17 Trabajo De Campo - Sondeos	35
Figura. 18 Trabajo De Campo - Sondeos	35
Figura. 19 Prospección Sísmica	36
Figura. 20 Localización Líneas Sísmicas	38
Figura 21 equipo de Refracción Sísmica	30

Figura. 22 Ensayo de Refracción Sísmica	40
Figura. 23 Ensayo de Refracción Sísmica	40
Figura. 24 Procesamiento refracción - línea sísmica No. 1	41
Figura. 25 Tomografía refracción - línea sísmica No. 1	42
Figura. 26 Procesamiento MASW - Línea Sísmica No. 1	43
Figura. 27 Tomografía MASW - Línea Sísmica No. 1	43
Figura. 28 Procesamiento Refracción - Línea Sísmica No. 2	45
Figura. 29 Tomografía Refracción - Línea Sísmica No. 2	45
Figura. 30 Procesamiento MASW - Línea Sísmica	46
Figura. 31 Tomografía MASW - Línea Sísmica No. 2	46
Figura. 32 Perfil General Del Suelo – Zona De Estudio	49
Figura. 33 Carta De Plasticidad	51
Figura. 34 Zonas De Amenaza Sísmica Y Movimientos Sísmicos De Diseño	58
Figura. 35 Espectro De Diseño - Sitio De Proyecto	63
Figura. 36 Modelo 3d – Losa De Cimentación	71
Figura. 37 Modelo 3D – Losa De Cimentación	72
Figura. 38 Modelo 3D – Losa De Cimentación	73
Figura. 39 Esfuerzo vs Deformación - Losas	73
Figura. 40 Modelo 3D – Losa	74
Figura. 41 Modelo 3D - Losas De Cimentación	74
Figura. 42 Asentamiento Diferencial – Losas De Cimentación	75
Figura. 44 Asentamiento Por Consolidación	76
Figura. 45 Modelo Estabilidad Excavación	77

Figura. 46 Estabilidad Modelo Estático	<i>78</i>
Figura. 47 Corte A 50 Grados - Estabilidad Modelo Estático	79
Figura. 48 Corte A 50 Grados - Estabilidad Modelo Dinámico	79
Figura. 49 Factor De Seguridad Anclajes – Análisis Estático	81
Figura. 50 Factor De Seguridad Anclajes – Análisis Dinámico	82
Figura. 51 Losa De Cimentación	85
Figura. 52 Cimiento Continuo – Torre de Parqueaderos Visitantes	86
Figura. 53 Estructura Pavimento	88

12

RESUMEN

TITULO: ESTUDIO GEOTÉCNICO PARA LA CONSTRUCCIÓN DE 4 TORRES DE APARTAMENTOS DE 30 NIVELES EN EL MUNICIPIO DE LOS PATIOS, NORTE DE **SANTANDER.** *

AUTORES: CRISTIAN ALBERTO AGUDELO RODRIGUEZ **

PALABRAS CLAVES: Cimentación, Excavaciones, Elementos Finitos, Asentamientos, Capacidad de Carga Admisible.

DESCRIPCIÓN

Los estudios geotécnicos para los distintos proyectos de obras civiles son de suma importancia, ya que a través de la investigación del subsuelo se puede llevar a cabo un análisis del comportamiento suelo estructura, las diferentes etapas de construcción y los distintos procesos que se pueden llevar a cabo durante la ejecución de la obra, a través de estos se debe proveer recomendaciones geotécnicas de diseño de cimentación, obras de contención, excavaciones, rellenos y demás estructuras que interactúan con el subsuelo en análisis.

El presente documento se llevó a cabo con la finalidad lograr el estudio de suelos definitivo siguiendo los lineamientos de la Norma Sismo Resistente de 2010 (NSR-10) para la construcción de cuatro (4) torres de apartamentos de treinta (30) niveles cada una, dos (2) torres de parqueaderos, una de siete (7) niveles con dos (2) sótanos y una de tres (3) niveles sin sótanos, cancha múltiple, zonas verdes, zona de recreación y piscina.

El documento registra el trabajo de campo realizado, ensayos de laboratorio, interpretación de resultados, parámetros de resistencia del suelo, parámetros de diseño de cimentación y profundidad de emplazamiento, cálculo de capacidad de carga admisible del suelo, asentamientos, análisis de deformaciones con PLAXIS 3D, análisis de estabilidad en excavaciones con SLIDE.

^{*} Trabajo de grado.

^{**} Facultad de Ingenierías Físico-mecánicas, Escuela de Ingeniería Civil. Director del Proyecto Ing. Julián Mauricio Contreras C.

13

ABSTRACT

TITLE: GEOTECHNICAL STUDY FOR THE CONSTRUCTION OF 4 TOWERS OF 30

LEVEL APARTMENTS IN THE MUNICIPALITY OF LOS PATIOS, NORTH OF

SANTANDER. *

AUTHOR: CRISTIAN ALBERTO AGUDELO RODRIGUEZ **

KEY WORDS: Foundations, Excavations, Finite Elements, Settlements, Allowable Load

Capacity.

DESCRIPTION

Geotechnical studies for the different civil works projects are of utmost importance, since through the

investigation of the subsoil an analysis of the soil-structure behavior, the different stages of construction

and the different processes that can be carried out can be carried out, carried out during the execution of the

work, through these geotechnical recommendations for foundation design, containment works, excavations,

fillings and other structures that interact with the subsoil under analysis must be provided.

This document was carried out with the aim of achieving the definitive soil study following the guidelines

of the 2010 Earthquake Resistant Standard (NSR-10) for the construction of four (4) apartment towers of

thirty (30) levels each, two (2) parking towers, one of seven (7) levels with two (2) basements and one of

three (3) levels without basements, multiple court, green areas, recreation area and pool.

The document records the field work carried out, laboratory tests, interpretation of results, soil resistance

parameters, foundation design parameters and site depth, calculation of admissible soil bearing capacity,

settlements, deformation analysis with PLAXIS 3D, stability analysis in excavations with SLIDE.

* Senior Thesis.

** Faculty of Physical-Mechanical Engineering, School of Civil Engineering. Project Director Ing.

Julián Mauricio Contreras C.

INTRODUCCIÓN

Los proyectos de obras civiles tales como edificaciones, puentes, estructuras de contención, vías, entre otros, deben partir de un estudio geotécnico del sitio el cual describa las condiciones geológicas y geotécnicas de la zona que permitan obtener las propiedades físico-mecánicas del suelo a través de ensayos de campo y laboratorio llevando a cabo un análisis del comportamiento suelo-estructura que garanticen la estabilidad de la obra a través de las recomendaciones geotécnicas y especiales del estudio.

El presente documento corresponde al estudio geotécnico para la construcción de cuatro (4) edificaciones de treinta (30) niveles, consigna aspectos relacionados con la investigación de campo a través de sondeos profundos, ensayos de penetración estándar SPT, ensayos de laboratorio parámetros estratigráficos a las profundidades alcanzadas en la zona de estudio, cálculo de parámetros geotécnicos, recomendaciones de cimentación y cálculo de la capacidad admisible del suelo para la construcción del mega proyecto, en el municipio de Los Patios departamento de Norte de Santander.

De igual manera se registra en el documento el modelo para la evaluación del comportamiento del suelo a través del software PLAXIS 3D, el cual emplea elementos finitos para el análisis de deformaciones y estabilidad geotécnica, así mismo se realizó un análisis de estabilidad de las excavaciones proyectadas con el software SLIDE que maneja la teoría del equilibrio límite para calcular el factor de seguridad de taludes de tierra y roca, en condiciones estáticas y pseudoestáticas.

1. OBJETIVOS Y ALCANCE

1.1 General

Presentar el estudio del suelo definitivo para la construcción de cuatro (4) torres de apartamentos de treinta (30) pisos en el Municipio de Los Patios, departamento de Norte de Santander, en acuerdo con lo establecido en el Reglamento de Construcción Sismo Resistente NSR-10 y en cumplimiento a la normatividad vigente.

1.2 Específicos

- → Ejecutar exploraciones de campo para el reconocimiento del sitio, descripción geológica de la zona, sondeos profundos, toma de muestras de tipo alterado e inalterado, ensayos de refracción sísmica, ensayos de campo.
- → Llevar a cabo ensayos de laboratorio y procesamiento de los datos de los ensayos de refracción sísmica con el fin de alcanzar las propiedades físico-mecánicas del subsuelo en estudio.
- → Definir los parámetros geotécnicos para el diseño de la cimentación, precisando la profundidad y tipo de cimentación adecuada teniendo en cuenta los asentamientos estimados en las edificaciones, características de las estructuras y las características geológicas y geotécnicas existentes en la zona de estudio.
- → Construir las memorias de cálculo para la estimación de la capacidad admisible del suelo a la profundidad de cimentación recomendada.

- → Estimación de la carga admisible del suelo y los asentamientos de las estructuras mediante elementos finitos con el programa Plaxis 3D foundation
- → Realizar las recomendaciones geotécnicas necesarias para la construcción del proyecto.

1.3 Alcance

El alcance de la presente investigación es presentar de forma general las características físicomecánicas del subsuelo existente en la zona en estudio y con base a esto suministrar
recomendaciones geotécnicas y de estabilidad de la cimentación para la construcción de cuatro (4)
Torres de apartamentos de treinta (30) pisos cada una, estructuras de parqueaderos, vías de acceso
y zonas comunes del proyecto, localizado en el Sector de la variante La Floresta, en el municipio
de Los Patios, Norte de Santander, de acuerdo a los lineamientos establecidos en el Reglamento
Colombiano de Construcción Sismo Resistente NSR–10.

2. METODOLOGÍA

La metodología para el presente proyecto se basa en las normas para la construcción de edificaciones sismo resistentes basadas en la NSR-10 con el fin de presentar el estudio geotécnico y de suelos definitivo para el proyecto de vivienda que consta de cuatro (4) torres de apartamentos de treinta (30) niveles cada uno, el diagrama (Figura 1), representa el proceso establecido para lograr el estudio definitivo.

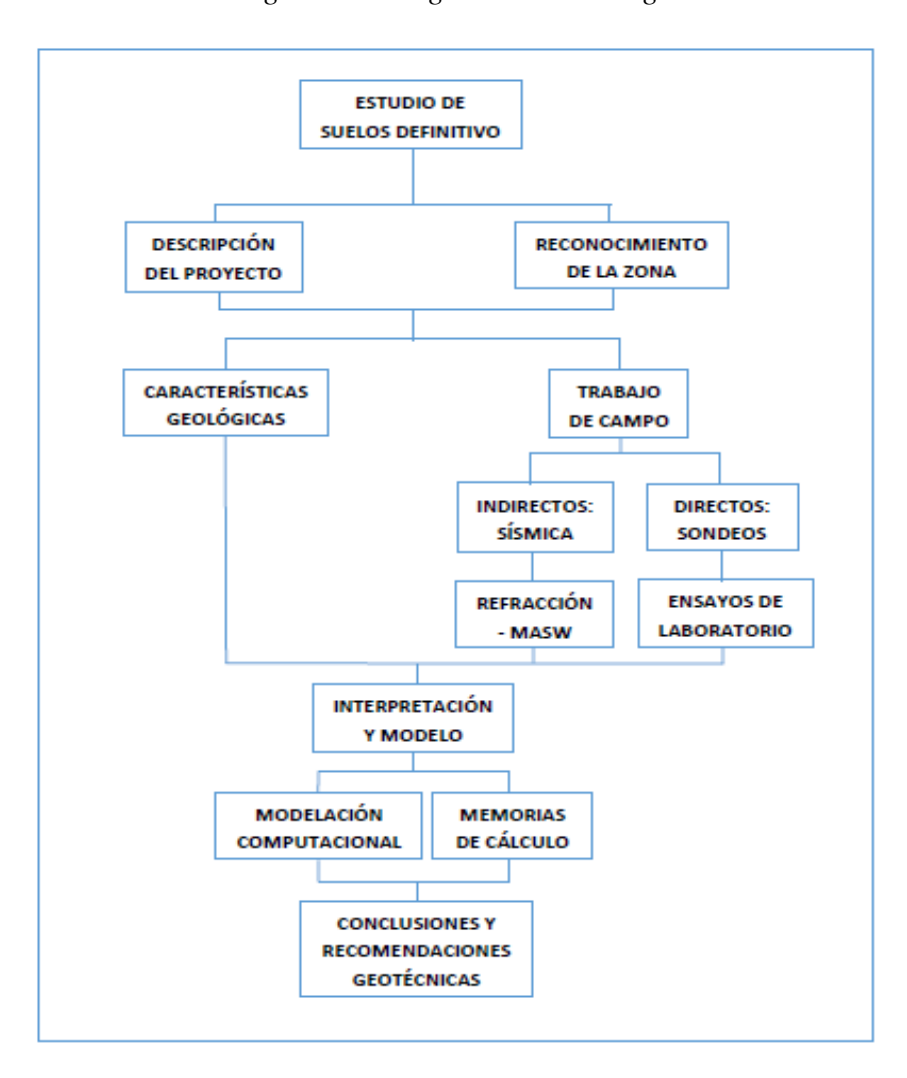


Figura. 1 . Diagrama Metodología

Nota. Metodología para el estudio definitivo, realizado por autor

2.1 Reconocimiento De La Zona En Estudio

En el mes de octubre del 2019 se realizó la visita de campo para el reconocimiento de la zona de estudio, dicho reconocimiento se basó en la observación y descripción, se llevó a cabo una descripción esquemática del lote, accesos existentes al mismo, descripción de geomateriales encontrados superficialmente y en zonas de afloramientos, estructuras adyacentes al sitio de estudio, entre otros.

2.2 Características Geológicas De La Zona

Se lleva a cabo una descripción geológica regional y local, localizando el sitio de estudio dentro del mapa geológico existente a través del servicio geológico colombiano y la plancha 88 correspondiente a la ciudad de Cúcuta, reconociendo las formaciones existentes en la zona, procesos erosivos, geomorfología, factores intrínsecos, fallas geológicas adyacentes, estratigrafía.

2.3 Trabajo De Campo

Durante el mes de noviembre del 2019 se llevaron a cabo ensayos de campo, con el fin de obtener parámetros del subsuelo y a su vez extraer muestras para los ensayos de laboratorio, dentro del trabajo de campo realizado se realizó pruebas de penetración estándar (SPT), sondeos profundos a rotación, apiques con máquina retroexcavadora, ensayos con cono dinámico DCP, asi mismo el estudio se apoyó con ensayos indirectos con dos (2) líneas sísmicas para ensayos de refracción y MASW.

2.4 Ensayos De Laboratorio

Durante el periodo de diciembre y enero del presente año se llevaron a cabo los ensayos de laboratorio que constaron de ensayos de clasificación del suelo, ensayos de compresión inconfinada, corte directo, consolidación unidimensional,

2.5 Informe Final – Recomendaciones

En base a los resultados obtenidos a través de los ensayos de campo y de laboratorio de las muestras del suelo, los parámetros geotécnicos calculados para el diseño de la cimentación y las estructuras de contención establecidas, el análisis del modelo en el software Plaxis 3D y análisis de estabilidad en SLIDE, se logra establecer una serie de recomendaciones finales y obtener una versión final del estudio.

3. GENERALIDADES DEL PROYECTO

3.1 Localización Generalizada

La zona de estudio se encuentra localizada en el municipio de Los Patios departamento de Norte de Santander, ubicado a 5 minutos de la ciudad de San José de Cúcuta en sentido Sur. El predio se sitúa sobre la Variante la Floresta Sentido Norte-Sur (Pinar del Rio – Santa Rosa de Lima) junto al conjunto cerrado X-Caret.

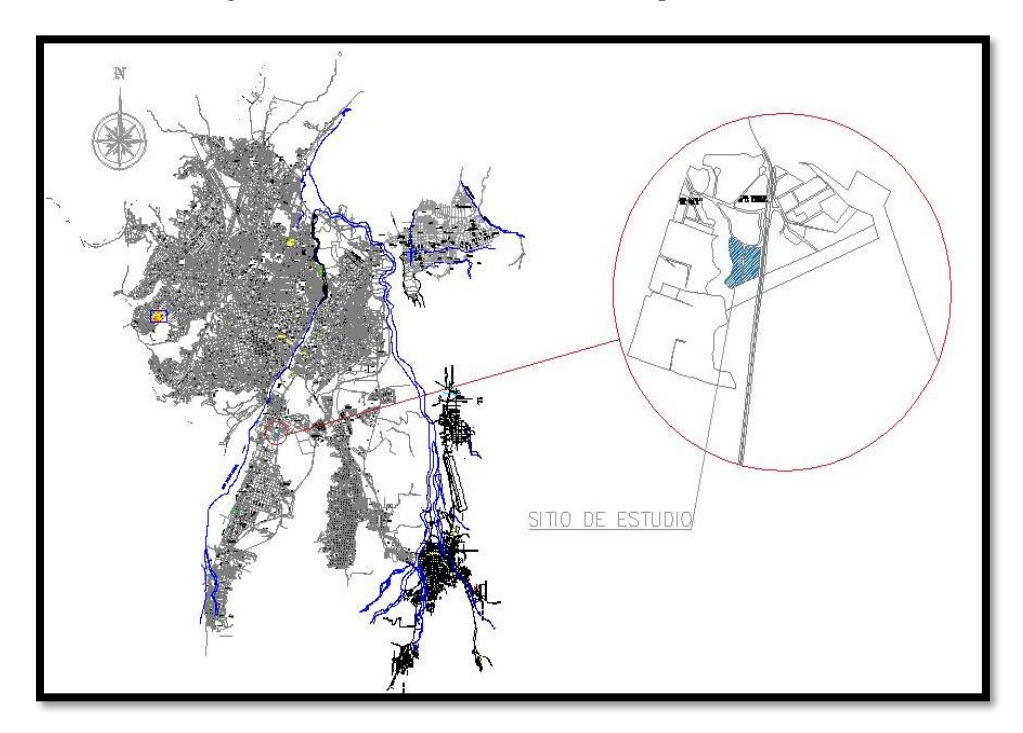
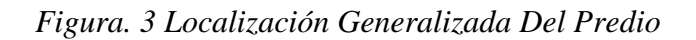


Figura. 2 Localización Predio – Mapa De Cúcuta





Nota: Fotografía tomada de Google Earth y Modificada

Tabla 1. Localización Zona En Estudio

Coordenadas Geográficas				
Latitud	7°51'24.05"N			
Longitud	72°29'51.01"O			

Nota. Coordenadas del sitio, realizado por autor

El municipio de Los Patios ubicado al sur-este del departamento del Norte de Santander, perteneciente al área metropolitana de la ciudad de San José de Cúcuta capital del departamento. Se localiza en las coordenadas geográficas 7°50′17″N 72°50′47″O y a una altura de 400 m.s.n.m., cuenta con un área aproximada de 9,5 kilómetros cuadrados y una población urbana de 75.000 habitantes.

3.2 Características Del Predio

Paula. El predio en estudio es un lote de zona boscosa que cuenta con área aproximada de 15.000 m², localizado sobre la variante la Floresta en el municipio de Los Patios, Norte de Santander, su topografía es moderadamente plana con pendiente suave en dirección Este – Oeste (E-W), el predio colinda en la zona norte con Locales comerciales y el Conjunto Cerrado X-Caret, en la zona sur con lotes en proceso de urbanización, en la zona este con la variante La Floresta que comunica el centro de Cúcuta con el anillo vial oriental y en la zona Oeste con la quebrada Juana Paula y la urbanización Juana Paula.



Figura. 4 Lote Zona En Estudio

3.3 Características Del Proyecto

Según la información suministrada por el solicitante se proyecta la construcción de un Conjunto Residencial de Apartamentos que consta de cuatro (4) torres de 30 pisos cada una, dos (2) torres de parqueaderos, una de siete (7) niveles de parqueaderos con dos (2) de sótanos para uso residencial y otra de tres (3) niveles de parqueaderos para visitantes, el conjunto contará con zona social y recreativa con cancha múltiple, piscina, zonas verdes entre otras, dentro de un área de construcción aproximada de 14.000 m².



Figura. 5 Proyecto Torres De 30 Pisos

Nota: Imagen tomada del Plano Arquitectónico

Tabla 2. Estructuras Del Proyecto

Cantidad	Estructura	Niveles	Área (m²)	Sotanos	Carga Estimada (KN)
4	Torres Apartamentos	30	1125	0	450000
1	Parqueaderos Propietarios	7	4000	2	350000
1	Parqueaderos Visitantes	3	1200	0	150000

Nota. Datos generalizados de las estructuras, realizado por autor

4. GEOLOGÍA Y GEOMORFOLOGÍA

4.1 Características Geológicas

En la zona de estudio afloran rocas sedimentarias, y conglomerados dentro de una matriz limoarenosa de color marrón claro, las sedimentarias constan de areniscas y calizas ricas en carbonato de calcio, conglomerados y depósitos no consolidados.

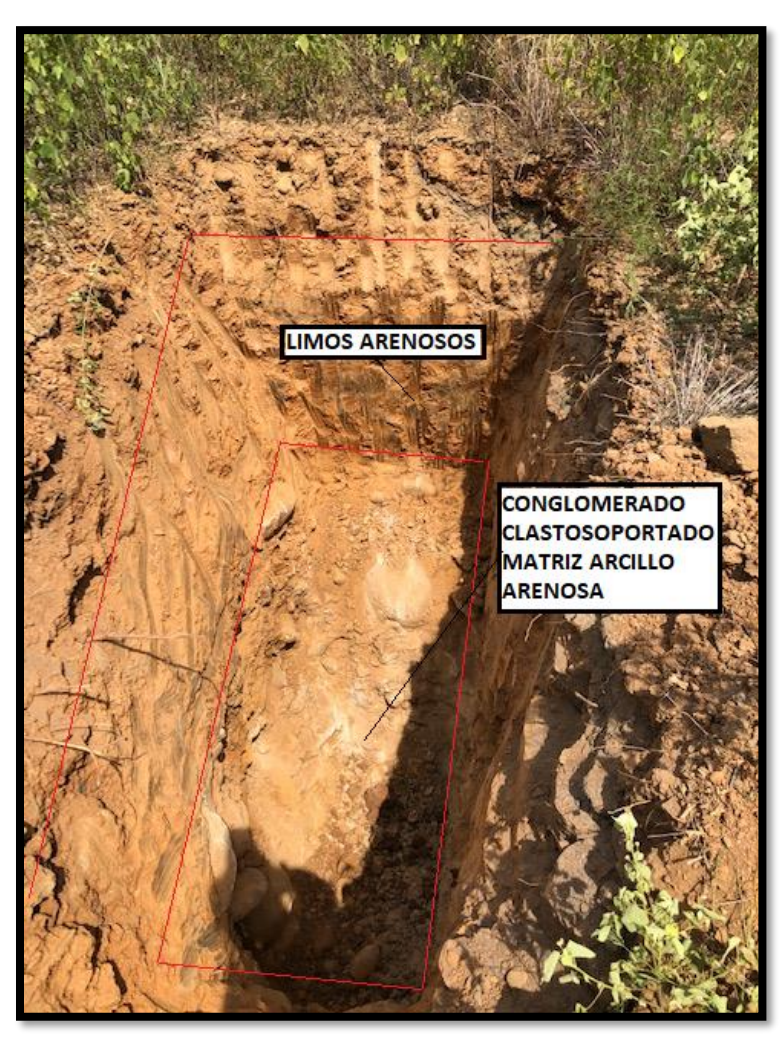


Figura. 6 Estratificación Apiques

Nota: Estratificación superior zona en estudio, por Autor

4.2 Geomorfología

El departamento de Norte de Santander predomina su relieve por la cordillera oriental la cual traspasa el departamento fronterizo, esto conforma un sistema de montaña y valle definidas por la cordillera.

La topografía en la zona de estudio es casi llana con pendiente moderada, la pendiente de la geo estructura puede variar entre 6 a 10 grados de inclinación.



Figura. 7 Lote En Estudio

Nota: Zona en estudio – lote a intervenir

4.3 Geología Local

De acuerdo a lo encontrado en la plancha 88, el área de estudio se localiza sobre "Depósitos de aluviales (Q2t)". Estas terrazas están constituidas por depósitos no consolidados de arcillas, limos y arenas. Esporádicamente se observan gravas de guijos de colores claros a marrones.

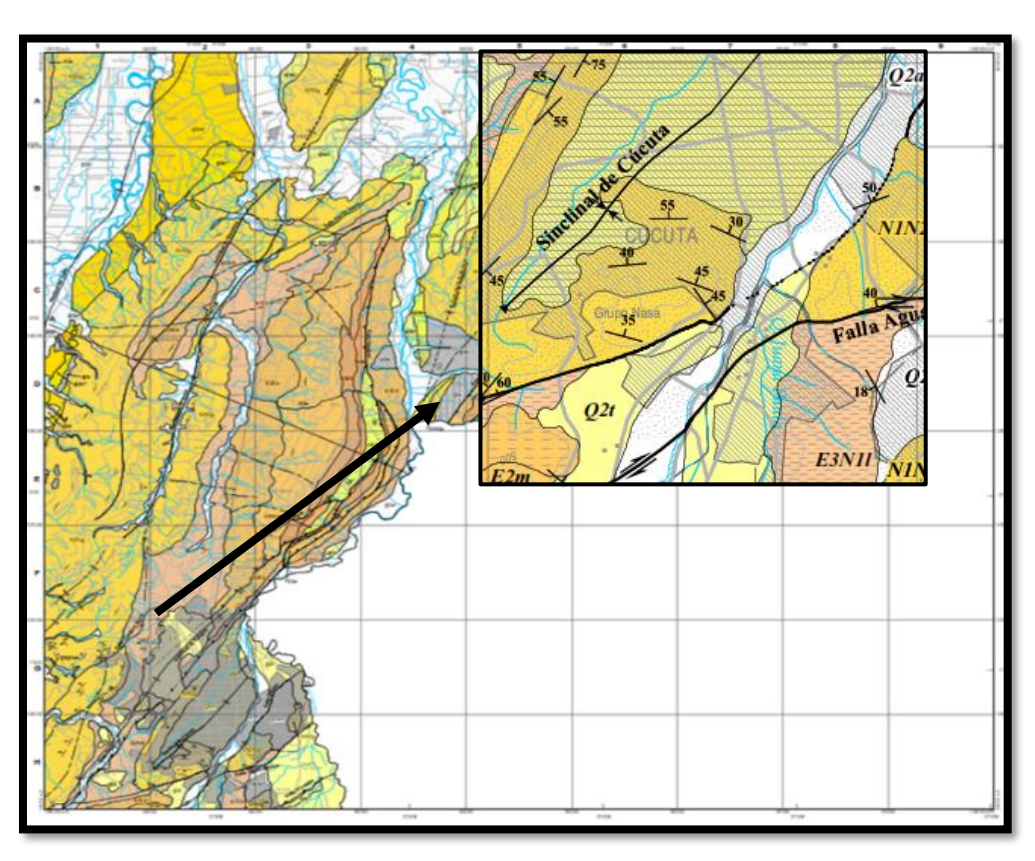


Figura. 8 Geología Zona En Estudio

Nota: Imagen modificada Mapa geológico Plancha 88 – Cúcuta, por Servicio Geológico Colombiano, 2016.

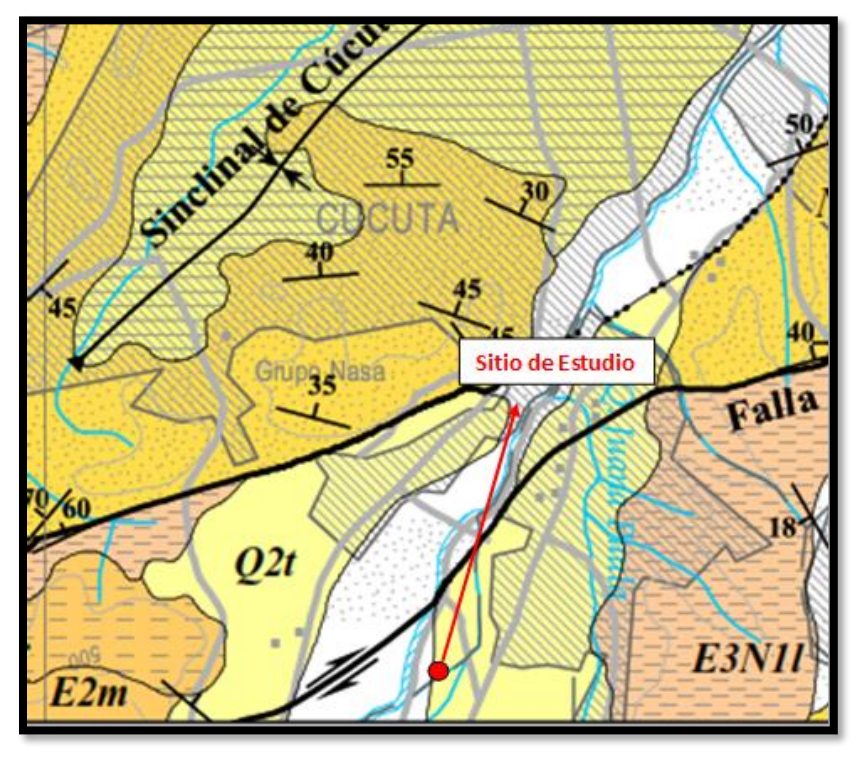
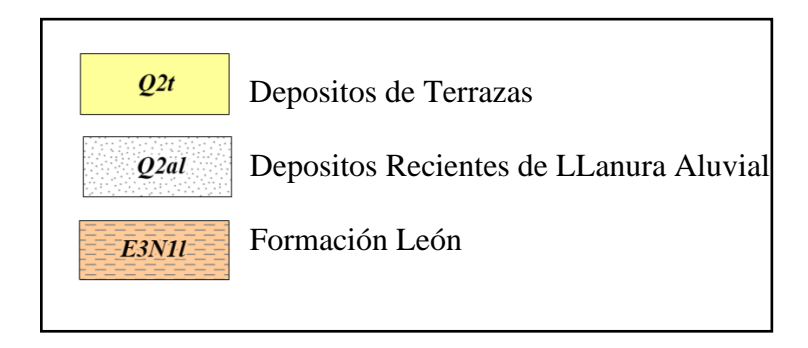


Figura. 9 Localización Geológica

Nota: Imagen modificada Mapa geológico Plancha 88 – Cúcuta, por Servicio Geológico Colombiano, 2016.

Figura. 10 Estratigrafía Geológica



Nota: Imagen modificada Mapa geológico Plancha 88 – Cúcuta, por Servicio Geológico Colombiano, 2016.

Depósitos Recientes de llanura Aluvial (Q2al). Depósitos de carácter transitorio desarrollados sobre el cauce de una corriente de agua y/o su llanura de inundación. Principalmente son producto de la erosión y transporte de material en una cuenca de drenaje.

Depósitos de Terrazas (Q2t). Las terrazas locales representan variaciones a nivel local de drenajes que se concentran en valles menores, o ríos localmente restringidos al área (e.g. Río Pamplonita, Quebrada Tonchalá, Quebrada La Floresta). Los espesores de los depósitos oscilan entre 5 a 15 metros, en general abarcan diferentes tamaños de grano, desde tamaño lodo, arena y grava como resultado de la dinámica fluvial, y representan los cambios en el nivel base local definido en el Río Pamplonita. (Servicio Geológico Colombiano - Plancha 88 – Cúcuta, 2016, Pg. 94)

Formación León (E3N11). Consiste litológicamente en shales grises a grises verdosos de alta consistencia, la presencia de capas delgadas de areniscas grises con láminas carbonosas es rara, y hacia la base y techo se presencia mayores granulometrías con la presencia de limolitas. Se presentan intercalaciones de areniscas con shales hacia la parte media de la formación. El espesor varía entre 350 metros en el área de Tibú a 785 metros en el área de Petrólea, aumentando a medida que la formación se hace más arenosa hacia el área del Río de Oro. Está compuesto en mayor parte por arcillas pizarrosas de color gris a gris verdoso, presentan horizontes limolíticos hacia la parte baja y alta de la misma; Algunos mantos delgados de areniscas grises intercaladas con láminas carbonáceas se presentan dentro de las arcillolitas" ((Servicio Geológico Colombiano - Plancha 88 – Cúcuta, 2016, Pg. 77)

5. ENSAYOS DE CAMPO Y LABORATORIO

5.1 Sondeos

Con el propósito de conocer las características del sub-suelo en la zona de estudio y de acuerdo al reglamento colombiano de construcción sismorresistente NSR-10, se ordenó la realización de doce (12) sondeos profundos con máquina de perforación a percusión y rotación PETTIT, con profundidades variables entre 10,00, 15,00 y 30,00 metros, llevando a cabo durante los sondeos ensayos de penetración estándar SPT con cuchara partida y perforación a rotación con broca diamantada, logrando a lo largo de los mismos la recuperación de muestras de suelo (En 50 % de los sondeos) de manera alterada e inalterada para llevar a cabo los ensayos de laboratorio y obtener las propiedades físico-mecánicas de los mismos, así mismo se ordenó la ejecución de tres (3) apiques con máquina retroexcavadora con profundidad media de 5,00 metros y la ejecución de ensayos in situ con cono dinámico. Igualmente, como complemento en los trabajos de campo se ejecutaron ensayos de refracción sísmica y MASW que permiten determinar los perfiles de suelo con base a las velocidades de onda sísmica.

Tabla 3. Localización Apiques Y Sondeos

COMPONEN TE	COORDENADAS GEOGRÁFICAS		PROFUNDIDAD ALCANZADA (m)
Sondeo N° 1	Latitud	7°51'25.07"N	15,00
	Longitud	72°29'53.97"O	13,00
Sondeo N° 2	Latitud	7°51'25.15"N	20.00
	Longitud	72°29'52.89"O	30,00
Sondeo N° 3	Latitud	7°51'25.05"N	10,00
	Longitud	72°29'51.75"O	10,00

Sondeo N° 4	Latitud	7°51'24.87"N	20.00
	Longitud	72°29'50.75"O	30,00
Sondeo N° 5	Latitud	7°51'24.57"N	15.00
	Longitud	72°29'53.30"O	15,00
Sondeo N° 6	Latitud	7°51'24.63"N	25.00
	Longitud	72°29'51.79"O	25,00
Sondeo N° 7	Latitud	7°51'24.56"N	10,00
	Longitud	72°29'50.69"O	10,00
Sondeo N° 8	Latitud	7°51'23.17"N	20.00
	Longitud	72°29'53.66"O	30,00
Sondeo N° 9	Latitud	7°51'23.07"N	15.00
	Longitud	72°29'52.07"O	15,00
Sondeo N° 10	Latitud	7°51'22.81"N	20.00
	Longitud	72°29'50.90"O	30,00
Sondeo N° 11	Latitud	7°51'22.32"N	15.00
	Longitud	72°29'51.48"O	15,00
Sondeo N° 12	Latitud	7°51'21.80"N	30,00
	Longitud	72°29'52.46"O	50,00
Apique No. 1	Latitud	7°51'21.88"N	5.00
	Longitud	72°29'53.11"O	5,00
Apique No. 2	Latitud	7°51'22.13"N	5.00
	Longitud	72°29'51.36"O	5,00
Apique No. 3	Latitud	7°51'23.51"N	5 00
	Longitud	72°29'51.36"O	5,00

Nota: Coordenadas geográficas tomadas con GPS

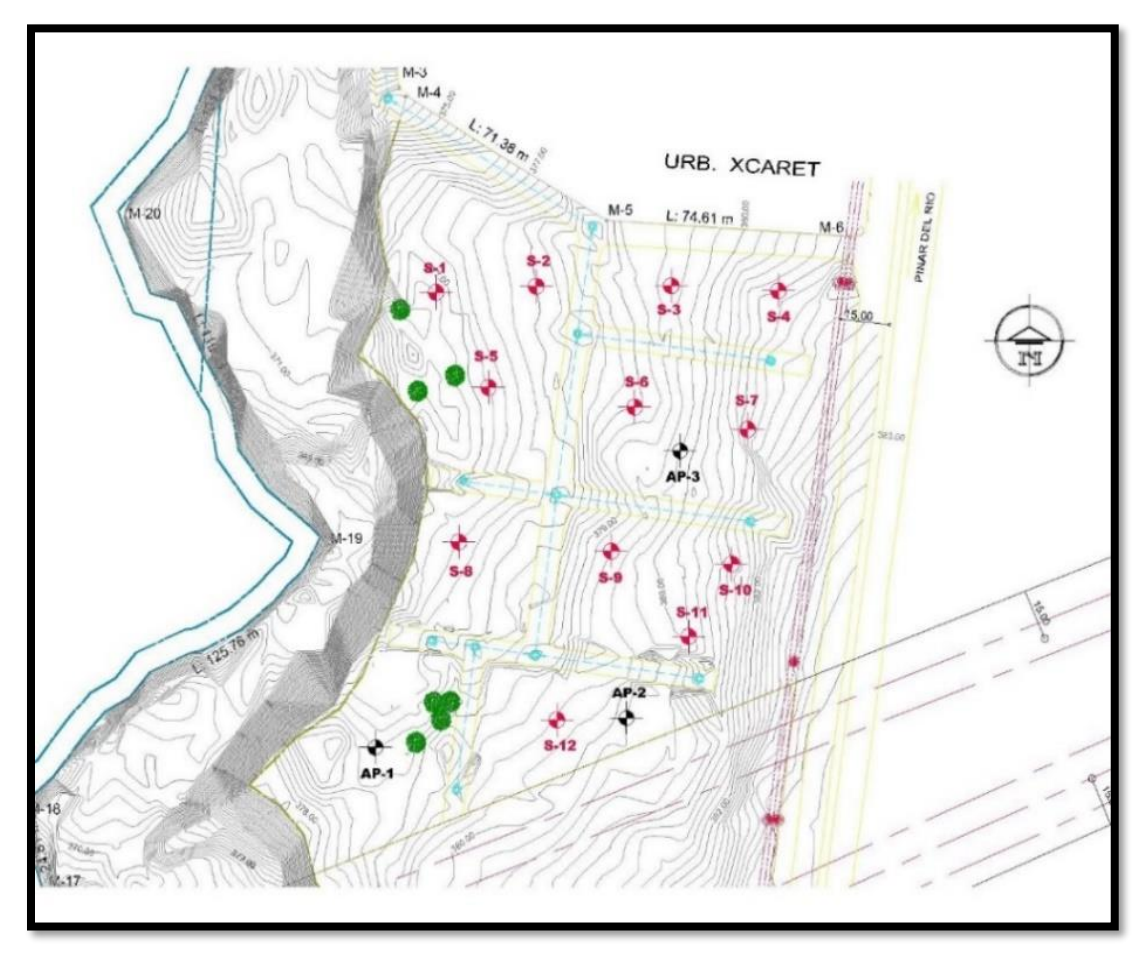


Figura. 11 Localización Sondeos Y Apiques

Nota: Imagen Modificada – Topografía de sitio

Figura. 12 Trabajo De Campo - Sondeos







Figura. 13 Trabajo De Campo - Sondeos



Figura. 14 Trabajo De Campo - Sondeos





Figura. 15 Trabajo De Campo - Sondeos





Figura. 16 Trabajo De Campo - Sondeos





Figura. 17 Trabajo De Campo - Sondeos

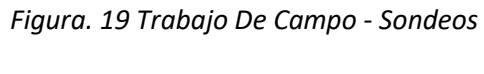




Figura. 18 Trabajo De Campo - Sondeos











5.2 Ensayos De Prospección Sísmica

Los ensayos de prospección sísmica utilizados inicialmente para la ubicación de petróleo y que en la actualidad tienen aplicaciones para la construcción de estructuras, consisten en utilizar métodos sísmicos para el estudio y exploración del subsuelo mediante las ondas producidas por distintas fuentes, trata de un medio de análisis (suelo o roca), un elemento generador de las ondas que puede ser de tipo activo por impacto (explosivos, golpe con martillo) o pasivos como ruidos ambientales, un elemento receptor y registrador de ondas, un software procesador de los datos para obtener parámetros y propiedades elásticas del medio a través de las velocidades de ondas propagadas.

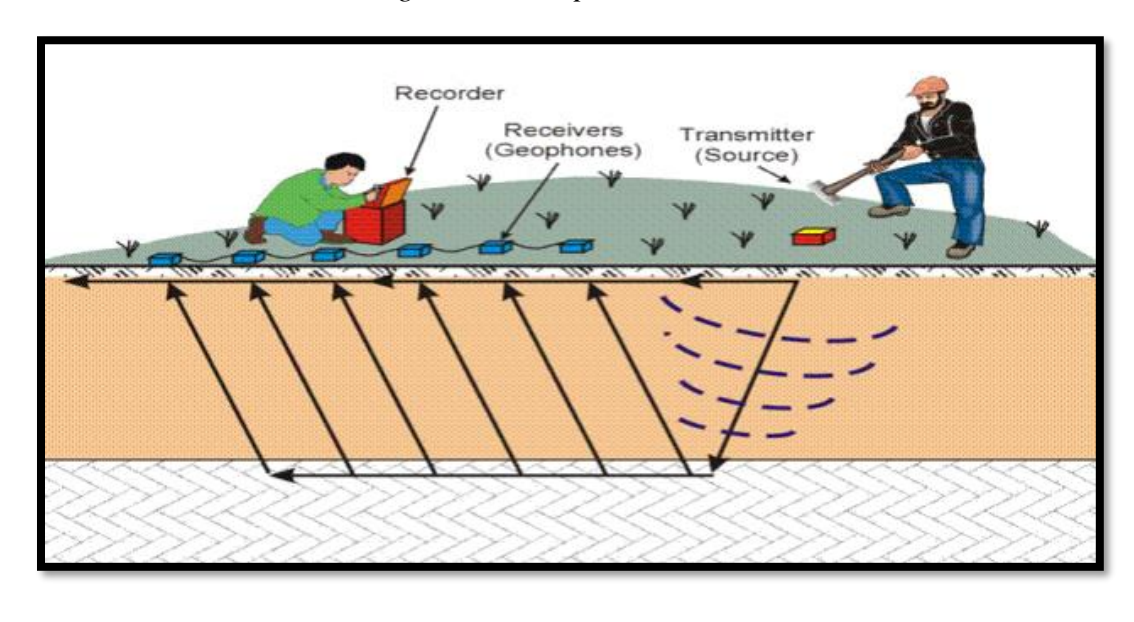


Figura. 20 Prospección Sísmica

Nota: Prospección Sísmica, por Jaime Suarez, 2013. Erosion.com.co

5.2.1 Ensayo De Refracción Sísmica Y De Ondas Superficiales

La sísmica de refracción consiste en la medición del tiempo de viaje de las ondas sísmicas de compresión (P) sobre la superficie del subsuelo, las señales se captan a través de una serie de

geófonos con separación equivalente a lo largo del tendido instalado sobre la superficie del terreno en estudio, el análisis de cada tiempo de viaje de las ondas se basa en las leyes de la propagación de ondas, permitiendo alcanzar un perfil del suelo en profundidad y distribución geométrica.

Los ensayos de análisis de ondas de superficie MASW proporciona parámetros significativos como las propiedades elásticas de los geomateriales a profundidades bajas, El método proporciona la información a través del perfil de velocidad de onda de corte (Vs) mediante el análisis de ondas de Rayleigh, usando propiedades dispersivas de las ondas superficiales para obtener las propiedades elásticas características del suelo en estudio.

Las ondas superficiales son ondas que viajan a través de la superficie del terreno que van decreciendo a medida que ganan profundidad, se distinguen por sus velocidades y frecuencias bajas, para la ejecución de ensayos de prospección sísmica las ondas pueden ser generadas por fuentes activas o pasivas, comúnmente activas para ensayos de refracción y MASW aplicados en el área de la geotecnia y concernientes para el presente estudio.

Para la ejecución del ensayo sísmico se contó con el apoyo de la empresa INGEOTECNIA S.A.S. de la ciudad de Bucaramanga, se llevaron a cabo ensayos de refracción sísmica y MAS-W en 2D para el análisis de las condiciones generales de los estratos localizados en la zona de estudio, para esto se realizaron dos (2) líneas con longitudes aproximadas de 100 metros, sobre las zonas de localización de las estructuras de mayor altura.



Figura. 21 Localización Líneas Sísmicas

Nota: Imagen tomada y modificada Google Earth

Tabla 4. Localización En Coordenadas Líneas Sísmicas

COMPONENTE	PUNTO		RDENADAS GRÁFICAS		
	Inicio de Línea	Latitud	7°51'24.60"N		
Línea Sísmica N° 1	Sísmica	Longitud	72°29'50.32"O		
14 1	Fin de Línea	Latitud	7°51'24.91"N		
	Sísmica	Longitud	72°29'53.57"O		
	Inicio de Línea	Latitud	7°51'22.95"N		
Línea Sísmica	Sísmica	Longitud	72°29'50.51"O		
N° 2	Fin de Línea	Latitud	7°51'23.30"N		
	Sísmica	Longitud	72°29'53.66"O		

5.2.2 Equipo De Refracción Sísmica Utilizado

El equipo utilizado para los ensayos de refracción sísmica y MASW es un equipo GEODE de 24 canales con las siguientes características:

- ❖ Sismógrafo GEODE-24CH, fabricado por GEOMETRICS INC.
- ❖ 24 geófonos de 14.0 Hz para refracción sísmica
- ❖ 24 geófonos de 4.5 Hz para ondas superficiales
- Un computador portátil para la programación y adquisición de datos
- Platina de acero para refracción sísmica
- Platina de acrílico para MASW
- Un martillo de 15 Lb



Figura. 22 equipo de Refracción Sísmica

Figura. 23 Ensayo de Refracción Sísmica





Nota: Trabajo de Campo – Líneas de Refracción Sísmica



Figura. 24 Ensayo de Refracción Sísmica





Nota: Trabajo de Campo – Líneas de Refracción Sísmica

ESTUDIO GEOTÉCNICO TORRES DE 30 NIVELES

5.2.3 Líneas Sísmicas

A continuación, se muestran los resultados de las líneas sísmicas realizadas en el área de estudio

41

correspondiente al proyecto en el municipio de Los Patios, Norte de Santander – Colombia.

5.2.3.1 Línea sísmica LS-1.

Datos de la configuración del tendido para la adquisición de datos sísmicos:

Longitud del tendido: 101.2 m

Espaciamiento entre geófonos: 4.4 m

Profundidad investigada: 14.0 - 20.0 m

Terreno: Semiplano con vegetación.

Se llevó a cabo el procesamiento de los datos en crudo entregados por la empresa INGEOTECNIA

de los ensayos realizados de refracción sísmica y MASW, dichos datos fueron procesados con el

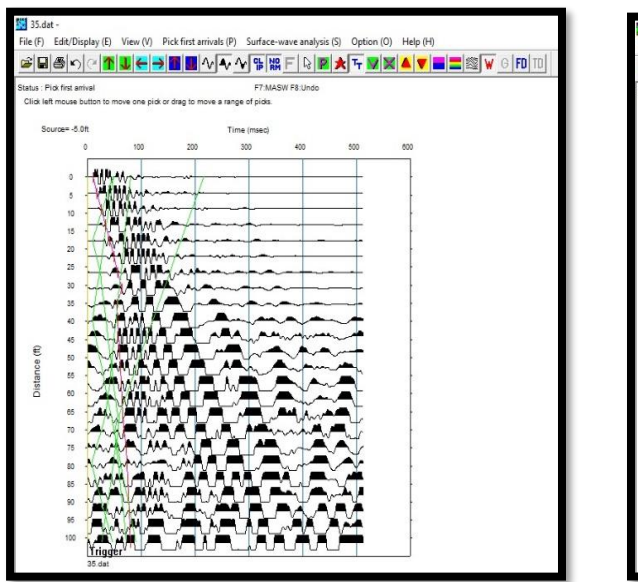
paquete de módulos SeisImager/SW y SeisImager2D versión demo de la empresa Geometrics, el

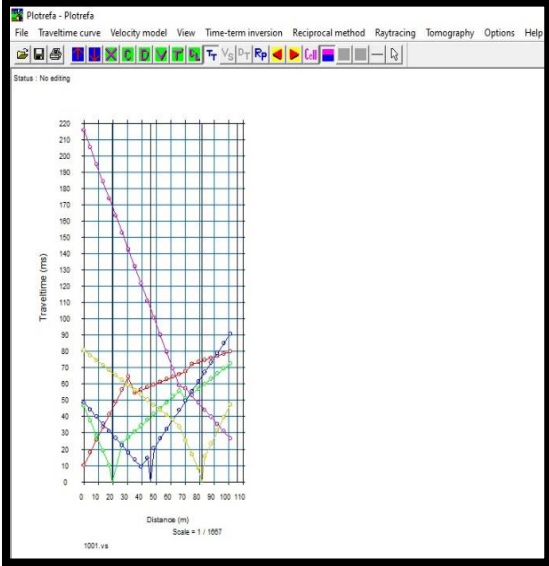
programa consta de cuatro módulos para el análisis de datos de refracción y ondas de superficie.

A continuación, se presentan los resultados obtenidos de tomografía sísmica y el ensayo

MASW/2D respectivamente de la línea No. 1:

Figura. 25 Procesamiento refracción - línea sísmica No. 1





Nota: Procesamiento de datos con software seisimager versión demo

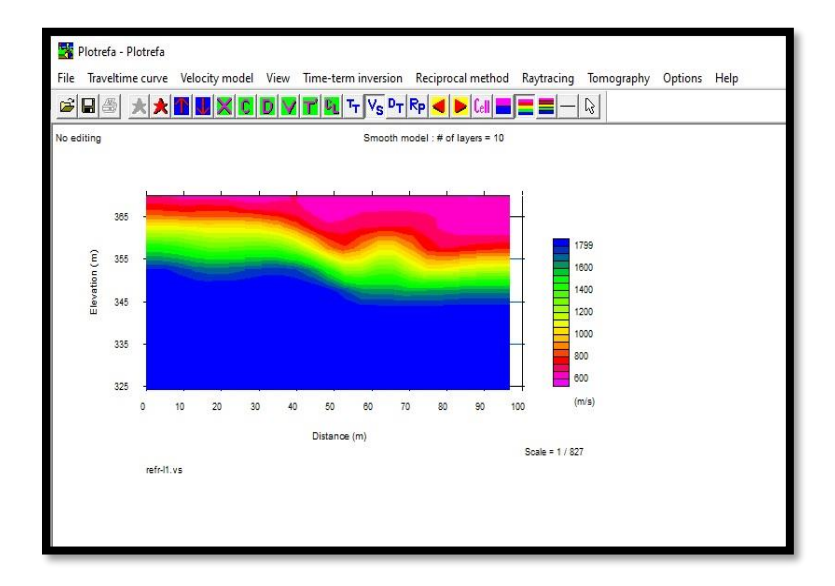


Figura. 26 Tomografía refracción - línea sísmica No. 1

Nota: Procesamiento de datos con software seisimager versión demo

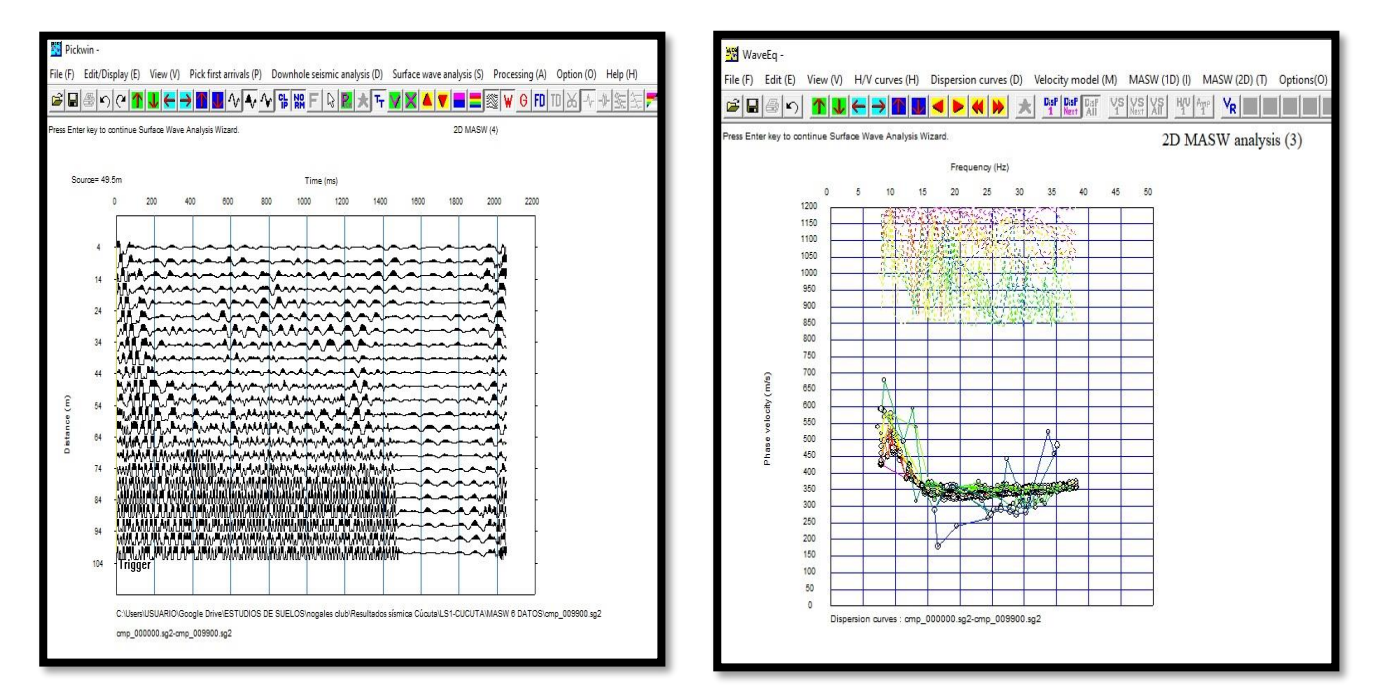


Figura. 27 Procesamiento MASW - Línea Sísmica No. 1

Nota: Procesamiento de datos con software Seisimager versión demo

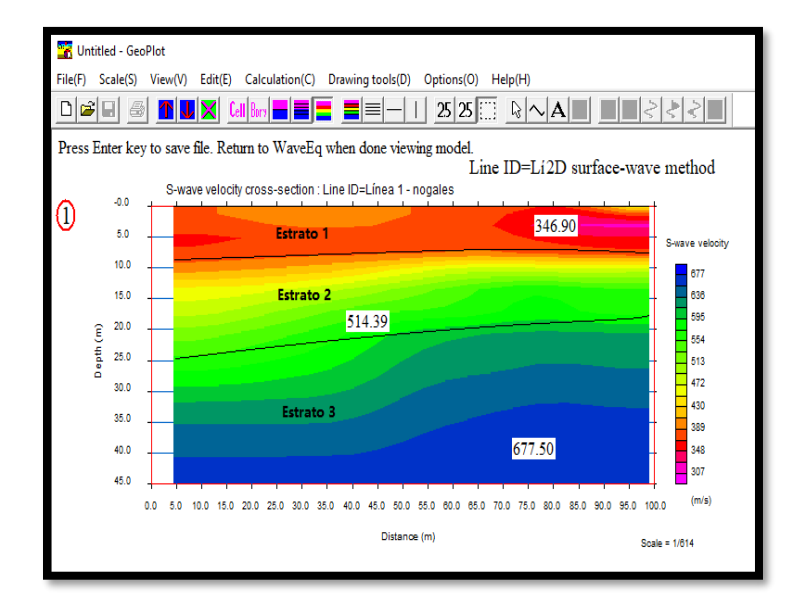


Figura. 28 Tomografía MASW - Línea Sísmica No. 1

Nota: Procesamiento de datos con software seisimager versión demo

ESTUDIO GEOTÉCNICO TORRES DE 30 NIVELES

De acuerdo con los resultados de la línea sísmica No. 1, se identifican tres estratos diferentes; el

44

estrato superior se asocia a material conformado por depósitos aluviales con cantos, bloques y

sobretamaños, con un espesor variable entre 5,00 a 7,00 metros aproximadamente, la velocidad de

onda de cortante (Vs) varían entre 300 a 340 m/s, las velocidades de ondas primarias (Vp) varían

entre 400 a 500 m/s. El estrato 2 asociado a posibles depósitos fluviales con material de rigidez alta

con espesor variable de 8,00 a 10,00 metros aproximadamente, la velocidad de onda de cortante

(Vs) varía entre 400 a 500 m/s, las velocidades de ondas primarias (Vp) varían entre 800 a 1100

m/s. Un último estrato (Estrato 3) con espesor desconocido presenta variación de velocidad de onda

de cortante entre 500 a 680 m/s y velocidades de onda (Vp) entre 1400 a 1700 m/s.

5.2.3.2 Línea Sísmica LS-2.

Datos de la configuración del tendido para la adquisición de datos sísmicos:

Longitud del tendido: 89.7 m

Espaciamiento entre geófonos: 3.9 m

Profundidad investigada: 14.0 – 20.0 m

Terreno: Semiplano con vegetación.

A continuación, se presentan los resultados obtenidos del modelo bicapa, la tomografía sísmica y

el ensayo MASW/2D respectivamente.

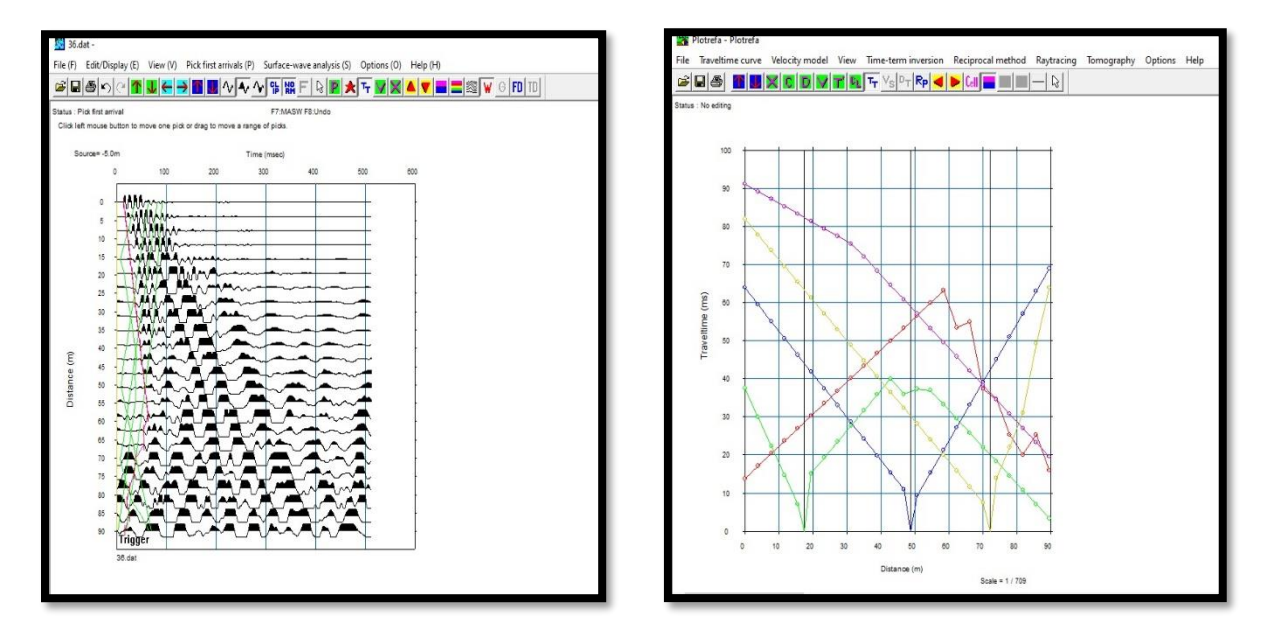


Figura. 29 Procesamiento Refracción - Línea Sísmica No. 2

Nota: Procesamiento de datos con software seisimager versión demo

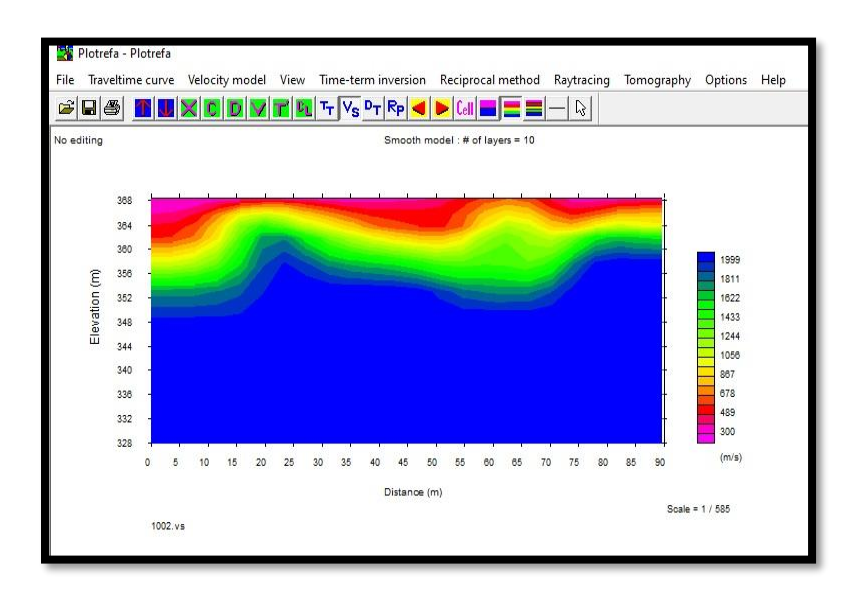


Figura. 30 Tomografía Refracción - Línea Sísmica No. 2

Nota: Procesamiento de datos con software seisimager versión demo

Ref. Distriction (in proteins fine freque transit in proteins service regions). Such as well amplified in the freque transit in proteins (in proteins of the fine freque transit in proteins (in proteins of the fine freque transit in proteins (in proteins of the fine freque transit in proteins (in proteins of the fine freque transit in proteins (in proteins of the fine freque transit in proteins (in proteins of the fine freque transit in proteins (in proteins of the fine freque transit in proteins (in proteins of the fine freque transit in proteins (in proteins of the fine freque transit in proteins (in proteins of the fine freque transit in proteins of the fine freque transit in proteins (in proteins of the fine freque transit in proteins of the fine frequency in proteins of the fine

Figura. 31 Procesamiento MASW - Línea Sísmica

Nota: Procesamiento de datos con software Seisimager versión demo

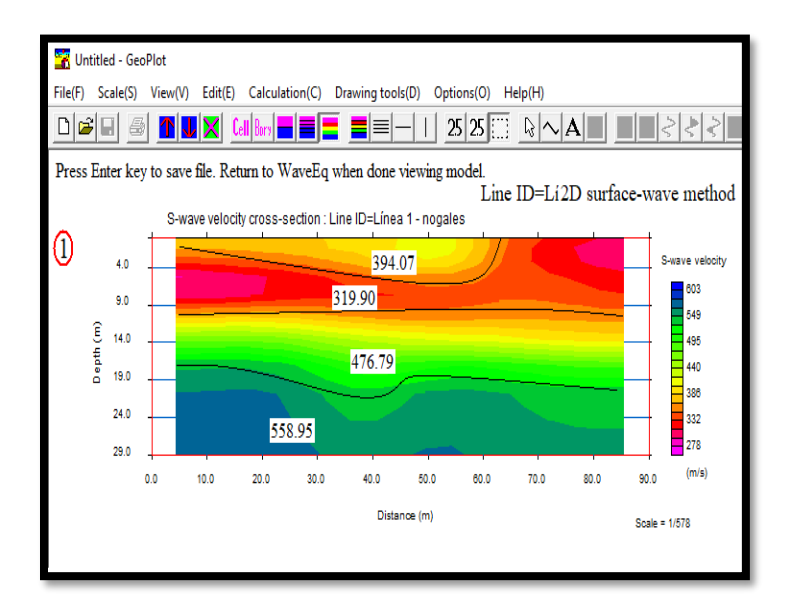


Figura. 32 Tomografía MASW - Línea Sísmica No. 2

Nota: Procesamiento de datos con software Seisimager versión demo

Para la línea sísmica No. 2, se identifican cuatro (4) zonas con variación de velocidades de ondas; la zona superior se asocia a material conformado por depósitos aluviales con cantos, bloques y sobretamaños, con un espesor variable entre 2,00 a 3,00 metros aproximadamente, la velocidad de onda de cortante (Vs) varían entre 360 a 390 m/s, las velocidades de ondas de compresión (Vp) varían entre 400 a 700 m/s. la zona 2 con espesor variable de 3,00 a 5,00 metros aproximadamente, la velocidad de onda de cortante (Vs) varía entre 280 a 320 m/s, las velocidades de ondas primarias (Vp) varían entre 600 a 800 m/s. la zona posterior, asociada a la formación león, con espesor variable entre 5,00 a 7,00 metros aproximadamente y velocidad de onda de cortante (Vs) varían entre 380 a 480 m/s, las velocidades de ondas primarias (Vp) varían entre 900 a 1200 m/s, la zona de la zona inferior con un espesor desconocido presenta variación de velocidad de onda de cortante entre 500 a 600 m/s y velocidades de onda Vp entre 1500 a 1800 m/s.

6. CONDICIONES DEL SUBSUELO

De acuerdo con los ensayos geofísicos realizados y los sondeos profundos para toma de muestras durante las campañas de campo, adoptando uno de los sondeos como un perfil característico, se logra obtener un perfil del suelo en el área de estudio resumido de la siguiente manera:

Tabla 5. Perfil Representativo Zona en Estudio

Profundidad							
(m)	N spt	Descripción					
0,50	28						
1,00	42	1					
1,50	58	Material de arena limosa color marrón claro y en algunos sectores material					
2,00	79	de relleno misceláneo de consistencia firme y humedad baja.					
2,50	RT						
3,00	RT						
3,50	RT						
4,00	RT						
4,50	RT						
5,00	RT	Material de conglomerado con sobretamaños y matriz areno-limosa de color					
5,50	RT	marrón claro, consistencia muy firme y humedad baja.					
6,00	RT	marron daro, consistencia may mine y namedad baja.					
6,50	RT						
7,00	RT						
7,50	RT						
8,00	RT						
8,50	RT						
9,00	RT						
9,50	71						
10,00	78 89						
10,50 11,00	RT	Material compuesto por arcillas normalmente consolidadas de color purpura					
11,50	RT	con algo de gravas (arcillolitas) de consistencia muy firme y humedad baja a media.					
12,00	RT	lineura.					
12,50	RT						
13,00	RT	1					
13,50	RT	1					
14,00	RT						
14,50	RT	1					
15,00	RT	1					
15,50	RT						
16,00	RT]					
16,50	RT						
17,00	RT						
17,50	RT						
18,00	RT						
18,50	RT						
19,00	RT	Material compuesto por arcillas normalmente consolidadas de color morado					
19,50	RT	y naranja con algo de gravas (arcillolitas) de consistencia muy firme y					
20,00	RT	humedad media.					
20,50 21,00	RT RT						
21,50	RT	1					
22,00	RT	1					
22,50	RT	1					
23,00	RT						
23,50	RT	1					
24,00	RT	1					
24,50	RT						
25,00	RT						
-,							

Nota. Perfil generalizado del subsuelo del sitio en estudio, realizado por autor

S - N 5-10 5-11 5-7 5-12 375 ARENAS LIMOSAS -RELLENO MISCELANEO 370 CONGLOMERADO MATRIZ SOPORTADO - ARCILLAS ARENOSAS Qal 365 E3N1L ARCILLAS NORMALMENTE CONSOLIDADAS CON ALGO DE GRAVAS 355 POSIBLE PROFUNDIDAD DEL NIVEL FREATICO 350 345 0 100, 15, 40. 65. 80 85 90. 10.

Figura. 33 Perfil General Del Suelo – Zona De Estudio

Nota: Perfil generalizado de la zona en estudio

6.1 Características Geotécnicas

Los resultados de la exploración de campo y los ensayos realizados en el laboratorio, deja entrever las siguientes características geotécnicas:

- El contenido de humedad natural en los perfiles del suelo explorado está en el rango de 10% al 25%, sin presencia de nivel freático.
- 2. En términos generales, los ensayos granulométricos realizados proyectaron en los estratos superiores con espesor entre 2,00 a 3,00 metros un material areno limoso y de relleno misceláneo, seguidamente de un estrato con espesor variable entre 3,00 a 5,00 metros de material de conglomerado con sobre tamaños de gravas, cantos y bloques con matriz areno-limosa, posteriormente se localiza un estrato de material con prevalencia de tamaños clasificados como arcillas de color purpura con algo gravas de consistencia firme y humedad baja, llevando una continuidad equivalente.
- 3. Los ensayos de límites de consistencia proyectaron que el material clasificado como arcillas y limos presentan plasticidad baja a media con un índice de plasticidad máximo del 19,50 %, (Ver Grafica 1), clasificando el material de acuerdo a la U.S.C.S., como CL, SC, GC (Arcillas de baja plasticidad Arenas limosas Gravas Arcillosas).
- 4. Los ensayos de CBR de laboratorio realizados proyectaron una capacidad de soporte CBR del suelo por el orden del 50%, siendo este una capacidad de soporte del suelo baja para el proyecto.

5. Los ensayos de límites de consistencia y los índices de plasticidad obtenidos en laboratorio permiten estimar una expansión baja (Holtz y Gibbs – INV-132), la plasticidad presentada tiende a valores bajos (IP = 11 - 19%) (LL <= 42%).

100 90 80 70 60 50 40 30 20 10 0 10 20 50 60 70 80 90 100 LIMITE LIQUIDO

Figura. 34 Carta De Plasticidad

Nota. Grafica de Plasticidad de muestras ensayadas

6. Los ensayos de campo realizados con equipo de adquisición sísmica determinaron velocidades de onda sísmica registradas en las Tabla 6 y 7.

7.

Tabla 6. Velocidades de onda – Línea sísmica No. 1

	Línea Sísmica No. 1										
Profundidad (m)	Espesor (m)	Tipo de Suelo	Longitud de Línea	Vel. Onda de Comp Vp (m/s)	Vel. Onda de Corte - Vs (m/s)	Perfil del Suelo					
2,50	2,50	Arenas limosas		400 – 500	300 – 340	D					
8,50	6,00	Gravas areno- limosas	95 metros	800 - 1100	340 – 350	D					
20,00	15,00	Arcillas		>1400	500 - 680	C					

Nota. Tabla realizada por Auto

10,00

500 - 600

1800

C

Línea Sísmica No. 2 Profundidad Vel. Vel. Estrato/Espesor Tipo de Longitud Onda de Perfil del Onda de (m) (m) Suelo de Línea Comp. -Corte -Suelo Vp (m/s) Vs (m/s) 2,50 Arenas 2,50 400 - 700360 - 390 D limosas Gravas 8,00 600 - 900 5,50 areno-280 - 320 D 95 limosas metros 13,00 Arcillas 900 -5,00 380 - 480 \mathbf{C} 1200 23,00 Arcillas 1500 -

Tabla 7. Velocidades de onda – Línea sísmica No. 2

Nota. Tabla realizada por Autor

8. Los ensayos de compresión inconfinada, registraron valores de resistencia al corte no drenado ligeramente superiores al 0,70 kg/cm². Las correlaciones existentes (Terzaghi y Peck) (Ver Tabla No. 8), entre la resistencia al corte y el N del SPT, nos permiten realizar estimaciones de densidad y consistencia sobre el suelo estudiado, registrando consistencia firme a muy firme del suelo.

Tabla 8. Correlaciones Resistencia Inconfinada – N spt (Terzaghi y Peck)

Resistencia a Compresión No Confinada (kg/cm²)	N, numero de golpes / pie	Consistencia	Densidad Saturada (ton/m³)	
0 – 0.25	0 - 2	Muy blanda	1.5 1.05	
0.25 - 0.5	2 - 5	Blanda	1.5 – 1.95	
0.5 – 1.00	5 - 10	Medio firme	1.75–2.10	
1.00 – 2.00	10 - 20	Firme	1.05 2.20	
2.00 – 4.00	20 - 30	Muy firme	1.95 – 2.30	

>4.00	> 30	Dura	> 2.10
-------	------	------	--------

Nota. Correlación de parámetros del suelo según Terzaghi – Peck

1 La Tabla N° 9, exhibe parámetros geotécnicos correlacionados con los "N del SPT" obtenidos a través de los ensayos de campo.

Tabla 9. Correlaciones N Del Spt – Modulo De Elasticidad

						Mo	dulo	Ar	lasticidad cillosos	- Suelos		Modu	lo de Elastici E	dad - Suelo (MPa)	os Granulare	S	
Prof. (m)	N	(golpes/p	ie)	N SPT	N 60			(Stro	ud 1974)		Limos		Arenas		Gra	vas y Arena	s
						ш	LP	IP	Rai E (N		Meigh y Nixon (1961)	D' Apolonia (1970)	Meigh y Nixon (1961)	Denver (1982)	Wrench y Nowatzki (1986)	Beguema nn (1974)	Bowles (1988)
0,00 - 0,50	4	6	10	16	12				28,92	44,44	60,0	34,2	96,0	24,25	20,17	21,60	13,50
0,50 - 1,00	11	10	14	24	18		г		43,38	66,65	90,0	40,6	144,0	29,70	28,91	18,40	16,50
1,00 - 1,50	13	13	20	33	25				59,65	91,65	123,8	47,7	198,0	34,82	38,36	26,50	19,88
1,50 - 2,00	30	35	44	79	59				142,79	219,40	296,3	84,3	474,0	53,88	83,27	67,90	37,13
2,00 - 2,50	19	50	50	100	75				180,75	277,73	375,0	101,0	600,0	60,62	102,66	86,80	45,00
2,50 - 3,00	RT	RT	RT	RT	RT												
3,00 - 3,50	RT	RT	RT	RT	RT												
3,50 - 4,00	RT	RT	RT	RT	RT												
4,00 - 4,50	RT	RT	RT	RT	RT												
4,50 - 5,00	RT	RT	RT	RT	RT												
5,00 - 5,50	RT	RT	RT	RT	RT												
5,50- 6,00	RT	RT	RT	RT	RT												
6,00 - 6,50	RT	RT	RT	RT	RT												
6,50 - 7,00	RT	RT	RT	RT	RT												
7,00 - 7,50	RT	RT	RT	RT	RT												
7,50 - 8,00	RT	RT	RT	RT	RT												
8,00 - 8,50	RT	RT	RT	RT	RT												
8,50 - 9,00	RT	RT	RT	RT	RT												
9,00 - 9,50	20	30	41	71	53	45	25	20	52,52	63,55	266,3	77,9	426,0	51,08	75,74	60,70	34,13
10,00 - 10,50	49	50	58	108	81	42	23	19	85,66	106,84	405,0	107,4	648,0	63,00	109,92	94,00	48,00
10,50 -11,00	48	52	58	110	83	48	30	18	93,12	119,17	412,5	109,0	660,0	63,58	111,73	95,80	48,75
11,00 - 11,50	58	55	70	125	94	39	19	20	92,47	111,89	468,8	120,9	750,0	67,78	125,16	109,30	54,38
11,50 - 12,00	RT	RT	RT	RT	RT												
12,00 - 12,50	RT	RT	RT	RT	RT												
12,50 - 13,00	RT	RT	RT	RT	RT												
13,00 - 13,50	RT	RT	RT	RT	RT												
13,50 - 14,00	RT	RT	RT	RT	RT												
14,00 - 14,50	RT	RT	RT	RT	RT												
14,50 - 15,00	RT	RT	RT	RT	RT												
15,00 - 15,50	RT	RT	RT	RT	RT												
15,50 - 16,00	RT	RT	RT	RT	RT												
16,00 - 16,50	RT	RT	RT	RT	RT												
16,50 - 17,00	RT	RT	RT	RT	RT												
17,00 - 17,50	RT	RT	RT	RT	RT												
17,50 - 18,00	RT	RT	RT	RT	RT												
18,00 - 18,50	RT	RT	RT	RT	RT												
18,50 - 19,00	RT	RT	RT	RT	RT												
19,00 - 19,50	RT	RT	RT	RT	RT												
19,50 - 20,00	RT	RT	RT	RT	RT												

Nota. Tabla realizada por autor, ecuación es diferentes autores

2 El módulo de elasticidad para los estratos analizados se establece en la Tabla No. 10 y No. 11, teniendo en cuenta los ensayos de campo y laboratorio realizados.

Tabla 10. Correlaciones velocidad de onda – módulo de elasticidad – Línea sísmica No. 1

	ı	ÍNEA SÍSMI	CA No. 1				
Prof. (m)	Tipo de Suelo	Vp (m/s)	Vs (m/s)	Densidad (Ton/m2)	G max (Mpa)	G stat (Mpa)	E (Mpa)
0,00 - 0,50 0,50 - 1,00 1,00 - 1,50 1,50 - 2,00 2,00 - 2,50	ARENAS LIMOSAS COLOR MARRÓN CLARO, CONSISTENCIA FIRME Y HUMEDAD BAJA	650	360	1,950	252,72	37,91	98,56
2,50 - 3,00 3,00 - 3,50 3,50 - 4,00 4,00 - 4,50 4,50 - 5,00 5,00 - 5,50 6,50 - 6,00 6,00 - 6,50 7,00 - 7,50 7,50 - 8,00	CONGLOMERADO CON MATRIZ ARENO LIMOSAS COLOR MARRÓN CLARO, CONSISTENCIA FIRME Y HUMEDAD BAJA	760	309	1,910	182,37	27,36	71,12
8,00 - 8,50 8,50 - 9,00 9,00 - 9,50 10,00 - 10,50 11,00 - 11,50 11,50 - 12,00 12,00 - 12,50 12,50 - 13,00 13,00 - 13,50 14,00 - 14,50 14,50 - 15,00 15,00 - 15,50 16,00 - 16,50 16,00 - 16,50 17,50 - 17,00 17,50 - 18,00 18,00 - 18,50 18,50 - 19,00 19,00 - 19,50 19,50 - 20,00	ARCILLAS DE BAJA PLASTICIDAD CON ALGO DE GRAVAS COLOR PURPURA CON VETAS NARANJAS, CONSISTENCIA FIRME A MUY FIRME Y HUMEDAD BAJA A MEDIA	1360	380	1,777	256,60	38,49	100,07

Nota. Tabla realizada por Autor

Tabla 11. Correlaciones velocidad de onda – Módulo de elasticidad – Línea sísmica No. 1

	ı	ÍNEA SÍSMI	CA No. 2				
Prof. (m)	Tipo de Suelo	Vp (m/s)	Vs (m/s)	Densidad (Ton/m2)	G max (Mpa)	G stat (Mpa)	E (Mpa)
0,00 - 0,50 0,50 - 1,00 1,00 - 1,50 1,50 - 2,00 2,00 - 2,50	ARENAS LIMOSAS COLOR MARRÓN CLARO, CONSISTENCIA FIRME Y HUMEDAD BAJA	700	360	1,950	252,72	37,91	98,56
2,50 - 3,00 3,00 - 3,50 3,50 - 4,00 4,00 - 4,50 4,50 - 5,00 5,00 - 5,50 6,50 - 6,00 6,00 - 6,50 7,00 - 7,50 7,50 - 8,00	CONGLOMERADO CON MATRIZ ARENO LIMOSAS COLOR MARRÓN CLARO, CONSISTENCIA FIRME Y HUMEDAD BAJA	670	280	1,910	149,74	22,46	58,40
8,00 - 8,50 8,50 - 9,00 9,00 - 9,50 10,00 - 10,50 11,00 - 11,50 11,50 - 12,00 12,00 - 12,50 13,50 - 13,00 13,50 - 14,00 14,00 - 14,50 15,50 - 15,50 16,50 - 17,00 17,00 - 17,50 18,00 - 18,50 18,00 - 18,50 18,50 - 19,00 19,00 - 19,50	ARCILLAS DE BAJA PLASTICIDAD CON ALGO DE GRAVAS COLOR PURPURA CON VETAS NARANJAS, CONSISTENCIA FIRME A MUY FIRME Y HUMEDAD BAJA A MEDIA	1310	400	1,777	284,32	42,65	110,88

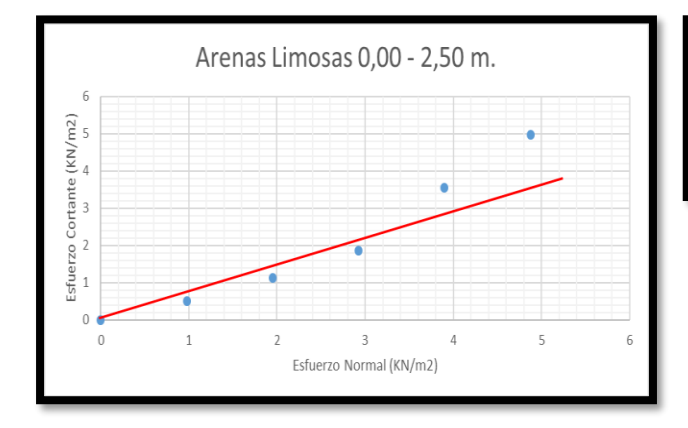
Nota. Tabla realizada por Autor

3 Con los datos obtenidos a través de los ensayos de penetración estándar (SPT) ejecutados en el estrato superficial (0,00 – 2,50 metros de profundidad) se logra una estimación de los parámetros efectivos de resistencia empleando el método de estimación del ingeniero Álvaro

González, teniendo en cuenta que los geo materiales del estrato clasifican como granulares e intermedios, La Tabla N° 12, exhibe parámetros geotécnicos correlacionados con los "N del SPT" obtenidos a través de los ensayos de campo en el estrato superior.

Tabla 12. Correlación N Spt – Parámetros De Resistencia – Estrato Superior

Profundidad (m)	Descripción del Material	N	(golpes/p	ie)	N (spt)	N45	Y (Ton/m³)	G v (Ton/m²)	σ^{\prime}_{ν} (Ton/m²)	Rs	K	Cn (Skempton)	Ncorr	φ'eq	T (Ton/m²)
0,00 - 0,50		4	6	10	16	12	1.95	0.98	0.98	0.096	1.41	1.824	22	31.54	0.60
0,50 - 1,00		11	10	14	24	18	1.95	1.95	1.95	0.192	1.41	1.677	30	34.43	1.34
1,00 - 1,50	Limos arenosos color marrón claro, consistencia	13	13	20	33	25	1.95	2.93	2.93	0.289	1.41	1.552	38	36.91	2.20
1,50 - 2,00	firme y humedad baja	30	35	44	79	59	1.95	3.90	3.90	0.385	1.41	1.444	86	47.70	4.29
2,00 - 2,50		19	50	50	100	75	1.95	4.88	4.88	0.481	1.41	1.350	101	50.58	5.93



Angulo de Fricción (°)	35,00
Cohesión (Ton/m2)	0,00

Nota. Cálculo de Parámetros efectivos según correlación con el N del spt, Ingeniero Álvaro González, 1999.

4 Los ensayos de corte directo y las correlaciones de los estratos granulares con el SPT proyectaron los parámetros de resistencia registrados en la Tabla No. 13.

Tabla 13. Parámetros De Resistencia – Ensayo De Corte Directo

Sondeo No.	Prof. (m)	Tipo de Suelo	Cohesión (Kg/cm²)	Angulo de Fricción (φ)
1	2.50	Arenas limosas	0,05	32,05
2	6.50	Gravas Areno- limosas	0,30	37,88
3	12.00	Arcilla	0,50	18,79
4	18.00	Arcilla	0,90	24,23

Nota. Tabla realizada por Autor

5 Como parámetros de diseño se pueden considerar los siguientes valores, expuestos en la Tabla N° 14, los cuales son tomados de los ensayos de laboratorio y las correlaciones antes expuestas con los ensayos de refracción sísmica.

Tabla 14. Parámetros Geotécnicos Para Diseño - Modelo

		Profun	didad (m)	
Parámetros	0.00 - 2.50	2.50 - 7.50	7.50 – 13.00	13.00 - 25.00
Velocidad de Onda de Cortante Vs (m/s)	350	280	380	450
Peso Unitario γ (KN/m³)	18,50	19,00	19,60	19,80
Relación de Poisson µ	0,35	0,33	0,33	0,33
Angulo de Fricción (°)	32	30	18	18
Cohesión C (KN/m²)	5,00	30,00	50,00	90,00
Módulo de Elasticidad E (MPa)	55,00	50,00	60,00	70,00
Esfuerzo de Pre-consolidación σ'c (KPa)	1	-	62,00	90,00

Nota. Tabla realizada por Autor

7. REQUERIMIENTOS SÍSMICOS

La Norma Sismo Resistente Colombiana del 2010 (NSR-10) es la encargada de normalizar las condiciones para la construcción de edificaciones para lograr una respuesta favorable de las estructuras ante un evento sísmico o similar.

7.1 Amenaza Sísmica

Según la Norma Sismo resistente del 2010, el mapa de riesgo o amenaza sísmica de nuestro país se encuentra definido por tres zonas: Alta, Intermedia y Baja (Ver FIGURA 34-19), la mayor parte del departamento de Norte de Santander se localiza dentro de una zona de riesgo sísmico Alto dentro de la cual se encuentra su capital San José de Cúcuta y su área metropolitana.

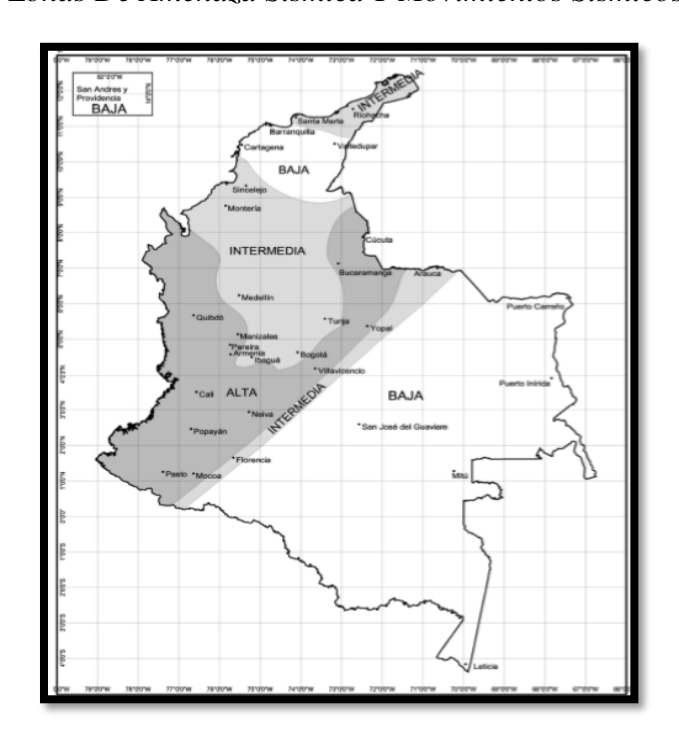


Figura. 35 Zonas De Amenaza Sísmica Y Movimientos Sísmicos De Diseño

Nota: Titulo A Norma Sísmico Resistente Colombiana NSR-10, 2010, Pg. A-17

7.2 Coeficientes Aa y Av

Según La Norma Sismo Resistente Colombiana NSR-10, los valores de los coeficientes de aceleración horizontal pico efectiva (Aa) y velocidad horizontal pico efectiva (Av), para el Municipio de Los Patios, Norte de Santander, se exponen en la siguiente tabla:

Tabla 15. Valores de Av, Aa, Ae Y Ad Municipios De Colombia

Departamento del Norte de Santander						
Municipio	Código Municipio	Aa	$\mathbf{A}_{\mathbf{v}}$	Zona de Amenaza Sísmica	Ae	A_d
Cúcuta	54001	0.35	0.25	Alta	0.25	0.10
Abrego	54003	0.30	0.20	Alta	0.07	0.04
Arboledas	54051	0.30	0.25	Alta	0.08	0.04
Bochalema	54099	0.35	0.25	Alta	0.13	0.06
Bucarasica	54109	0.30	0.25	Alta	0.09	0.04
Cáchira	54128	0.25	0.25	Alta	0.07	0.04
Cácota	54125	0.30	0.25	Alta	0.10	0.05
Chinácota	54172	0.35	0.30	Alta	0.16	0.07
Chitagá	54174	0.30	0.30	Alta	0.11	0.05
Convención	54206	0.20	0.15	Intermedia	0.04	0.02
Cucutilla	54223	0.30	0.25	Alta	0.08	0.04
Durania	54239	0.35	0.25	Alta	0.14	0.06
El Carmen	54245	0.15	0.10	Intermedia	0.04	0.02
El Tarra	54250	0.20	0.15	Intermedia	0.05	0.03
El Zulia	54261	0.35	0.25	Alta	0.22	0.09
Gramalote	54313	0.30	0.25	Alta	0.11	0.05
Hacarí	54344	0.25	0.20	Alta	0.06	0.03
Herrán	54347	0.35	0.30	Alta	0.19	0.08
La Esperanza	54385	0.20	0.20	Intermedia	0.05	0.03
La Playa	54398	0.20	0.15	Intermedia	0.06	0.03
Labateca	54377	0.35	0.30	Alta	0.14	0.06
Los Patios	54405	0.35	0.30	Alta	0.22	0.09
Lourdes	54418	0.30	0.25	Alta	0.11	0.05
Mutiscua	54480	0.30	0.25	Alta	0.08	0.04
Ocaña	54498	0.20	0.15	Intermedia	0.08	0.03
Pamplona	54518	0.30	0.25	Alta	0.10	0.05
Pamplonita	54520	0.35	0.25	Alta	0.13	0.06
Puerto Santander	54553	0.35	0.25	Alta	0.09	0.04
Ragonvalia	54599	0.35	0.30	Alta	0.20	0.09
Salazar	54660	0.30	0.25	Alta	0.09	0.04
San Calixto	54670	0.20	0.15	Intermedia	0.05	0.03
San Cavetano	54673	0.35	0.30	Alta	0.19	0.08
Santiago	54680	0.30	0.25	Alta	0.14	0.06
Sardinata	54720	0.30	0.25	Alta	0.15	0.06
Silos	54743	0.25	0.25	Alta	0.07	0.03
Teorama	54800	0.20	0.15	Intermedia	0.04	0.02
Tibú	54810	0.20	0.20	Intermedia	0.11	0.04
Toledo	54820	0.35	0.30	Alta	0.24	0.10
Villa Caro	54871	0.30	0.25	Alta	0.07	0.04

Nota: Estudio general de Amenaza Sísmica de Colombia, 2009, Pg. 103

Tabla 16. Valores Aa Y Av – Municipio De Los Patios

ACELERACIÓN Y VELOCIDAD HORIZONTAL PICO					
EFECTIVA					
Municipio	Municipio Aa Av Amenaza Sísmica				
Los Patios 0.35 0.30 Alta					

Nota. Título A Norma Sísmico Resistente Colombiana NSR-10, 2010

7.3 Perfil del Suelo

Los criterios establecidos por la NSR-10, para definir el perfil del suelo se basan en los parámetros del subsuelo analizado los cuales deben ser soportados por el ingeniero geotecnista a través del estudio realizado, dichos criterios se consignan en la Tabla N° 17.

Tabla 17. Clasificación De Los Perfiles De Suelo

Tipo de Perfil	Descripción	Definición
Α	Perfil de Roca Competente	v ≥ 1500 m/s
В	Perfil de Roca de Rigidez Media	1500 m/s > \overline{v} ≥ 760 m/s
•	Perfiles de suelos muy densos o roca blanda, que cumplan con el criterio de velocidad de la onda de cortante	760 m/s > \overline{v} ≥ 360 m/s
С	Perfiles de suelos muy densos o roca blanda, que cumplan con cualquiera de los dos criterios	N ≥ 50 ó \$\overline{s}\$u ≥ 100 kPa (≈1Kgf/cm2)
D	perfiles de suelos riogidos que cumplan con el criterio de velocidad de onda de cortante	360 m/s > \overline{v} ≥ 180 m/s
D	Perfiles de suelos rígidos que cumplan cualquiera de las dos condiciones	50 > N ≥ 15 100 kPa (≈1Kgf/cm2) > \$\overline{s}\$u ≥ 50 Kpa (≈1Kgf/cm2)
-	Perfil que cumpla el criterio de velocidad de onda de cortante	180 m/s > ¯
E	Perfil que contiene un espesor total H mayor a 3 metros de arcillas blandas	IP > 20 - W=40% 50 kPa (≈ 0,50 Kgf/cm²)
Ę	Los perfiles de suelo tipo F requieren una evaluación realizada geotecnista de acuerdo con el procedimiento A.2.10. Se conte susceptibles a la falla o colapso causado por la excitación sís sensitivas, suelos dispersivos o débilmente cementados, etc. F: (H>3m para turba o arcillas orgánicas y muy orgánicas) F3 – Ar Índice de Plasticidad IP>75) F4 – Perfiles de gran espesor de arcil	mplan las siguientes subclases: F1 – Suelt smica, tales como: suelos licuables, arcilla 2 – Turba y arcillas orgánicas y muy orgánic cillas de muy alta plasticidad (H > 7.5 m co

Nota: Titulo A Norma Sísmico Resistente Colombiana NSR-10, 2010, Pg. A-22

Según los resultados del estudio, teniendo en cuenta la profundidad, tipo de suelo de apoyo, para el análisis del diseño estructural se deben tener en cuenta los parámetros expuestos en la Tabla N°18.

Tabla 18. Requerimientos Sísmicos

Perfil del suelo		C
Grupo de Uso	-	II
Coeficiente de importancia	I	1.10
Coeficiente de aceleración horizontal pico	Aa	0.35
efectiva		
Coeficiente de velocidad horizontal pico	Av	0.30
efectiva		
Coeficiente de amplificación periodos cortos	Fa	1.05
Coeficiente de amplificación periodos	Fv	1.50
intermedios		

Nota. Clasificación del Perfil del Suelo según NSR-10, 2010

7.4 Cálculo De Periodos

Tabla 19. Periodos Fundamentales

CÁLCULO DE PERIODOS				
Fórmula	Parámetro	Valor	Condición de Uso	
$T_0 = 0.1 \frac{A_V F_V}{A_a F_a}$	То	0,122	-	
$T_{\rm C} = 0.48 \frac{A_{\rm v} F_{\rm v}}{A_{\rm a} F_{\rm a}}$	Тс	0,588		
$T_{\rm L} = 2.4 F_{\rm v}$	TL	3,600	-	
$S_a = 2.5 A_a F_a I$	Sa	1,011	Ta < Tc	
$S_a = \frac{1.2 A_v F_v I}{T}$	Sa	0,594 T	Tc < Ta < TL	
$S_{\mathbf{a}} = \frac{1.2 A_{\mathbf{v}} F_{\mathbf{v}} T_{\mathbf{L}} I}{T^2}$	Sa	2,138 T²	Ta>TL	

Nota. Cálculo de periodos fundamentales según NSR-10, 2010.

El valor del periodo fundamental de la edificación (T), puede ser igual al periodo fundamental aproximado, (Ta), el cual se puede calcular mediante la ecuación:

$$Ta = Ct * h^{\alpha}$$

Donde Ct y α tienen los valores dados en la Tabla No. 20.

Tabla 20. Valores De Los Parámetros Ct Y α

Sistema estructural de resistencia sísmica	$\mathbf{C_t}$	α
Pórticos resistentes a momentos de concreto reforzado que resisten la totalidad de las fuerzas sísmicas y que no están limitados o adheridos a componentes más rígidos, estructurales o no estructurales, que limiten los desplazamientos horizontales al verse sometidos a las fuerzas sísmicas.	0.047	0.9
Pórticos resistentes a momentos de acero estructural que resisten la totalidad de las fuerzas sísmicas y que no están limitados o adheridos a componentes más rígidos, estructurales o no estructurales, que limiten los desplazamientos horizontales al verse sometidos a las fuerzas sísmicas.	0.072	0.8
Pórticos arriostrados de acero estructural con diagonales excéntricas restringidas a pandeo.	0.073	0.75
Todos los otros sistemas estructurales basados en muros de rigidez	0.049	0.75
Alternativamente, para estructuras que tengan muros estructurales de concreto reforzado o mampostería estructural, pueden emplearse	0.0062	
los siguientes parámetros \mathbf{C}_t y α , donde \mathbf{C}_w se calcula utilizando la ecuación A.4.2-4.	$\sqrt{C_{W}}$	1.00

Nota: Titulo A, Norma Sísmico Resistente Colombiana NSR-10, 2010, Pg. A-64

Ct: Coeficiente para cálculo del periodo fundamental de la edificación. Ct= 0,049.

h: Altura en metros, medida desde la base al nivel más alto de la edificación. h = 90,00 m.

 α : Exponente para calcular el periodo fundamental aproximado. $\alpha = 0.75$

$$Ta = 0.049 * 90^{0.75} = 1.43$$

7.5 Espectro De Diseño

Para el análisis de la acción sísmica se recomienda utilizar el espectro elástico de diseño de la Norma NSR-10, definido mediante los siguientes parámetros.

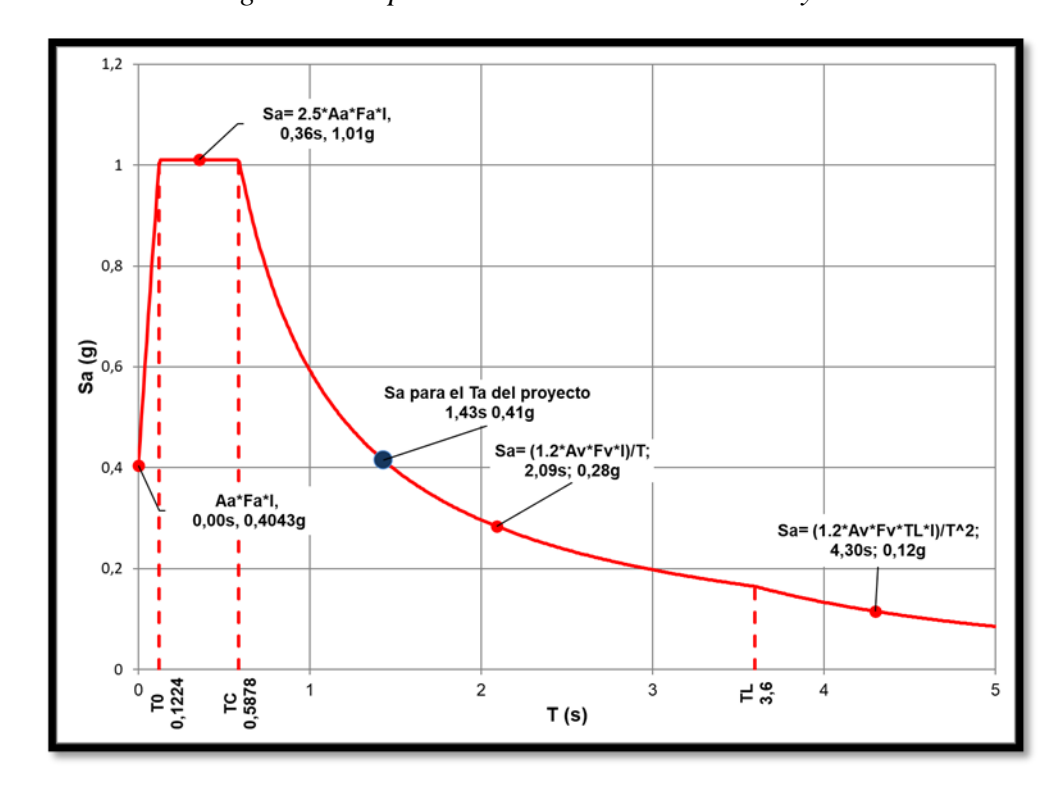


Figura. 36 Espectro De Diseño - Sitio De Proyecto

Nota. Espectro de Diseño, Hoja de cálculo programada por el Ing. Julián Contreras C.

8. ANÁLISIS DE CIMENTACIÓN

Teniendo en cuenta los parámetros geotécnicos determinados en el capítulo 7 y las cargas de las estructuras planteadas en el proyecto, se realiza el cálculo de la capacidad portante del suelo, teniendo en cuenta una cimentación superficial tipo losa en concreto reforzado y cimentación profunda con pilotes, basado en su comportamiento y en la viabilidad técnica y económica para la construcción de la cimentación.

8.1 Estimación De Cimentación Profunda

Las cargas estimadas de las estructuras en proyecto permiten suponer que lo más apropiado es evaluar una cimentación profunda que permita transmitir las cargas a estratos competentes localizados a gran profundidad, considerando los parámetros geotécnicos determinados en el presente documento, se lleva a cabo un cálculo inicial de cimentación profunda por medio de pilotes en el cual se definirá la cantidad necesaria de los mismos según las cargas estimadas, considerando la viabilidad técnica y económica para su construcción.

8.2 Cálculo De Pilotes

Para el cálculo de cimentación con pilotes se efectúa inicialmente un pre-dimensionamiento individual para llevar a cabo el cálculo del grupo de pilotes necesario en cada una de las torres proyectadas considerando los parámetros geotécnicos determinados en los estratos identificados sobre el área de estudio. La Tabla No. 21, se registran los datos de geometría y propiedades del pilote individual.

Tabla 21. Datos De Geometría Y Propiedades Pilote

GEOMETRÍA Y PROPIEDADES DEL PILOTE			
Tipo de Pilote	Pre-excavado	-	
Sección de Pilote	Circular	m	
Diametro/Lado	2,00	m	
Longitud	20,00	m	
Perímetro	6,28	m	
Área Sección	3,14	m²	
Material	Concreto	-	
f'c	35,00	КРа	
Densidad del Material	23,50	KN/m³	
Volumen del Pilote	62,83	m³	
Masa del Pilote	1476,55	KN	
Módulo de Elasticidad	28397,18	МРа	
Inercia Pilote	0,785	m4	

Nota. Tabla realizada por Autor

En el momento no se cuenta con un pre-dimensionamiento de las cargas de las estructuras proyectadas, por esto se realiza una estimación de las mismas asumiendo un valor en peso de 1,25 toneladas por metro cuadrado, en la Tabla No. 23, se consignan los datos asumidos de las estructuras de 30 niveles.

Tabla 22. Datos De Estructuras De 30 Niveles

DATOS - ESTRUCTURA			
Tipo de Estructura	Edificación	-	
N° de Niveles	30	-	
Area de Estruc.	1125,00	m²	
Carga x m ²	12,50	KN/m²	
Carga Estimada Estructura	421875	KN	

Nota. Tabla realizada por Autor

Para la estimación de la capacidad de carga última del pilote individual se obtiene por medio de la ecuación:

$$Qu = Qp + Qs (Ecuación 9.1)$$

Donde,

Qp = capacidad de soporte de carga de la punta

Qs = resistencia por fuste

Par el cálculo de la capacidad de soporte por punta en suelos granulares y finos se aplicaron las ecuaciones de Meyerhof,

Granulares
$$Qp = Ap \ q \ Qp = A_p qp = A_p q' N_q^*$$
 (Ecuación 9.2)

Finos
$$Qp = N_c^* CuAp = 9CuAp$$
 (Ecuación 9.3)

Donde,

Ap = Área de la sección transversal del pilote

Nq, Nc = Factores de capacidad de carga

Cu = Cohesión no drenada

q' = esfuerzo vertical efectivo

Para la estimación de la capacidad de carga por fuste en finos se empleó los métodos β , α , y λ , para suelos granulares el método de Coyle y Castello (1981), descritos en el libro de Braja Das.

Qs – Ecuación de Coyle y Castello (1981) – Suelos Granulares

$$Qs = K\sigma_o \tan(0.8\varphi') pL$$
 (Ecuación 9.4)

Donde,

K = Coeficiente efectivo de presión de tierra

φ' = Angulo de fricción interna

 $\overline{\sigma}$ ' = Presión de sobre carga efectiva promedio

Qs – Ecuación Método λ – Suelos Finos

$$f \text{ prom} = \lambda(\sigma_o + 2Cu)$$

(Ecuación 9.5)

$$Qs = pLf_{prom}$$

(Ecuación 9.6)

Donde,

 λ = coeficiente empírico

Qs – Ecuación Método β – Suelos Finos

$$f = \beta \sigma'_{o}$$

(Ecuación 9.7)

$$\beta = K \tan \phi'_R$$

φ'_R = Angulo de fricción drenado de la arcilla remoldeada

$$Qs = \sum fp \triangle L$$

(Ecuación 9.8)

Qs – Ecuación Método α – Suelos Finos

$$f = \propto Cu$$

(Ecuación 9.9)

$$\propto = C \frac{\sigma_0}{Cu}^{0.45}$$

Ecuación 9.10

$$Qs = \sum fp \triangle L = \sum \alpha Cu p \triangle L$$

(Ecuación 9.11)

Teniendo en cuenta las ecuaciones anteriores y un pre-dimensionamiento del pilote individual se presenta el cálculo de la capacidad de carga última y admisible en condición individual y la cantidad de pilotes necesarios en condición de grupo.

Tabla 23. Capacidad De Carga Individual De Pilote

CAPACIDAD DE CARGA - PILOTE INDIVIDUAL				
Punta				
Método	q ult (KN/m²)	FS	q adm (KN/m²)	
Meyerhof - finos	1431,39	3,00	477,13	
Fuste				
Método	q ult (KN/m²)	FS	q adm (KN/m²)	
Método λ - finos	5649,54		3766,36	
Método β - finos	3610,55	1.50	2407,03	
Método α - finos	4767,38	1,50	3178,26	
(Coyle y Castello - 1981) - Granulares	1389,48		926,32	

Capacidad Admisible Individual			
Carga Punta	1431,39	KN	
Carga Fricción	4043,53	KN	
Capacidad Ultima (Qu)	5474,92	KN	
Factor de Seguridad - Punta	3,00	-	
Factor de Seguridad - Fricción	1,50	-	
Capacidad Admisible (Qad)	3172,82	KN	

Nota. Tabla realizada por Autor

El cálculo permite estimar que las cantidades necesarias de pilotes a diferentes longitudes y diámetros con el fin de verificar la viabilidad de la cimentación profunda.

Tabla 24. Cantidad De Pilotes Por Torre

CANTIDAD DE PILOTES - GRUPO				
Longitud	Diametro Pilote (m)			
(m)	1,00 1,50 2,00			
15,00	410	253	177	
20,00	280	177	127	
25,00	210	135	97	
30,00	150	95	65	

Nota. Tabla realizada por Autor

Teniendo en cuenta que el proyecto contempla la construcción de cuatro (4) torres de 30 niveles cada una y que la cantidad de pilotes calculada para cada una de las torres es muy alta, se determina que el proceso constructivo de la cimentación con pilotes sería muy complejo lo cual es inviable económicamente este tipo de cimentación.

8.3 Capacidad De Carga Losa De Cimentación – Torres De Apartamentos Y Niveles De Parqueaderos Propietarios

Descartando la cimentación profunda con pilotes, se proyecta la evaluación de una cimentación de tipo superficial en losa de concreto reforzado, inicialmente se calcula la capacidad de carga ultima bajo el criterio de rotura usando las ecuaciones de cimentaciones superficiales, considerando los datos estimados del suelo en análisis y los datos de las estructuras.

$$q_u = c'NcFcsFcdFci + qNqFqsFqdFqi + 0.5\gamma BF\gamma sF\gamma dF\gamma i$$
 (Ecuación 9.12)

Tabla 25. Datos De Las Estructuras

DATOS - TORRES 30 PISOS			
Tipo de Estructura	Edificación	-	
N° de Niveles	30	-	
Area de Estructura	1250	m²	
Carga Estimada x m ²	12,50	KN/m²	
Carga Estimada Estructura	468750	KN	
Profundidad de Excavación	10,00	m	
Sotanos	0	-	

DATOS - PARQUEADEROS PROPIETARIOS				
Tipo de Estructura	Parqueaderos	-		
N° de Niveles	7	-		
Area de Estructura	4000	m²		
Carga Estimada x m ²	12,50	KN/m²		
Carga Estimada Estructura	350000	KN		
Profundidad de Excavación	10,00	m		
Sotanos	2	-		

DATOS - PARQUEADEROS VISITANTES				
Tipo de Estructura	Parqueaderos -			
N° de Niveles	3	-		
Area de Estructura	1200	m²		
Carga Estimada x m ²	12,50	KN/m²		
Carga Estimada Estructura	45000	KN		
Profundidad de Excavación	3,00	m		
Sotanos	0	-		

Nota. Tabla realizada por Autor

DATOS CIMENTACIÓN Prof. (m) 10,00 Elemento Losa CAPACIDAD ADMISIBLE - LOSAS DE CIMENTACIÓN Q ult Q adm Referencia (KN/m²)(KN/m²)Meyerhof (1963) 861,49 287,16 Vesic (1975) 879,52 293,17 Terzaghi (1955) 874,54 291,51 Meyerhof - Hanna 879,56 293,19

PROMEDIO

Tabla 26. Capacidad Admisible Del Suelo - Losas

DATOS CIMENTACIÓN				
Elemento Viga	Prof. (m)	3,00		
CAPACIDAD ADMISIBLE - VIGAS (PARQ. VISITANTES)				
Referencia	Oult (KN/m2)	Q adm (KN/m2)		
Hansen (1970)	1036			
Hansen (1970)	1036	345,33		
Vesic (1975)	1108	369,33		
Terzaghi (1955)	1261	420,33		
Brinch - Hansen	1302	434,00		
PROMEDIO		392,25		

Nota. Tabla realizada por Autor

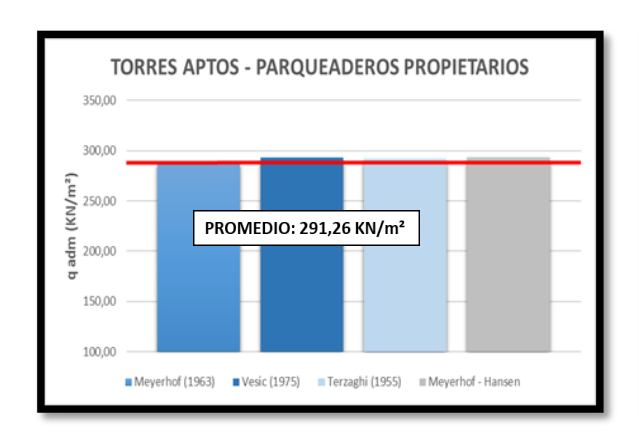
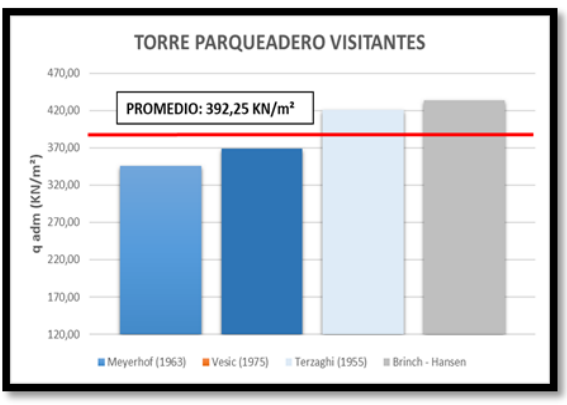


Tabla 27. Capacidad Admisible Losas

291,26



Nota. Capacidad Admisibles, Figura realizada por Autor

8.4 Análisis De Asentamientos – Capacidad Admisible Con Elemento Finitos

Para la estimación de los asentamientos por las cargas aplicadas al suelo a través de las estructuras proyectadas, se lleva a cabo el análisis por medio de elementos finitos usando el software PLAXIS 3D FOUNDATION, presentando inicialmente un modelo de losa de cimentación individual sin estructuras adyacentes, de la misma manera se proyecta el cálculo de la capacidad admisible del suelo relacionada con los asentamientos permitidos para el tipo de estructura, teniendo en cuenta

que los cálculos de la capacidad admisible calculados anteriormente bajo el criterio de rotura no relacionan módulos de deformación.

Tabla 28. Parámetros De Losas De Cimentación Para Modelo

PARÁMETRO	LOSA TORRE APTOS	LOSA - PARQUEADEROS
Densidad Concreto (KN/m³)	24,00	24,00
Espesor (m)	2,00	1,00
Área (m²)	1250	4000
Resistencia a la Compresión del Concreto	35,00	35,00
(MPa)		
Módulo de Elasticidad (MPa)	23072	23072

Nota. Tabla realizada por Autor

Figura. 37 Modelo 3d – Losa De Cimentación

Nota. Figura Modelo Losa de Cimentación Software Plaxis 3D foundation, realizada por Autor

Para el análisis del modelo en PLAXIS 3D FOUNDATION, se tuvieron en cuenta las características físico-mecánicas determinadas en el capítulo 7 y los datos de las estructuras y cimentación establecidos en la Tabla No. 25. Se manejaron tres fases en la modelación, la Fase 1: donde se determinan los estados de esfuerzos iniciales del modelo, la Fase 2: modela la construcción de la losa de cimentación y la fase 3: donde se establecen las cargas de la estructura para el análisis del comportamiento suelo-estructura. Para estos modelos evaluados no se tiene en cuenta las excavaciones necesarias para el emplazamiento de la cimentación la cuales serán evaluadas más adelante bajo el análisis de estabilidad.

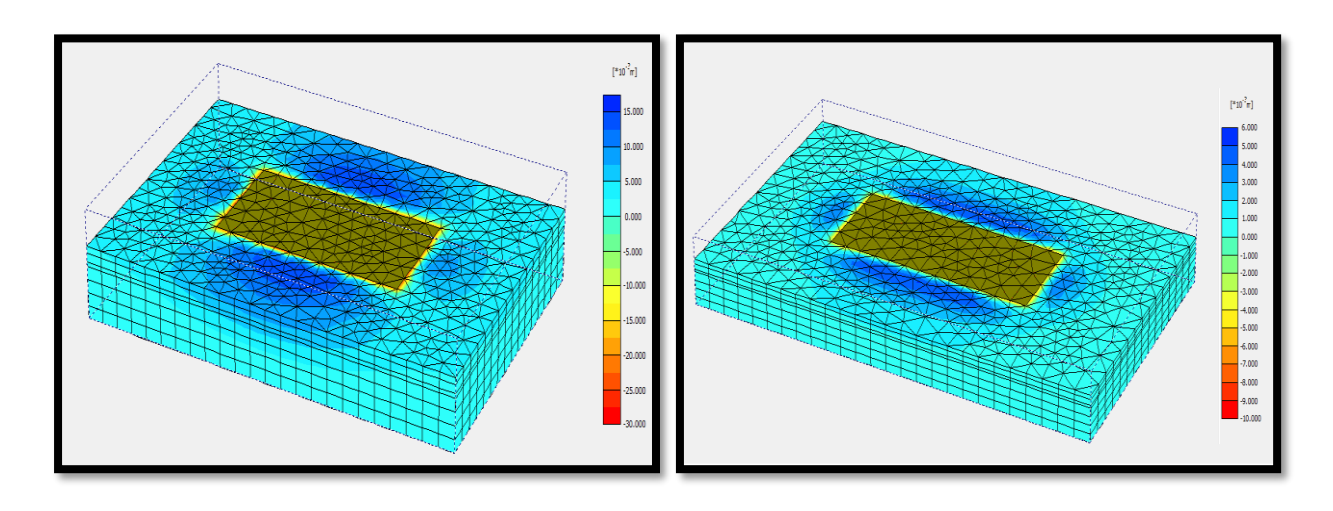


Figura. 38 Modelo 3D – Losa De Cimentación

Nota. Figura Modelo Losa de Cimentación Software Plaxis 3D foundation, realizada por Autor

Figura. 39 Modelo 3D – Losa De Cimentación

Nota. Figura Modelo Losa de Cimentación Software Plaxis 3D foundation, realizada por Autor

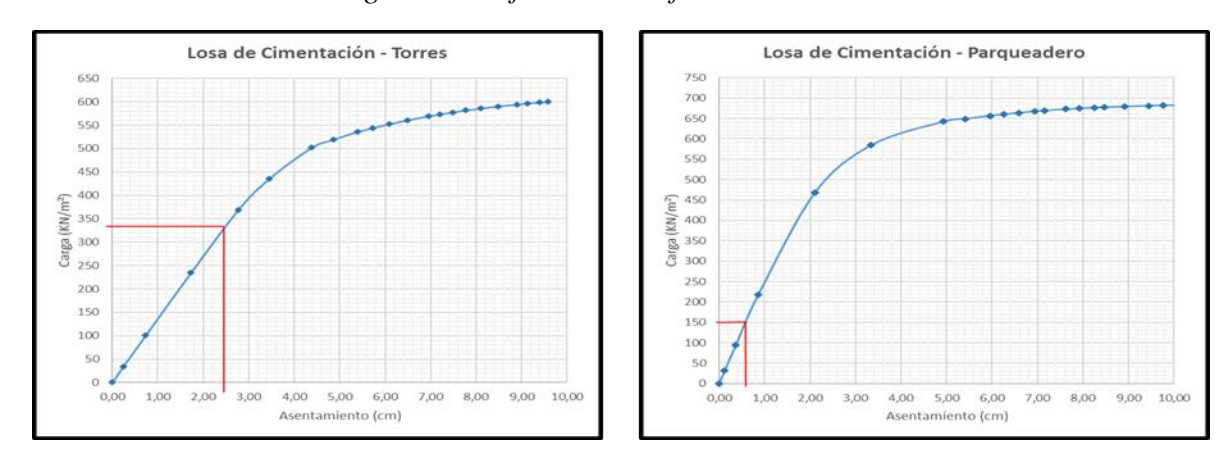


Figura. 40 Esfuerzo vs Deformación - Losas

Nota. Comportamiento Esfuerzo – Deformación, Losas de Cimentación, realizada por Autor

8.5 Módulos De Reacción Del Suelo

Se evalúan los asentamientos diferenciales a través de las losas de cimentación con el fin de establecer diferentes zonas donde los esfuerzos pueden ser mayores y menores definiendo los módulos de reacción del suelo ante la cimentación y sus cargas.

Figura. 41 Modelo 3D – Losa

Nota. Comportamiento Esfuerzos, Losas de Cimentación, Software Plaxis 3D Foundation, realizada por Autor

A través de las figuras anteriores se observan que los mayores esfuerzos en la losa de las torres se concentran hacia el centro de la losa, contrario a la losa de la torre de parqueaderos de propietarios en la cual los mayores esfuerzos se concentran en los extremos y los menores en el centro.

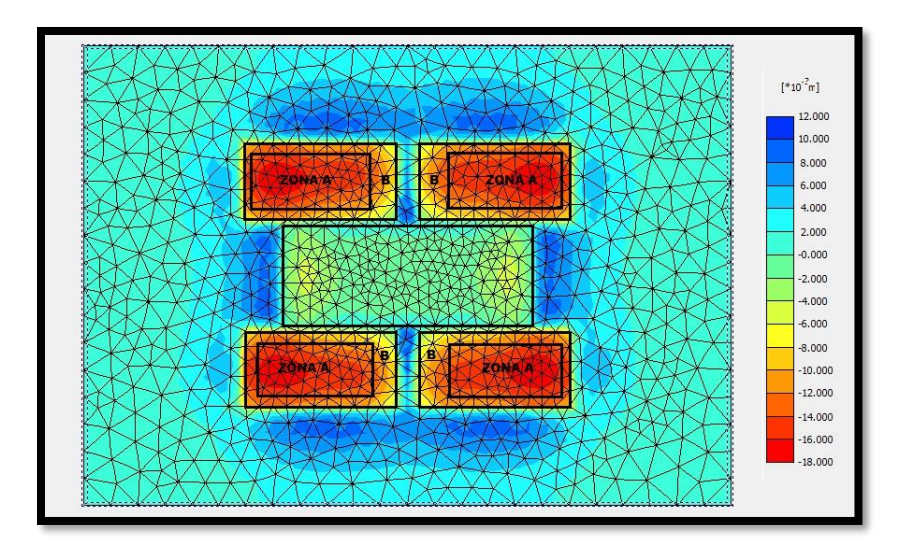


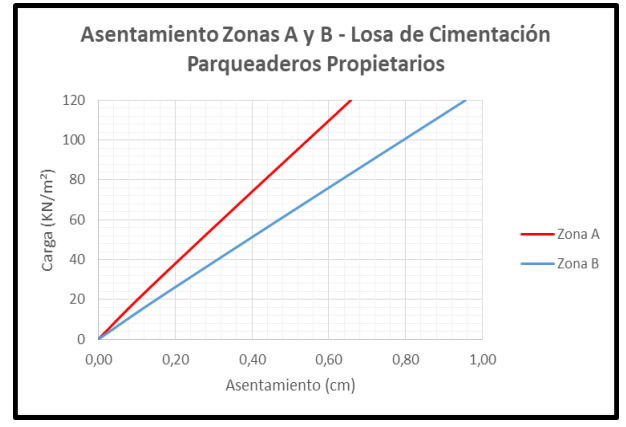
Figura. 42 Modelo 3D - Losas De Cimentación

Nota. Comportamiento Esfuerzos, Losas de Cimentación, Software Plaxis 3D Foundation, realizada por Autor

Se llevó a cabo un modelo con todas las losas de cimentación sobre el terreno para evaluación de su comportamiento siendo este muy similar a los evaluados de manera individual, de igual forma, se definieron dos zonas A y B, sobre las losas de cimentación para las torres de apartamentos, en los cuales se obtienen un módulo de reacción para una de estas.



Figura. 43 Asentamiento Diferencial – Losas De Cimentación



Nota. Comportamiento Carga - Asentamiento, Losas de Cimentación, realizada por Autor

Tabla 29. Análisis de Capacidad Portante

Estructura	Cimentación	Profundidad (m)	Carga (KN/m²)	Zona Losa	Asentamiento (cm)	Ks (KN/m³)
Torres	Losa	10,00	330,00	А	2,50	13200
Apartamentos	LOSa	10,00	330,00	В	1,20	27500
Torres Parqueadero	Losa	10,00	150,00	А	0,80	18750
Propietarios	LOSa	10,00	150,00	В	0,20	75000
Parqueaderos Visitantes	Viga	3,00	390,00	-	0,90	43333

Nota. Capacidad Portante, Losas de Cimentación, realizada por Autor

8.6 Asentamiento Por Consolidación

El análisis de asentamiento por consolidación se llevó a cabo a través del software PLAXIS 2D, la Figura 44, proyecta el asentamiento de la estructura por la consolidación del suelo en el tiempo, con un asentamiento máximo de 4,60 centímetros.

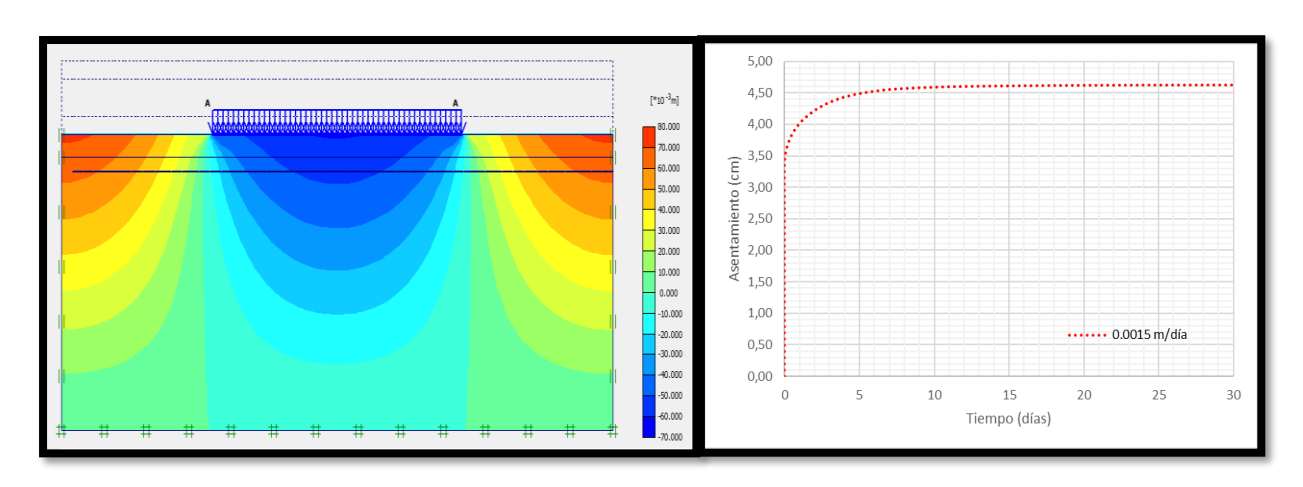


Figura. 44 Asentamiento Por Consolidación

Nota. Comportamiento Asentamiento por Consolidación, Software Plaxis 2D, realizada por Autor

9. ANÁLISIS DE ESTABILIDAD

Para el análisis de estabilidad de las excavaciones propias del proceso constructivo se llevaron a cabo modelos de cortes con taludes a 90 grados y profundidades establecidas anteriormente para el nivel de cimentación (10.00 m.), teniendo en cuenta los parámetros del suelo determinados anteriormente, dicho análisis se realizó con el software SLIDE, que aplica la teoría de equilibrio límite para obtener factores de seguridad ante posibles deslizamientos en los taludes.

Tipo	de Suelo	γ (kN/m³)	φ (°)	C (kPa)
Estrato 1	Arcillas Arenosas	18,50	32	10,00
Estrato 2	Aluvial	19,00	30	15,00
Estrato 3	Arcilla	19,60	18	50,00
Estrato 4	Arcilla firme	19,80	18	90,00

Tabla 30. Parámetros Geotécnicos

Nota. Parámetros geotécnicos para análisis de estabilización, realizada por Autor

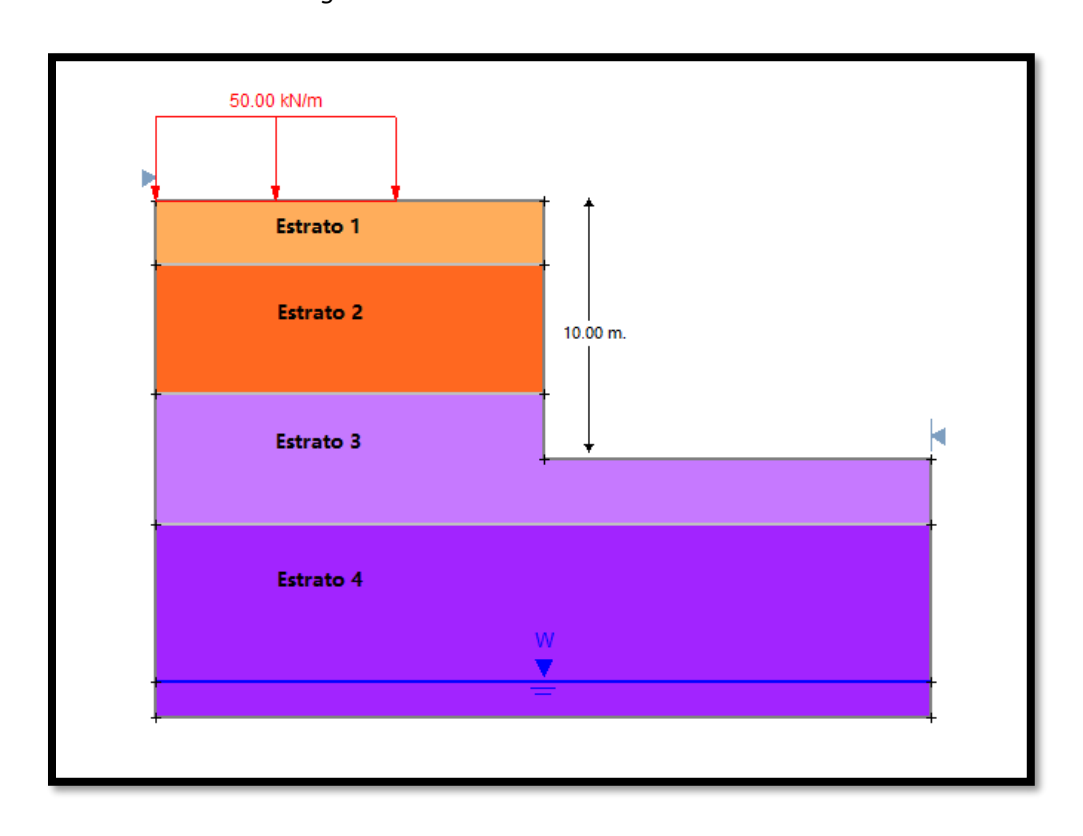


Figura. 45 Modelo Estabilidad Excavación

Nota. Figura Modelo Corte Software Slide, realizada por Autor

El análisis de estabilidad de las excavaciones previstas se llevó a cabo considerando un análisis estático y dinámico con valor mínimo para en condiciones dinámicas en los taludes de $K_{ST}=0.80*Aa$.

$$K_{ST} = 0.80*0.35 = 0.28 \text{ g}.$$

Según lo establecido en el Titulo H de la NSR-10 (numeral H.5.2.5)

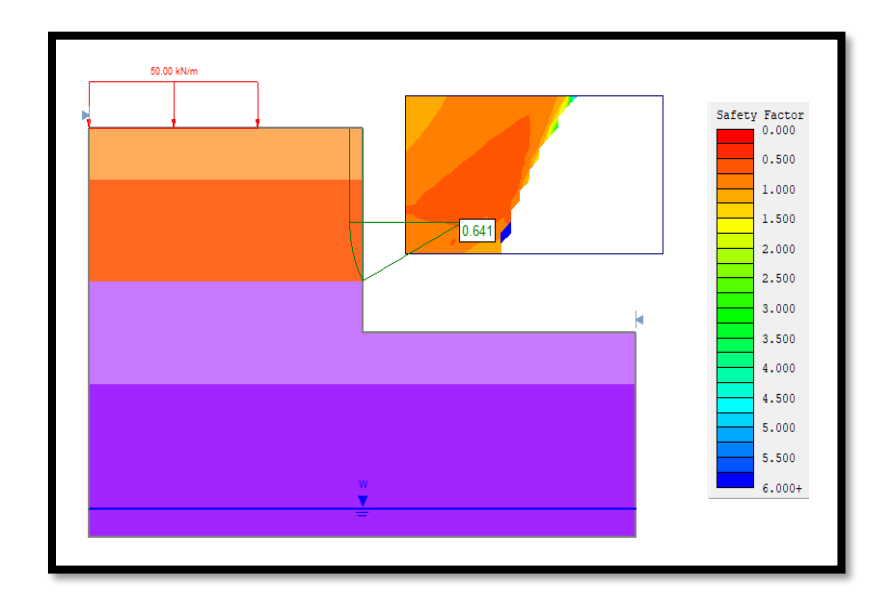


Figura. 46 Estabilidad Modelo Estático

Nota. Figura Análisis de Estabilidad Software Slide, realizada por Autor

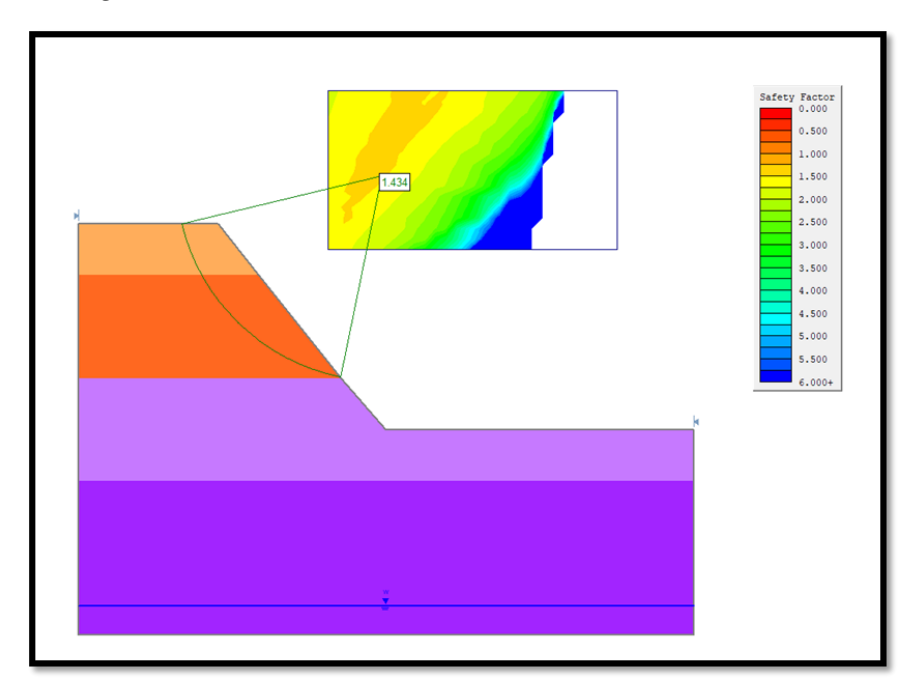


Figura. 47 Corte A 50 Grados - Estabilidad Modelo Estático

Nota. Figura Análisis de Estabilidad Software Slide, realizada por Autor

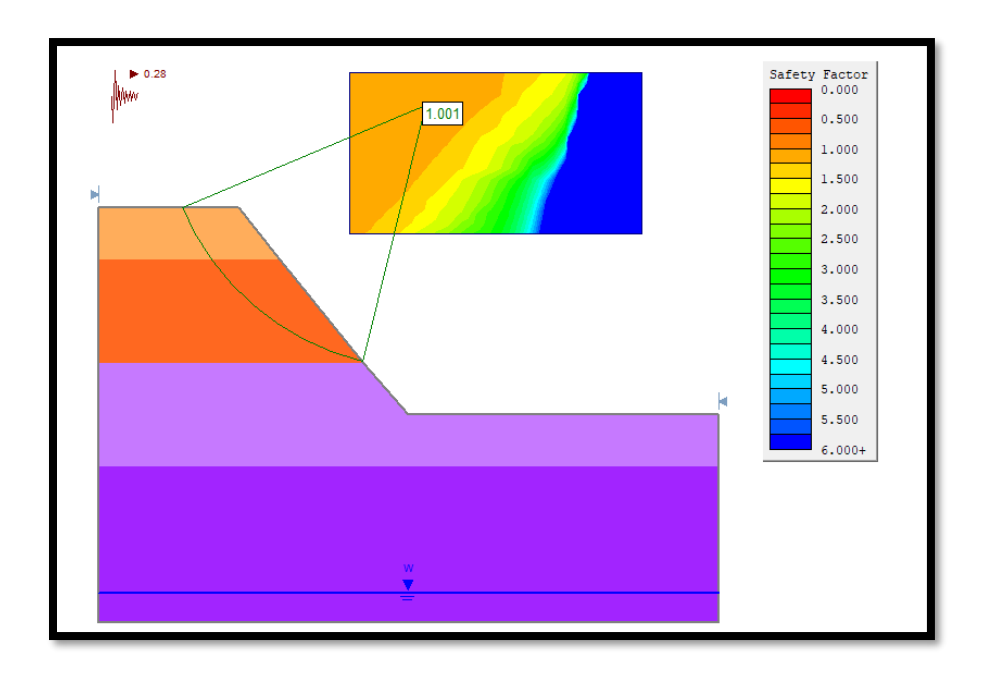


Figura. 48 Corte A 50 Grados - Estabilidad Modelo Dinámico

Nota. Figura Análisis de Estabilidad Software Slide, realizada por Autor

Tabla 30. Factores de Seguridad - Análisis de Estabilidad

Parámetros		Autores									
	Bishop	Janbú	Fellenius	Spencer							
Factor de seguridad del talud en condición estática - Circulo de Falla - Excavaciones	1,434	1,436	1,378	1,428							
Factor de seguridad del talud en condición dinámica - Circulo de Falla - Excavaciones	1,001	0,953	0,948	0,996							

Nota. Factores de Seguridad, Software Slide, realizado por Autor

9.1 Obras De Contención Permanentes

Se llevó a cabo un análisis de estabilidad con anclajes activos para el sistema de contención de forma permanente, el análisis se llevó a cabo con el software SLIDE, el cual se trabajó para el análisis de estabilidad sin obras. En el modelo se utilizaron anclajes con una longitud promedio de 9,00 metros, separaciones horizontales y verticales de 2,00 metros y resistencia a la tracción de 230 KN.

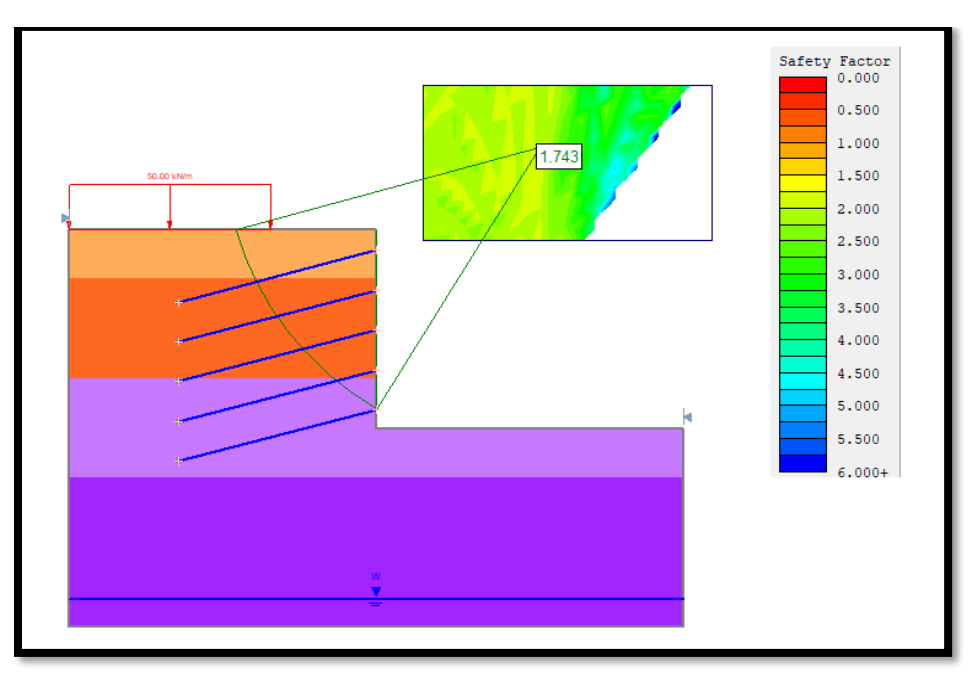


Figura. 49 Factor De Seguridad Anclajes – Análisis Estático

Nota. Figura Análisis de Estabilidad Software Slide, realizada por Autor

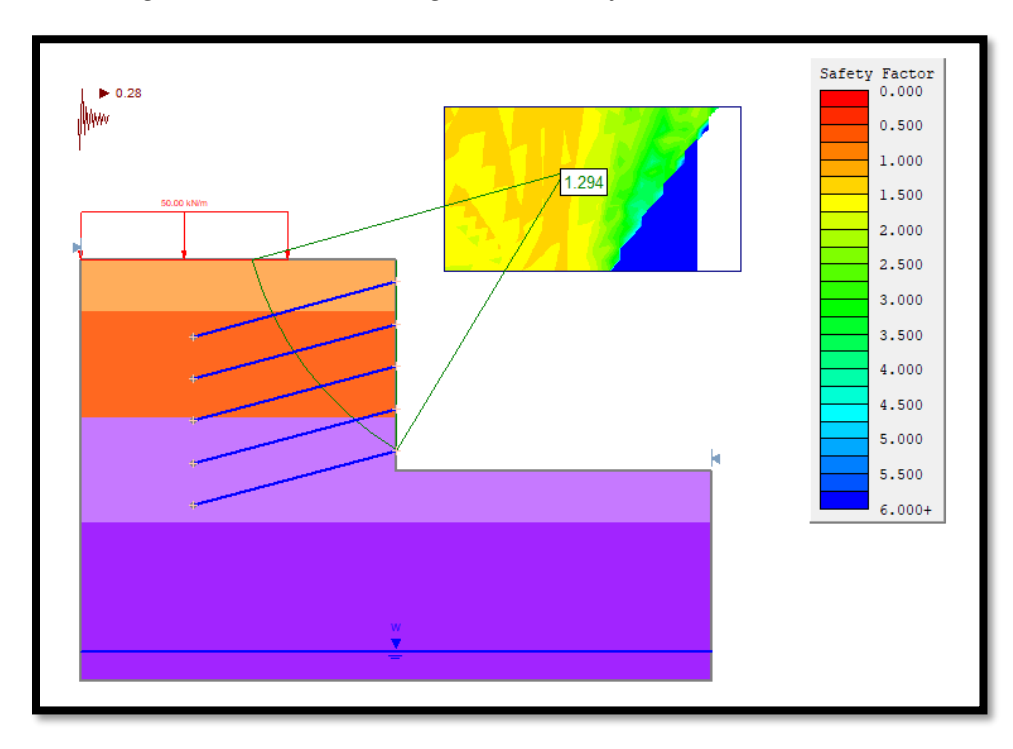


Figura. 50 Factor De Seguridad Anclajes – Análisis Dinámico

Fuente: Software Slide - Autor

Tabla 31. Factores De Seguridad – Modelo Anclajes

Parámetros		Autores										
	BISHOP	JANBÚ	FELLENIUS	SPENCER								
Factor de seguridad del talud en												
condición estática - Circulo de	1,652	1,836	1,743	1,738								
Falla Excavaciones												
Factor de seguridad del talud en												
condición dinámicas - Circulo de	1,294	1,111	1,237	1,508								
Falla Excavaciones												

Nota. Factores de Seguridad, Software Slide, realizado por Autor

9.2 Factores De Seguridad Permitidos

Los factores de seguridad básicos mínimos directos según la NSR-10 se registran en la Tabla No. 29.

Tabla 32. Factores De Seguridad Básicos Mínimos

Condición	F _S	вм		
Condicion	Diseño	Construcción		
Taludes – Condición Estática y Agua Subterránea Normal	1.50	1.25		
Taludes – Condición Seudo-estática con Agua Subterránea Normal y Coeficiente Sísmico de Diseño	1.05	1.00 (*)		

Nota: Titulo H, Norma Sísmico Resistente Colombiana NSR-10, 2010, Pg. H-7

10. RECOMENDACIONES

10.1 Recomendaciones De Diseño

Teniendo en cuenta las características del subsuelo analizado a través de los ensayos e interpretación, el tipo de obra a ejecutar, se recomienda utilizar los siguientes parámetros geotécnicos para el diseño estructural.

Tabla 33. Parámetros De Diseño

Tipo de Cimentación	Torres de 30 pisos - Torres de Parqueadero Propietarios = Losa de Cimentación
	Torres de Parqueaderos Visitantes = Viga de Cimentación
Profundidad de Cimentación	Torres de 30 pisos - Torres de Parqueadero Propietarios = 10,00 metros
	Torres de Parqueaderos Visitantes = 3,00 metros (Ambos casos respecto a cota de proyecto)
Presión Admisible	Torres de 30 pisos - Torres de Parqueadero Propietarios = 33 Ton/m²
	Torres de Parqueaderos Visitantes = 38 Ton/m²
Asentamientos Esperado	Torres de 30 pisos - Torres de Parqueadero Propietarios = 2.50 cm
	Torres de Parqueaderos Visitantes = 1.00 cm
Empuje Pasivo	Ko = 0,50 Eo = 40,4 Ton/m (Sobre Carga = 5,00 Ton/m ²)
	Ka = 0,33 Ea = 26,66 Ton/m
Coeficientes de Balasto	Losa de Cimentación Torres de 30 pisos: Zona A = 13200 KN/m² - Zona B = 27500 KN/m²
	Losa de Cimentación Parqueadero Propietarios = Zona A: 18750 KN/m² - Zona B = 75000 KN/m²
California Bearing Ratio (CBR)	50 % Prof. = 1,50 m.
Golpe/pie a Nivel de Cimentación	50
Perfil de Suelo de Cimentación	С

Nota. Parámetros de Diseño Recomendados, Realizado por Autor

10.2 Recomendación De Cimentación

Teniendo en cuenta las características del subsuelo analizado y el proyecto a ejecutar, se plantean las siguientes alternativas de cimentación de tipo superficial.

10.2.1 Cimentación Estructuras De 30 Niveles – Parqueaderos Propietarios

Para las estructuras de 30 niveles los cuales presentarán un sistema basado en muros de carga compuestos por concreto reforzado y la estructura de 7 niveles destinada para parqueaderos de los propietarios, se considera transmitir las cargas a un sistema de cimentación basado en una losa continua maciza o de tipo cajón en concreto reforzado con vigas rigidizadas y espesor según diseño, la cual descansará sobre una capa de material granular similar a sub-base granular con tamaños no superiores a 2 pulgadas conformada previamente con espesor mínimo de 0,30 metros, compactada por capas con espesor máximo 0,10 metros, logrando un porcentaje de compactación mínimo del 98% con respecto al ensayo de compactación modificado (Proctor).

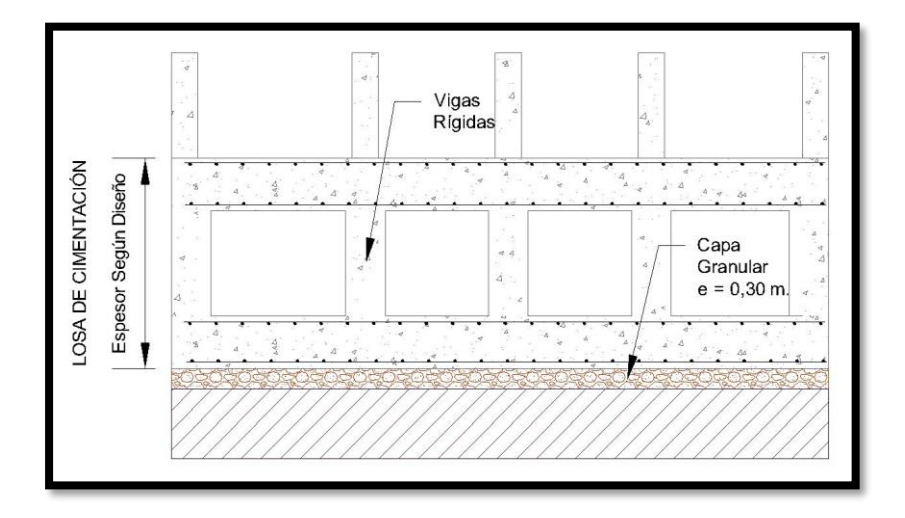


Figura. 51 Losa De Cimentación

Nota. Figura esquemática de losa de cimentación, realizado por Autor

10.2.2 Cimentación Parqueaderos Visitantes

Para la estructura de 3 niveles destinada para parqueaderos de los visitantes, se considera transmitir las cargas a un sistema de cimentación basado en una viga continua, la cual descansará sobre una capa de material granular similar a sub-base granular con tamaños no superiores a 3 pulgadas conformada previamente con espesor mínimo de 0,20 metros, compactada por capas con espesor máximo 0,10 metros, logrando un porcentaje de compactación mínimo del 95% con respecto al ensayo de compactación modificado (Proctor).

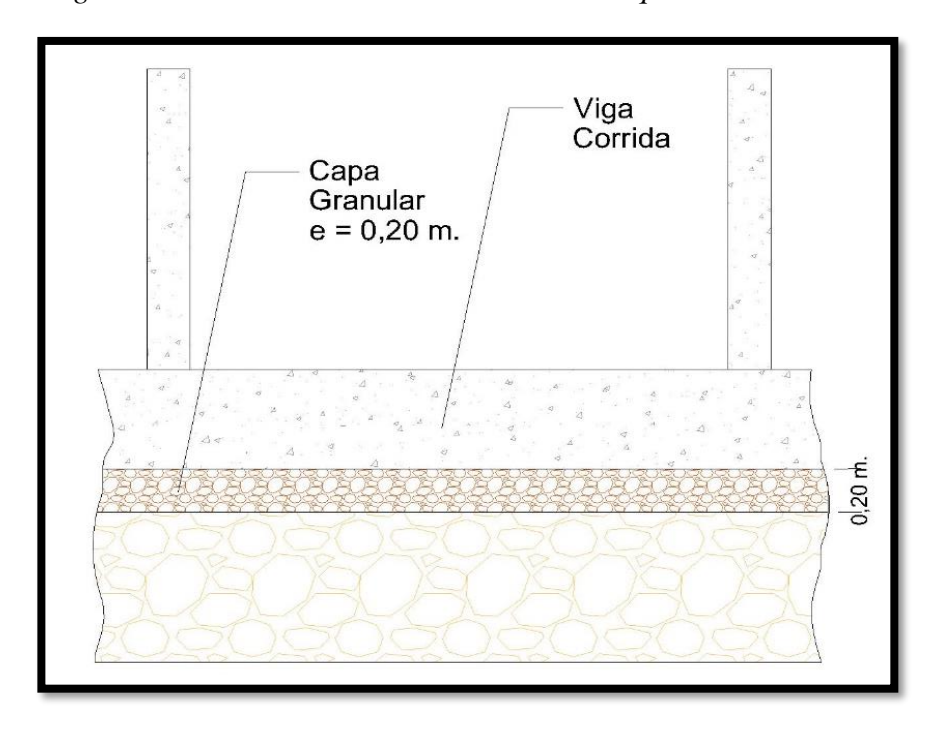


Figura. 52 Cimiento Continuo – Torre de Parqueaderos Visitantes

Nota. Figura esquemática de Viga de cimentación, realizado por Autor

10.3 Recomendaciones De Estabilidad – Excavaciones

En consideración con los parámetros geotécnicos del sitio de estudio y los procesos de excavación que se deben realizar durante el proyecto para la construcción de la cimentación y sótanos, se

llevaron a cabo modelos de cortes a 90 grados determinando un factor de seguridad muy inferior a la unidad (FS<1,00) por lo cual se recomienda llevar a cabo cortes conformando taludes como máximos a 50 grados, así mismo realizar un sistema de contención durante los procesos de excavación que garanticen la seguridad del personal y de trabajos realizados. De la misma manera para los sistemas de contención perimetral permanentes del proyecto con profundidades de 8,00 a 10,00 metros, se recomienda la construcción de muros pantalla reforzados con anclajes activos con longitud de 10,00 metros, inclinaciones entre 10 y 15 grados y espaciamiento horizontal y vertical de 2,00 metros, iniciando con una primera fila de anclajes a una profundidad máxima de 1,00 metro con respecto a la corona.

10.4 Preparación De Nivel De Proyecto Y Cimentación

Para el proceso de conformación de la cota de proyecto y cimentación se adelantarán trabajos de limpieza, descapote y nivelación del terreno, logrando la cota cero del proyecto, posteriormente se realizarán las excavaciones mecánicas necesarias para lograr la cota de cimentación al mismo tiempo que se deberán estabilizar los taludes conformados, logrado el nivel de cimentación se procederá a la conformación del estrato de apoyo de cimentación que para el caso de las estructuras de 30 pisos será de 0,30 metros de espesor, compactadas por capas de 0,10 metros, todas las capas deberán ser compactadas con vibro-compactador con peso mínimo de 8 toneladas, con direcciones desde el exterior al interior de la zona compactada, los porcentajes de compactación serán chequeados con ensayos de densidades de campo que garanticen el avance del proceso.

10.5 Vías Internas Y De Acceso

Para el acceso y vías internas se recomienda una estructura de pavimento de tipo rígido, compuesto por una capa de sub-base granular con un espesor mínimo de 0,20 metros y losas de concreto reforzado con malla electrosoldada con espesor mínimo 0,15 metros, el concreto deberá tener una resistencia a la flexión mínima de 4,00 MPa. El material de sub-base granular deberá ser compactado en 2 capas de 0,10 metros cada una, logrando una compactación mínima del 95% con respecto al ensayo de compactación de laboratorio (Proctor modificado)

NOTA: LOS ESPESORES DE LA ESTRUCTURA DEBERÁN SER VERIFICADOS POR EL DISEÑO DEL PAVIMENTO

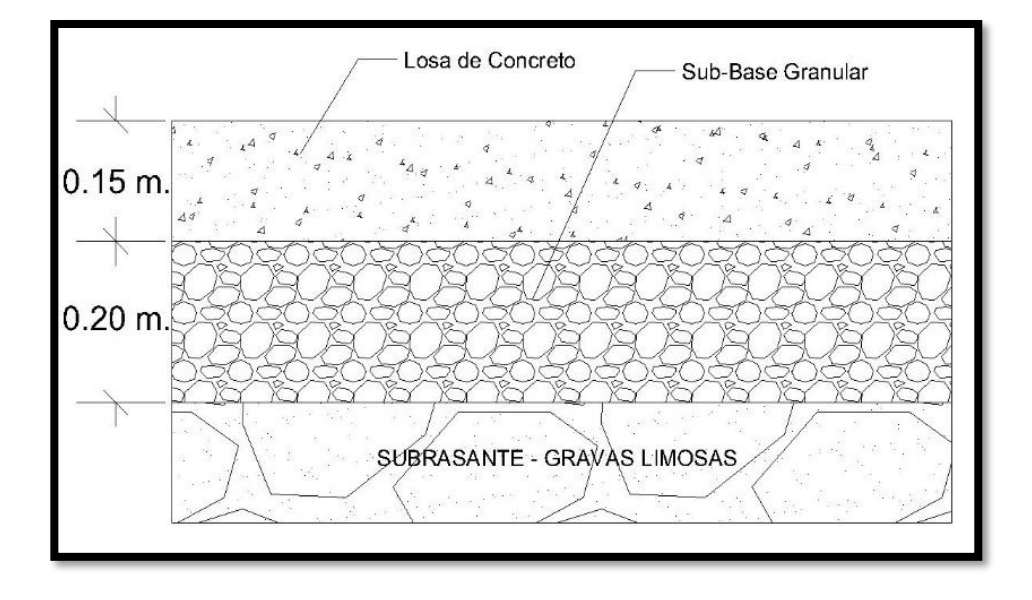


Figura. 53 Estructura Pavimento

Nota. Figura esquemática de Estructura Pavimento, realizado por Autor

10.6 Zonas Duras Y Andenes

Para la construcción de zonas duras y andenes adyacentes a los bloques de edificación se recomienda conformar una capa granular de apoyo sobre el estrato de subrasante con espesor mínimo 0,15 metros, esta capa debe estar constituida por gravas (<2") y arenas de rio, mezclado con material fino (<15%) (Arcilla – arenosa) de baja plasticidad o material similar al de sub-base granular, se debe compactar en 2 capas como mínimo al 95% de la densidad -máxima seca (Proctor modificado)

10.7 Cancha Multifuncional

Para la construcción de la cancha multifuncional se recomienda la construcción de una losa de concreto sobre una estructura conformada por un estrato de base granular con espesor mínimo de 0,20 compactada por capas de máximo 0,10 metros de espesor y logrando una compactación mínima del 95 % con respecto al ensayo de compactación de laboratorio (proctor Modificado).

10.8 Estructuras Menores

Para la construcción de estructuras menores tales como, áreas sociales, baños comunes, portería, cuarto de herramientas, entre otros, se recomienda una cimentación superficial basada en zapatas aisladas amarradas en dos direcciones, con profundidad de 1,50 metros con respecto a la cota del proyecto y una presión de contacto de 35 Ton/m².

10.9 Recomendaciones Adicionales

Para el control ante la infiltración de agua que podría desestabilizar el suelo, se recomienda establecer un sistema de drenaje y manejo de escorrentía con cubiertas con suficientes bajantes y superficie con pendientes generosas, buscando entregas rápidas y efectivas a los pozos de

evacuación previstos o en su defecto a las vías conformadas con pendientes apropiadas para el desagüe a los sitios previstos. Es conveniente realizar chequeos de niveles y pendientes, a fin de verificar el eficiente desalojo de las aguas lluvias hacia zonas alejadas de la estructura, de la misma manera para las acometidas hidráulicas y sanitarias se recomienda utilizar tubería de tipo flexible para disminuir el riesgo de roturas e infiltraciones de agua al terreno.

10.10 Recomendación De Sótanos

Sobre las excavaciones que se llevarán a cabo para la construcción de la cimentación de las torres de 30 pisos, cuya profundidad será de -10,00 metros, se recomienda el diseño de sótanos en cada una de las mismas con el fin de aprovechar el espacio para zonas de parqueadero y así mismo optimizar el comportamiento sísmico en las estructuras.

10.11 Recomendaciones Para Protección De Estructuras Vecinas

Teniendo en cuenta el tipo de proyecto el cual prevé excavaciones de gran profundidad, las estructuras adyacentes tales como vías, locales comerciales y viviendas, se recomienda inicialmente seguir el lineamiento expuesto en el literal 7.3, adicionalmente se recomienda llevar a cabo un registro fotográfico en detalle de las condiciones actuales de las vías próximas al proyecto, en los casos de estructuras de viviendas y locales comerciales diligenciar actas de vecindad con inventario detallado del estado de las estructuras, esta con el fin de dejar constancia del estado de las edificaciones cercanas al proyecto. Se recomienda instalar una serie de mojones o puntos de control para el cheque de asentamientos en las vías y en el límite de los previos vecinos.

CONCLUSIONES

A través de los ensayos de campo y el reconocimiento de sitio se logró obtener la suficiente información geológica y geotécnica de la zona en estudio con apoyo del material existente a través del servicio geológico colombiano, así mismo con los sondeos realizados se consiguió obtener una cantidad suficiente de muestras de tipo alterado e inalterado para llevar a cabo los ensayos de laboratorio que junto con la información recopilada en campo de los ensayos de refracción sísmica, permitieron obtener las propiedades geotécnicas de los diferentes estratos del suelo.

Se llevaron a cabo los diferentes ensayos de laboratorio de las muestras extraídas en los trabajos de campo logrando las propiedades físico-mecánicas del subsuelo en estudio, así mismo se procesaron los datos obtenidos en campo de los ensayos de refracción sísmica, logrando las velocidades de ondas de los diferentes estratos del suelo, estableciendo un perfil de la zona en estudio, así mismo se llevaron a cabo cálculos y correlaciones existentes alcanzando los parámetros geotécnicos requeridos para el diseño de la cimentación y las estructuras de contención recomendadas

Se realizaron hojas de cálculo para la evaluación de la capacidad admisible del suelo para tipos de cimentación profunda y superficiales, llevando a cabo una evaluación de los dos sistemas, definiendo de manera adecuada la profundidad y tipo de cimentación, teniendo en cuenta el factor económico y técnico a través de los parámetros de resistencia del suelo, los asentamientos permitidos en las edificaciones y las características de las estructuras del proyecto.

Se realizó un análisis del modelo en PLAXIS 3D FOUNDATION, teniendo en cuenta las características físico-mecánicas determinadas y los datos de las estructuras y cimentación definidos para la estimación de los asentamientos por las cargas aplicadas al suelo a través de las estructuras proyectadas, presentando inicialmente un modelo de losa de cimentación individual sin estructuras adyacentes, de la misma manera se proyecta el cálculo de la capacidad admisible del suelo relacionada con los asentamientos permitidos para el tipo de estructura, teniendo en cuenta que los cálculos de la capacidad admisible calculados anteriormente bajo el criterio de rotura no relacionan módulos de deformación.

Se dan las diferentes recomendaciones adicionales y de estabilidad para la ejecución del proyecto.

REFERENCIAS BIBLIOGRÁFICAS

- Asociación Colombiana de Ingeniería Sísmica, 2014, *Norma Colombiana de Diseño de Puentes* 2014 Bentley Systems, 1982, *Software Plaxis 2D* (Versión 8.0)
- Braja M. Das, 2012, *Fundamentos de Ingeniería Geotécnica* 7^a Edición, México DF, Cengage Learning Editores, S.A. de C.V., una Compañía de Cengage Learning, Inc.
- Brinkgreve, R. B. (s.f.). *Tutorial Manual PLAIXS V8 2D*. The Netherlands: Delf iniversity of Technology & PLAXIS b.v.
- Consorcio Normas 2012, 2013, Normas Y Especificaciones Invias 2013
- Portal Servicio Geológico Colombiano, 2020, Servicio Geológico Colombiano, www.sgc.gov.co Bentley Systems, 1982, Software Plaxis 3D Foundation (Versión 8.0)
- Reglamento Colombiano de Construcción Sismo Resistente, Titulo H. (2010). Bogotá: Republica de Colombia, Ministerio de Ambiente, Vivienda y Desarrollo territorial.

Rocscince, 2004, Software Slide Versión 5.014

Suarez Diaz, J. (1998). Deslizamiento y estabilidad de Taludes en Zonas Tropicales

Suarez Diaz, J. (2013). Ensayos de Refracción Sísmica

ESTUDIO GEOTÉCNICO TORRES DE 30 NIVELES	94
ANEXO A – MEMORIAS DE CALCULO PILOTES Y CIMENTACIÓN SUPERFICI	AL

MEMORIAS DE CALCULO - CIMENTACIÓN PROFUNDA – PILOTES

GEOMETRÍA Y PROPIEDADES DEL PILOTE										
Tipo de Pilote	Pre-excavado									
Sección de Pilote	Circular	m								
Diametro/Lado	2,00	m								
Longitud	20,00	m								
Perímetro	6,28	m								
Área Sección	3,14	m²								
Material	Concreto	-								
f'c	35,00	KPa								
Densidad del Material	23,50	KN/m³								
Volumen del Pilote	62,83	m³								
Masa del Pilote	1476,55	KN								
Módulo de Elasticidad	28397,18	MPa								
Inercia Pilote	0,785	m4								

Individual		
2544,69	KN	
5391,38	KN	
7936,07	KN	20
3,00	-	*
1,50	-	
4442,48	KN	
	2544,69 5391,38 7936,07 3,00 1,50	2544,69 KN 5391,38 KN 7936,07 KN 3,00 - 1,50 -

Cálculo de Grupo de Pilotes											
Eficiencia	0,75	-									
Cant. Pilotes Aprox.	127	-									
Cant. Pilotes (redondeado)	135	-									
Capac. Admisible Grupo	449801	KN									
Espaciamiento B	3,00	m									
Espaciamiento L	3,00	m									
N° Pilotes Base	-	-									
N° Pilotes Largo	-	-									

											Resistencia por Punta (Meyerhof)						Resistencia por Fricción - Granulares					D	ns	Resistencia por Fricción - Finos					Resistencia por Fricción - Finos						
strato	Profun	didad.	Tipo			Propiedade	s del Suelo			Cálcu	lo de Esfuerzos	INESIS	Granular	unta (wey	Finos		IVES		Castello - 1981)	iaics		- "	tesistencia por Métr		03		INC		létodo B	ni - Fillos		Nesis	Méto		Allios
Strato	Pioluli	luluau	Suelo					_	1			414	Granular			.,	L/D	(Coyle y		61	0:			000 A	٠.	000	.,		ietodo p	,		_		αοα	- 0:
(N°)	(n	1)	_	γ (KN/m³)	C (KN/m²)	φ (°)	(MPa)	Cu	μ .	(KN/m²)	U σ'ν (KN/m²) (KN/m²)	N*q	(KN/m²)	Qp (KN)	Qp (KN)	L' (m)		. K	σ'ν (KN/m²)	δ'	Qs (KN)		σ'ν (KN/m²)	J.	Qs (KN)	OCR .	κ .	σ'ν (KN/m²)	р .	I .	Qs (KN)	С .	α -	1	Qs (KN)
1	0,00	0,50	1	19,50	5,00	32,00	55,00		0,35	4,88	0,0 4,88	81,0	9,8	NA	NA	30	10,0	1,75	4,88	25,6	12,84	NA	NA I	NA	NA	NA	NA	NA	NA	NA	NA	0,450	NA	NA	NA
1	0.50	1,00	1	19.50	5,00	32,00	55,00	-	0,35	14,6	0,0 14,63	81,0	19,5	NA	NA	30	10.0	1,75	14,63	25,6	38,52	NA	NA	NA	NA	NA	NA	NA	NA	NA	NA	0.600	NA	NA	NA
1	1.00	1.50	1	19.50	5.00	32.00	55.00	-	0.35	24.4	0.0 24.38	81.0	29.3	NA	NA	30	10.0	1.75	24.38	25.6	64.21	NA	NA	NA	NA	NA	NA	NA	NA	NA	NA	0.600	NA	NA	NA
1	1,50	2,00	1	19,50	5,00	32,00	55,00	-	0,35	34,1	0,0 34,13		39,0	NA	NA	30	10,0	1,75	34,13	25,6	89,89	NA	NA	NA	NA	NA	NA	NA	NA	NA	NA	0.600	NA	NA	NA
1	2.00	2.50	1	19.50	5.00	32.00	55.00		0.35	43.9	0.0 43.88	81.0	48.8	NA	NA	30	10.0	1.75	43.88	25.6	115.57	NA	NA	NA	NA	NA	NA	NA	NA	NA	NA	0.600	NA	NA	NA
2	2,50	3,00	1	19,00	3,00	30,00	50,00		0,35	53,5	0,0 53,50	56,7	57,0	NA	NA	30	10,0	1,20	53,50	24,0	89,80	NA	NA NA	NA NA	NA	NA	NA	NA	NA	NA.	NA	0.600	NA	NA	NA.
2	3.00	3,50	1	19.00	3,00	30.00	50.00		0,35	63.0	0.0 63.00	56.7	66.5	NA.	NA.	30	10.0	1.20	63.00	24,0	105.74	NA.	NA NA	NA	NA.	NA	NA.	NA.	NA.	NA.	NA	0,600	NA NA	NA NA	NA.
2	3.50	4.00	1	19.00	3,00	30.00	50.00		0,35	72.5	0.0 72.50		76.0	NA NA	NA	30	10.0	1.20	72.50	24,0	121.69	NA	NA NA	NA NA	NA.	NA.	NA NA	NA.	NA	NA NA	NA NA	0,600	NA NA	NA NA	NA.
2	4.00	4,50	1	19,00	3,00	30.00	50.00		0,35	82,0	0.0 82.00		85,5	NA	NA	30	10,0	1,20	82,00	24,0	137.63	NA	NA NA	NA	NA	NA	NA	NA	NA	NA.	NA	0,600	NA	NA NA	NA
2	4.50	5.00	1	19.00	3.00	30.00	50,00		0,35	91.5	0.0 91.50		95.0	NA	NA	30	10.0	1.20	91.50	24,0	153.58	NA	NA NA	NA NA	NA	NA.	NA	NA.	NA	NA NA	NA NA	0.600	NA NA	NA NA	NA.
2	5,00	5,50	1	19,00	3,00	30,00	50,00		0,35	101,0	0,0 101,00		104,5	NA	NA	30	10,0	1,10	101,00	24,0	155,40	NA.	NA NA	NA	NA	NA	NA	NA	NA	NA.	NA	0,600	NA	NA NA	NA.
2	5.50	6,00	1	19.00	3,00	30,00	50.00		0,35	110,5	0,0 110,50		114,0	NA	NA	30	10.0	1.10	110,50	24,0	170,02	NA	NA NA	NA	NA	NA	NA.	NA	NA	NA.	NA NA	0,600	NA NA	NA NA	NA.
2	6,00	6,50	1	19,00	3,00	30,00	50,00		0,35	120,0	0,0 120,00		123,5	NA	NA	30	10,0	1,10	120,00	24,0	184,63	NA	NA NA	NA NA	NA	NA	NA	NA	NA	NA	NA	0,600	NA	NA	NA.
2	6,50	7,00	1	19.00	3,00	30,00	50,00		0,35	129.5	0.0 129.50		133,0	NA	NA.	30	10.0	1.10	129.50	24,0	199,25	NA	NA NA	NA NA	NA	NA	NA	NA NA	NA	NA NA	NA NA	0.600	NA NA	NA NA	NA NA
2	7,00	7,50	1	19,00	3,00	30,00	50,00		0,35	139,0	0,0 139,00		142,5	NA	NA	30	10,0	1,10	139,00	24,0	213,87	NA	NA NA	NA	NA	NA	NA	NA	NA	NA	NA	0,600	NA	NA	NA
3	7,50	8.00	2	17.70	50.00	20.00	60.00	68.00	0,33	148.2	0.0 148.18		141.6	NA	NA	NA .	NA NA	#N/A	NA	NA.	NA	0.336	148.175	95.48	299.97	0.269	0.658	148.18	0.239	35.49	111.48	0,600	0.852	57.93	181.98
3	8.00	8.50	2	17,70	50,00	20,00	60.00	68.00	0,32	157.0	0.0 157.03	NA NA	150.5	NA NA	NA NA	NA NA	NA NA	#N/A	NA NA	NA NA	NA NA	0,336	157.025	98.46	309.31	0,269	0,658	157.03	0,239	37.61	118.14	0,600	0,832	59,46	186.80
3	8.50	9.00	2	17,70	50.00	20,00	60.00	68.00	0,32	165.9	0.0 165.88	·	159.3	NA NA	NA NA	NA NA	NA NA	#N/A	NA NA	NA NA	NA NA	0,336	165.875	101.43	318.65	0.269	0.658	165.88	0,239	39.72	124.80	0,600	0,874	60.94	191.46
3	9.00	9,50	2	17,70	50,00	20,00	60.00	68.00	0,32	174.7	0.0 174.73		168.2	NA NA	NA NA	NA NA	NA NA	#N/A	NA NA	NA NA	NA NA	0,336	174,725	104,40	327.99	0,269	0.658	174.73		41.84	131.46	0,600	0,896	62.39	195,46
3	9,50	10,00	2	17,70	50,00	20,00	60,00	68.00	0,32	183.6	0,0 174,73	NA.	177.0	NA	NA	NA I	NA	#N/A	NA NA	NA.	NA NA	0,245	183.575	78,30	245,97	0,269	0,658	183.58	0,239	43,96	138.12	0,600	0,938	63,79	200,40
2	10.00	10,50	2	17,70	50,00	20,00	60,00	68.00	0,32	192.4	0,0 192,43		185,9	NA	NA	NA	NA	#N/A	NA NA	NA.	NA.	0,245	192,425	80,46	252,79	0,269	0,658	192,43		46,08	144.77	0,600	0,958	65,16	204,69
3	10,50	11,00	2	17,70	50,00	20,00	60,00	68,00	0,32	201,3	0,0 192,43		194,7	NA NA	NA	NA	NA NA	#N/A	NA NA	NA NA	NA NA	0,245	201,275	82,63	259,60	0,269	0,658	201,28	0,239	48,20	151,43	0,600	0,938	66,49	204,69
3	11.00	11,50	2	17,70	50,00	20,00	60.00	68.00	0,32	210.1	0.0 210.13		203.6	NA NA	NA NA	NA NA	NA NA	#N/A	NA NA	NA NA	NA NA	0,245	210.125	84.80	266.41	0,269	0.658	210.13		50.32	151,45	0,600	0,978	67.79	212.96
3	11,50	12,00	2	17,70	50,00	20,00	60,00	68,00	0,32	219,0	0,0 218,98	NA NA	212,4	NA	NA	NA NA	NA	#N/A	NA NA	NA NA	NA NA	0,245	210,125	86,97	273,22	0,269	0,658	218,98	0,239	52,44	164,75	0,600	1,016	69,06	216,95
3	12,00	12,50	2	17,70	50,00	20,00	60,00	68,00	0,32	227,8			212,4		NA NA	NA NA	NA	#N/A	NA NA	NA NA	NA NA	0,245	227.825	89,14	280,03	0,269				54,56		0,600	1,016	70,30	220,85
3	12,00	13.00	2	17,70	50,00	20,00	60.00	68.00	0,32	236.7	0,0 227,83		221,3	NA NA	NA NA	NA NA	NA NA	#N/A	NA NA	NA NA	NA NA	0,245	236,675	91.31	286,84	0,269	0,658	236.68	0,239	56.68	171,41 178.07	0,600	1,034	70,30	224,67
			2		-		-	-					-		·	·						4			-				-				-	-	
4	13,00	13,50	2	18,50 18.50	90,00	20,00	65,00 65.00	90,00	0,30	245,7	0,0 245,73 0.0 254.98	NA NA	249,8 259.0	NA NA	NA NA	NA NA	NA NA	#N/A #N/A	NA NA	NA NA	NA NA	0,245	245,725 254.975	104,30 106.57	327,68 334.80	0,259	0,658	245,73 254.98	0,239	58,85 61.06	184,87 191.83	0,600	0,943	84,86	266,59 271.06
4			2			20,00			-					~~~~~	NA NA	NA NA	NA NA	#N/A	NA NA	NA NA	J.				-		0,658	***************************************	hammen			0,600	0,959	-	-
4	14,00 14.50	14,50 15.00	2	18,50 18.50	90,00	20,00	65,00 65.00	90,00	0,30	264,2	0,0 264,23		268,3 277.5	NA NA	NA NA	NA NA	NA NA	#N/A	NA NA	NA NA	NA NA	0,245	264,225 273,475	108,84 90.70	341,92 284.93	0,259	0,658	264,23 273.48	0,239	63,28 65.49	198,79 205.75	0,600	0,974	87,67 89.04	275,44
4			2		-		-	-			-		-			-						******			-		-,		-				-	-	
	15,00	15,50		18,50	90,00	20,00	65,00	90,00	0,30	282,7	0,0 282,73		286,8	NA	NA NA	NA NA	NA NA	#N/A #N/A	NA	NA NA	NA	0,200	282,725	92,55	290,74	0,259	0,658	282,73	0,239	67,71	212,71	0,600	1,004	90,39	283,95
4	15,50 16.00	16,00	2	18,50	90,00	20,00	65,00	90,00	0,30	292,0	0,0 291,98		296,0	NA	NA NA	NA NA	NA NA	#N/A	NA NA		NA	0,200	291,975	94,40	296,55	0,259	0,658	291,98		69,92	219,67	0,600	1,019	91,70	
4		16,50	2	18,50	90,00	20,00	65,00	90,00	0,30	301,2	0,0 301,23		305,3	NA		NA NA	NA NA	#N/A	NA NA	NA	NA NA	0,200	301,225 310.475	96,25	302,36	0,259	0,658	301,23		72,14	226,63 233.59	0,600	1,033	93,00	292,17
4	16,50 17.00	17,00 17.50	2	18,50 18.50	-	20,00	65,00	-	0,30	310,5	-		314,5	NA	NA	1	NA NA			NA NA	ļ	0,200		98,10	308,17	0,259	0,658	310,48		74,35		0,600	1,048	94,28	296,17
					90,00		65,00	90,00		319,7	0,0 319,73	~	323,8	NA	NA	NA		#N/A	NA NA	NA	NA	4	319,725	99,95	313,99	0,259	0,658			76,57	240,55			95,53	300,11
4	17,50 18.00	18,00 18,50	2	18,50 18.50	90,00	20,00	65,00	90,00	0,30	329,0 338.2	0,0 328,98		333,0	NA	NA NA	NA NA	NA NA	#N/A #N/A	NA NA	NA NA	NA NA	0,200	328,975 338,225	101,80	319,80 325.61	0,259	0,658	328,98 338.23		78,78	247,51	0,600	1,075	96,76	303,99
			ļ		90,00	20,00	65,00	90,00	0,30	<u> </u>	0,0 338,23		342,3	NA						NA NA	<u> </u>					0,259			0,239	81,00	254,47		1,089	97,98	307,81
4	18,50	19,00	2	18,50	90,00	20,00	65,00	90,00	0,30	347,5	0,0 347,48	NA	351,5	NA	NA	NA	NA	#N/A	NA	NA	NA	0,200	347,475	105,50	331,42	0,259	0,658	347,48	0,239	83,22	261,43	0,600	1,102	99,17	311,57
4	19,00	19,50	2	18,50	90,00	20,00	65,00	90,00	0,30	356,7	0,0 356,73	NA NA	360,8	NA NA	NA	NA	NA NA	#N/A	NA NA	NA	NA	0,200	356,725	107,35	337,23	0,259	0,658	356,73	0,239	85,43	268,39	0,600	1,115	100,35	315,27
	19,50	20,00		18,50	90,00	20,00	65,00	90,00	0,30	366,0	0,0 365,98		370,0		2544,69	NA		#N/A	NA NA	NA	NA	0,173	365,975	94,45	296,73	0,259	0,658	365,98	0,239	87,65	275,35	0,600		101,52	318,92
4	20,00	20,50	2	18,50	90,00	20,00	65,00	90,00	0,30	375,2	0,0 375,23		379,3	NA	2544,69	NA NA	NA	#N/A	NA NA	NA NA	NA	0,173	375,225	96,05	301,76	0,259	0,658	375,23		89,86	282,31	0,600	1,141	102,66	
4	20,50	21,00	2	18,50	90,00	20,00	65,00	90,00	0,30	384,5	0,0 384,48		388,5	NA	2544,69	NA	NA	#N/A	NA NA	NA NA	NA	0,173	384,475	97,65	306,79	0,259	0,658	384,48	0,239	92,08	289,27	0,600	1,153	103,79	326,08 329.59
	21,00	21,50	2	18,50	90,00	20,00	65,00	90,00	0,30	393,7	0,0 393,73		397,8	NA	2544,69	NA	NA	#N/A	NA NA	NA	NA	0,173	393,725	99,25	311,82	0,259	0,658	393,73		94,29	296,22		\$	104,91	
4	21,50	22,00	2	18,50	90,00	20,00	65,00	90,00	0,30	403,0	4,9 398,08		407,0	NA	2544,69	NA	NA	#N/A	NA NA	NA	NA	0,173	398,075	100,01	314,18	0,259	0,658	398,08	0,239	95,33	299,50	0,600	1,171	105,43	331,22
4	22,00	22,50	-	18,50	90,00	20,00	65,00	90,00	0,30	407,3	9,8 397,53		416,3	NA	2544,69	opennements.	NA	#N/A	NA NA	NA	NA	0,173	397,525	99,91	313,88	0,259	0,658	397,53		95,20	299,08	0,600		105,37	
4	22,50 23.00	23,00	2	18,50 18.50	90,00	20,00	65,00	90,00	0,30	406,8	14,7 392,08	NA NA	425,5	NA	2544,69 2544.69	NA NA	NA	#N/A	NA NA	NA NA	NA NA	0,173	392,075	98,97	310,92	0,259	0,658	392,08	0,239	93,90	294,98	0,600	1,163	104,71	328,97
		23,50	2		ļ	20,00	65,00	90,00	0,30	401,3	19,6 381,73		434,8	NA		farmenia	NA			NA	Janes	0,173	381,725	97,18	305,30	0,259	0,658	381,73		91,42	287,20			103,46	
4	23,50	24,00	2	18,50	90,00	20,00	65,00	90,00	0,30	391,0	24,5 366,48		444,0	NA	2544,69	NA	NA	#N/A	NA NA	NA	NA	0,173	366,475	94,54	297,01	0,259	0,658	366,48	0,239	87,77	275,72	0,600	1,129	101,58	319,12
4	24,00	24,50	2	18,50	90,00	20,00	65,00	90,00	0,30	375,7	29,4 346,33	~~·······	453,3	NA	2544,69	·	NA	#N/A	NA NA	NA	NA	0,173	346,325	91,05	286,06	0,259	0,658	346,33	0,239	82,94	260,56	0,600	1,100	99,03	311,10
4	24,50	25,00	2	18,50	90,00	20,00	65,00	90,00	0,30	355,6	34,3 321,28		462,5	NA	2544,69		NA	#N/A	NA	NA	NA	0,150	321,275	75,19	236,22	0,259	0,658	321,28		76,94	241,72	0,600	1,064	95,74	300,77
4	25,00	25,50	2	18,50	90,00	20,00	65,00	90,00	0,30	330,5	39,2 291,33	NA	471,8	NA	2544,69		NA	#N/A	NA	NA	NA	0,150	291,325	70,70	222,11	0,259	0,658	291,33	0,239	69,77	219,18	0,600	1,018	91,61	287,81
															2544.69						1852,64				7532.71						4814,06				6356,51

MEMORIAS DE CALCULO - CIMENTACIÓN SUPERFICIAL

					EST	RATOS - PRO	PIEDADES (E LOS M	TERIALES									
Estrato	Tipo Suelo	Profu	ndidad	Espesor	Tipo de Material		С	ф	E	μ	Cu	σ'c	е	Gs	OCR	Condición	W	y sat
(N°)		(1	m)	(m)	ripo de material	(KN/m³)	(KN/m²)	(°)	(MPa)		(KN/m²)	(KN/m²)					(%)	(KN/m³)
1	1	0,00	2,50	2,50	Arcillas/limos arenosas color marrón	19,50	5,00	32,00	55,00	0,35		-		2,67	NA	NA	5,00%	24,26
2	1	2,50	7,50	5,00	Arcillas y limos areno-gravosas color marrón	19,00	0,00	30,00	50,00	0,35	-	-		2,67	NA	NA	7,00%	23,61
3	2	7,50	13,00	5,50	Arcillas color morado	17,70	50,00	0,00	60,00	0,32	68,00	62	0,476	2,70	0,27	NC	17,00%	21,24
4	2	13,00	25,00	12,00	Arcillas color morado	18,50	90,00	0,00	65,00	0,30	100,00	120	0,452	2,70	0,26	NC	20,00%	20,64

DATOS - TORRES APARTAMENTOS						
Tipo de Estructura	Edificación	-				
N° de Niveles	30	-				
Area de Estructura	1125	m²				
Carga Estimada x m ²	12,50	KN/m²				
Carga Estimada Estructura	464063	KN				
Profundidad de Excavación	8,00	m				
Volumen de excavación	9000	m³				
Peso Material Excavado	171000	KN				
Carga Estimada Real	293062,5	KN				

DATOS - CIMENTACIÓN -					
Tipo de Cimentación	Losa	-			
Base	30	m			
Largo	60	m			
Area de Contacto	1800	m²			
Presión de Contacto	162,81	KN/m²			
Df - Prof. Cimentación	3,00	m			
Profundidad de Excavación	3,00	m			
Volumen de excavación	5400	m³			
Peso Material Excavado	102600	KN			
Tipo de Caso	II	-			

DATOS - ESTRATO DE CIMENTACIÓN					
Peso Unitario	17,70	(KN/m³)			
Cohesión	50,00	(KN/m²)			
Angulo de Fricción	0	۰			
Módulo de Elasticidad	60,00	МРа			
Coeficiente de Poisson	0,35	-			
Relación de vacios	0,476	-			
Gravedad Específica	2,75	-			
OCR	0,27	-			
Tipo de Suelo	1	-			
γsat	21,24	(KN/m³)			
γ'	11,43	(KN/m³)			

CAPACIDAD DE CARGA PERMISIBLE NETA - LOSA								
PARÁMETROS SÍMBOLO VALOR UNIDAL								
Asentamiento Permisible	Se	25,00	mm					
N60 (Promedio)	N60	22	Golpes					
Peso Unitario	γ	19,00	KN/m³					
Df - Profundidad de Cimentación	Df	10,00	m					
Base de Cimentación	В	25,00	m					
Fd ≤ 1,33	Fd	1,13	-					
neta (permisible) q neta 318,82								

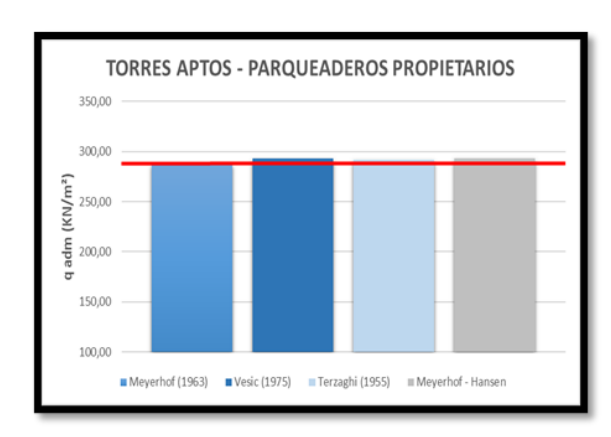
DATOS - TORRE PARQUEADERO VISITANTES					
Tipo de Estructura	Edificación	-			
N° de Niveles	3	-			
Area de Estructura	800	m²			
Carga Estimada x m ²	12,50	KN/m²			
Carga Estimada Estructura	30000	KN			
Profundidad de Excavación	3,00	m			

DATOS - ESTRATO DE CIMENTACIÓN					
Peso Unitario	19,00	(KN/m³)			
Cohesión	5,00	(KN/m²)			
Angulo de Fricción	30	۰			
Módulo de Elasticidad	50,00	МРа			
Coeficiente de Poisson	0,35	-			
Relación de vacios	0,476	-			
Gravedad Específica	2,65	-			
OCR	0,27	-			
Tipo de Suelo	1	-			
γsat	21,24	(KN/m³)			
γ'	11,43	(KN/m³)			

PARÁMETROS	SÍMBOLO	VALOR	UNIDAD
Cohesión	С	5,00	KN/m²
Ángulo de Fricción	ф	30	•
Peso Unitario	γ	17,49	KN/m³
Esfuerzo de Sobre Carga	q	188,00	KN/m²
Resistencia al Corte No drenado	Su	-	KN/m²
Ancho de Cimentación	В	0,60	m
Factor de Seguridad	Fs	3,00	-
Nivel de Emplazamiento	Df	3,00	m
Fc = Fcd*Fcs*Fci	Fc	1,56	-
Fq = Fqd*Fqs*Fqi	Fq	1,44	-
Fγ = Fγd*Fγs*Fγi	Fγ	0,99	-
Carga Ultima	Q ult	3139,08	KN/m²
CARGA ADMISIBLE	Q adm	896,88	KN/m²

DATOS CIMENTACIÓN						
Elemento Losa	Prof. (m)	10,00				
CAPACIDAD ADMI	ISIBLE - LOSAS DE	CIMENTACIÓN				
Referencia Q ult Q adm (KN/m²) (KN/m²)						
Meyerhof (1963)	861,49	287,16				
Vesic (1975)	879,52	293,17				
Terzaghi (1955)	874,54	291,51				
Meyerhof - Hanna	879,56	293,19				
PROMED	291,26					

DATOS CIMENTACIÓN						
Elemento Viga	Prof. (m)	3,00				
CAPACIDAD ADMISIBI	LE - VIGAS (PAR	Q. VISITANTES)				
Referencia	Qult (KN/m2)	Q adm (KN/m2)				
Hansen (1970)	1036	345,33				
Vesic (1975)	1108	369,33				
Terzaghi (1955)	1261	420,33				
Brinch - Hansen	1302	434,00				
PROMEDIO 392,25						





ANEXO B – ENSAYOS DE LABORATORIO 2

² Fuente: GEOTÉCNICAS DEL NORTE S.A.S. Ensayos de laboratorio, estudio de suelos Nogales

-		CONTENIDO DE				GP-HC-03 VERSION 03 VIGENCIA: 20/09 PAGINA 1 DE 1	/2018	
ROYECTO:	NOGALES CLUB		ORDEN DE SERVICIO					
UCITANTE:						MATERIAL	SUELOS	
	CELEUS GRUOP			orte de Santander		FECHA	07 DE NOVIEMB	
	variance ca Pro-	esta, municipio d	C COS P GCOS. N	orte de Jantander			O/ DE NOVIEMB	NE DE 202
	APIQUE	MUESTRA	PROF.	PESO HUMEDO	PESO SECO	PESO TARA	HUMEDAD	
	N°	N°	m	g	gr	gr	%	
	AP1	M1	1,00	330,36	307,63	34,44	8,31	
	AP1	M2	2,00	398,20	377,88	34,96	5,93	
	AP1	M3	2,50	406,90	395,01	32,82	3,28	
	AP2	M1	1,00	357,97	326,08	34,64	10,94	
	AP2	M2	2,00	351,91	324,90	32,67	9,24	
							\vdash	
						 		
						 		
	—	 				 	\vdash	
		_				_	\vdash	
		 				 	\vdash	
		muestra humeda muestra seca + Ti Tara				•		
	Jefe Laboratorio	o: Jaja As Tecn. Jair Alexan		_	Reviso	Ing. Cristian Agudelo	-	
		Jefe de Laborato				Mat. No: 54202-3345		
		OFICINA - LABORATO	BO-CALETT No.	0-56 CENTRO, CÚCUTA - 57	12898 - 350-6147129			
				0-56 CENTRO, CUCUTA - 57 (Ivo@eectecnlossdelnorte.				

		AGREGADO		GP-HC-03 VERSION 03
				VIGENCIA: 20/09/2018 PAGINA 1 DE 1
PROYECTO:	NOGALES CLUB		ORDEN DE SERVICIO	
SOUCITANTE:	CRISTALES PROY	MATERIAL	SUELOS	
LOCALIZACIÓN:	Variante La Flor	07 DE NOVIEMBRE DE 2019		

SONDEO	MUESTRA	PROF.	PESO HUMEDO	PESO SECO	PESO TARA	HUMEDAD
N°	N°	m	gr	gr	gr	%
51	M1	0,00 -1,00	256,23	238,95	54,89	9,39
51	M2	1,00 - 2,00	245,07	223,18	52,11	12,80
51	M3	2,00 - 6,00	387,02	326,75	45,77	21,45
51	M4	6,00 - 15,00	288,85	241,59	34,72	22,85
52	M1	0,00 - 2,00	360,10	338,39	45,28	7,41
52	M2	2,00 - 4,00	315,70	280,39	35,03	14,39
52	M3	4,00 - 10,00	320,30	280,20	53,30	17,67
52	M4	10,00 - 15,00	387,02	326,75	45,77	21,45
52	M3	15,00 - 20,00	288,85	251,59	34,72	17,18
53	M1	0,00 - 3,50	360,10	338,39	45,28	7,41
53	M2	4,00 - 8,00	315,70	280,39	35,03	14,39

P1: Peso de la muestra humeda + Tara

P2: Peso de la muestra seca + Tara

P3: Peso de la Tara

Jan Assertator Jan Asserato.

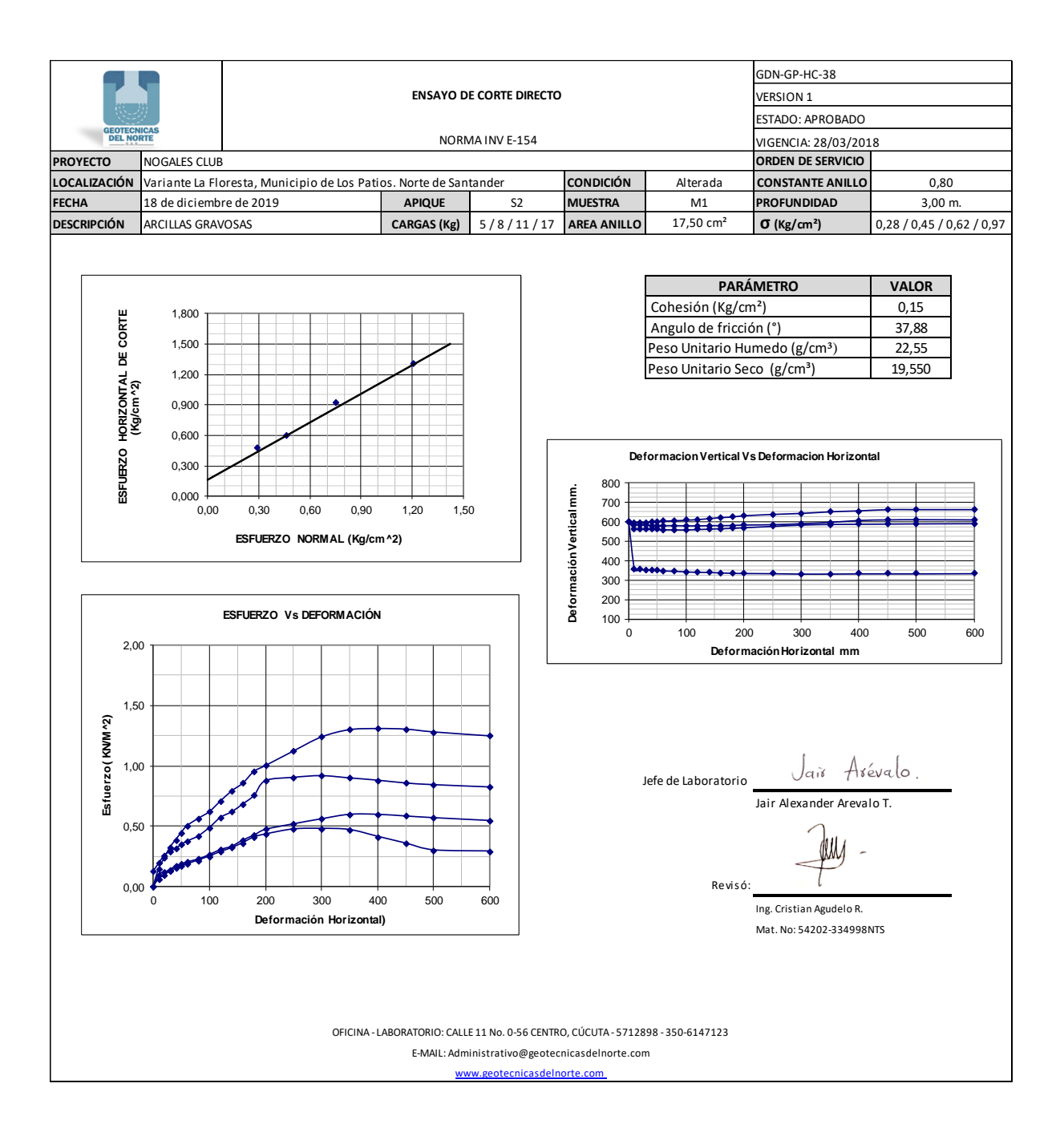
Tecn. Jair Alexander Arevalo T.

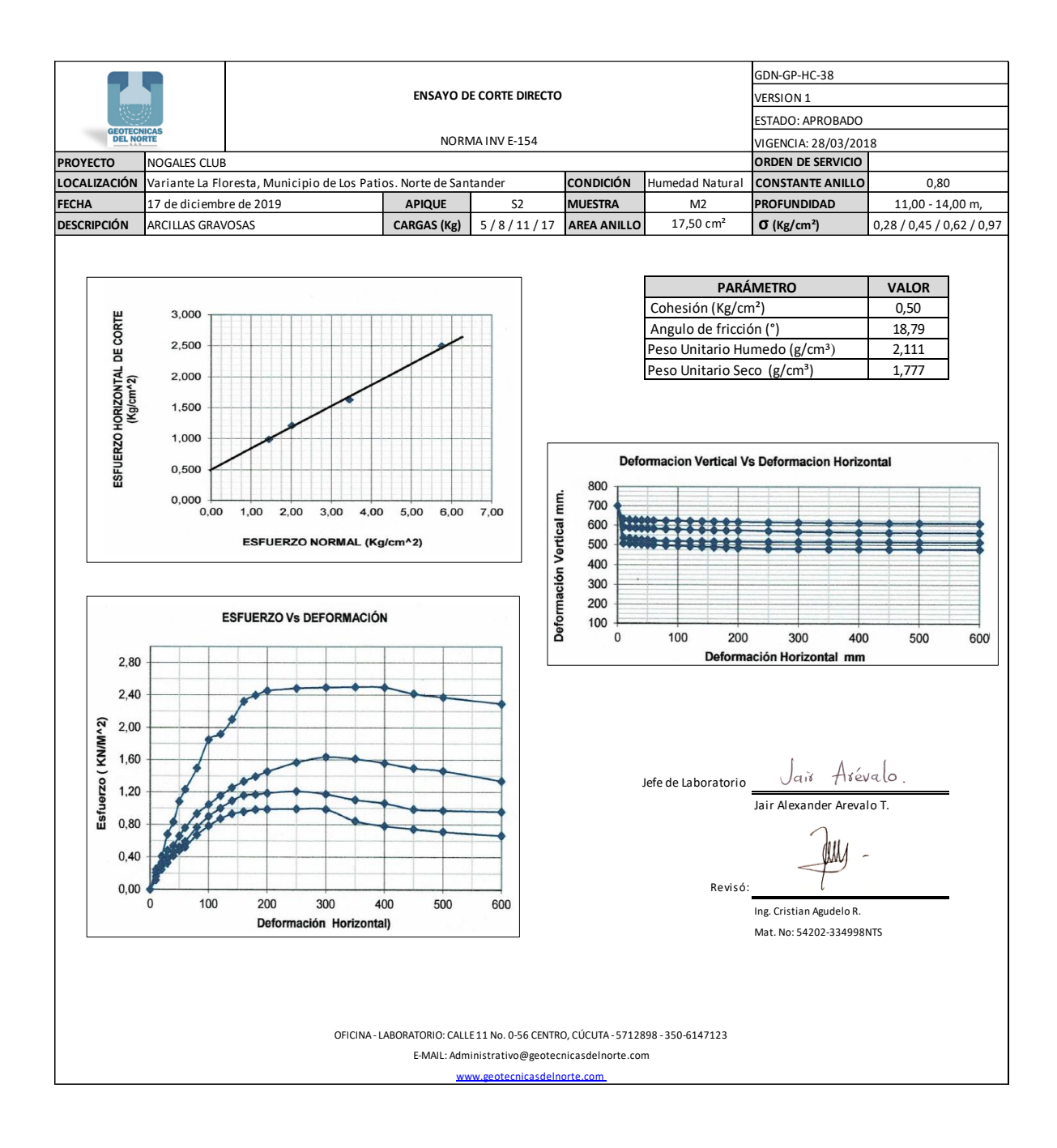
Reviso:

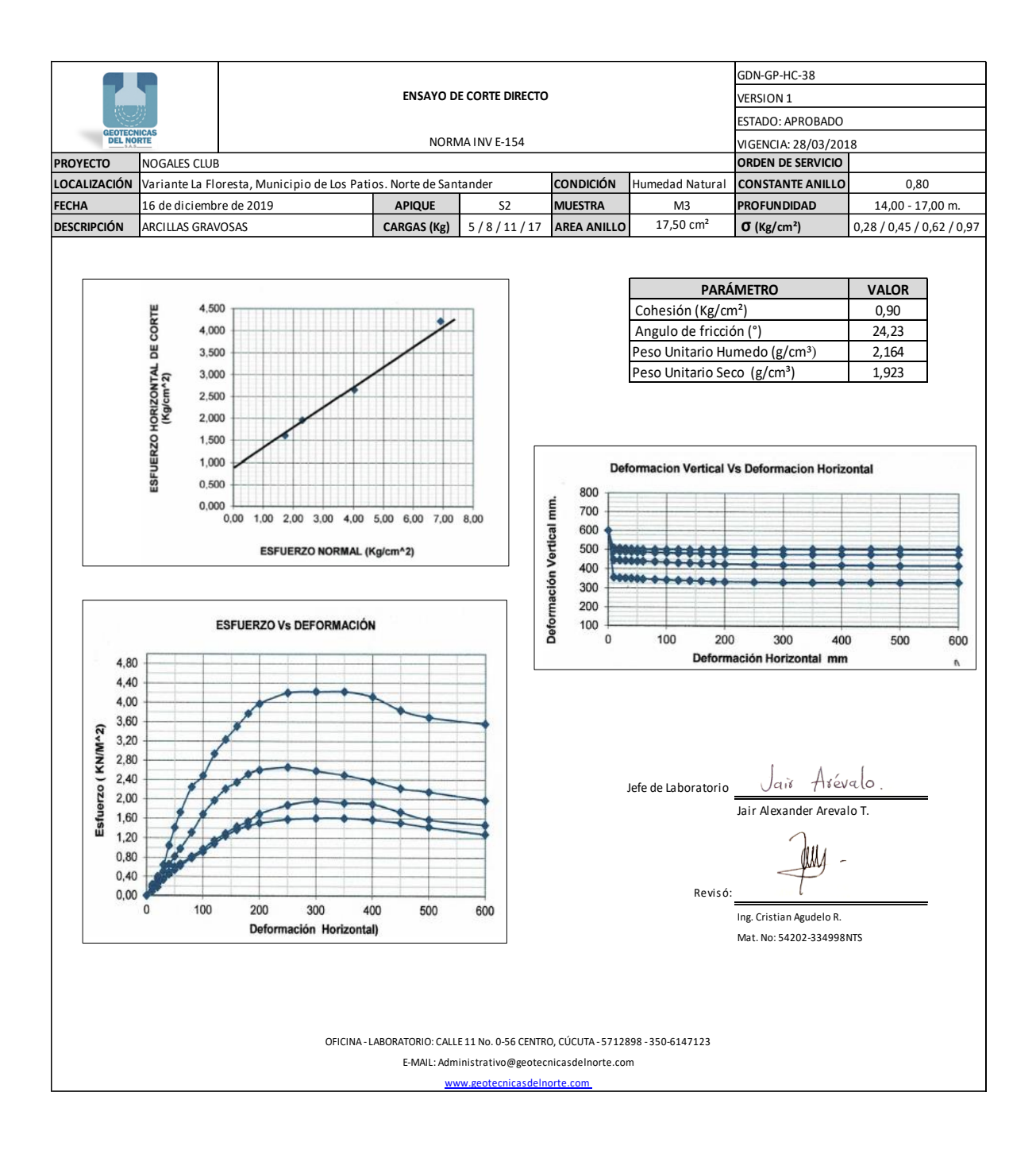
Ing. Cristian Agudelo R. Mat. No: 54202-334998NTS

OFICINA - LABORATORIO: CALLE 11 No. 0-56 CENTRO, CÚCUTA - 5712898 - 350-6147123 E-MAIL: Administrativo@geotecnicasdelnorte.com

www.geotecnicasdeinorte.com









Diametro Anillo	5,080	cm
Altura Inicial Especímen (H₀)	2,00	cm
Altura Final Especímen (H _f)	1,691	cm
Peso Muestra Antes de Ensayo	84,33	gr
Peso Muestra después de Ensayo	89,92	gr
Peso Muestra Seca	73,64	gr
Relación de Palanca	1:10	-

Area Muestra	20,27	cm2
Volúmen Muestra	40,54	cm3
Humedad Inicial	14,52	%
Humedad Final	22,11	%
Masa Seca Especímen	73,64	gr
Densidad Seca	1,817	gr/cm³
Peso del Agua	16,28	gr
Gravedad Específica (Gs)	2,65	-
Volúmen de Solidos (Vs)	27,79	cm3
Altura de Solidos (Hs)	1,371	cm
Relación de Vacios Inicial (e _o)	0,459	-
Relación de Vacios Inicial (ef)	0,233	-
Grado de Saturación Inicial (S _o)	83,857	%
Grado de Saturación Final (S _f)	251,04	%

CONTENIDO DE HUMEDAD INICIAL				
Muestra Humeda Antes (Μτο)	84,33	gr		
Masa Muestra Seca (Md)	73,64	gr		
Contenido de Humedad (W₀)	14,52	%		
CONTENIDO DE HUMEDAD DESPUES DE ENSAYO				
Muestra Humedad Después (MTf)	89,92	gr		
Muestra Seca Horno Después	73,64	gr		
Wfp (decimal)	0,221	gr		
Contenido de Humedad (Wf)	22,11	%		

Jefe Laboratorio:

Jair Arevalo.

Tecn. Jair Alexander Arevalo T.

Jefe de Laboratorio

FIRMA:

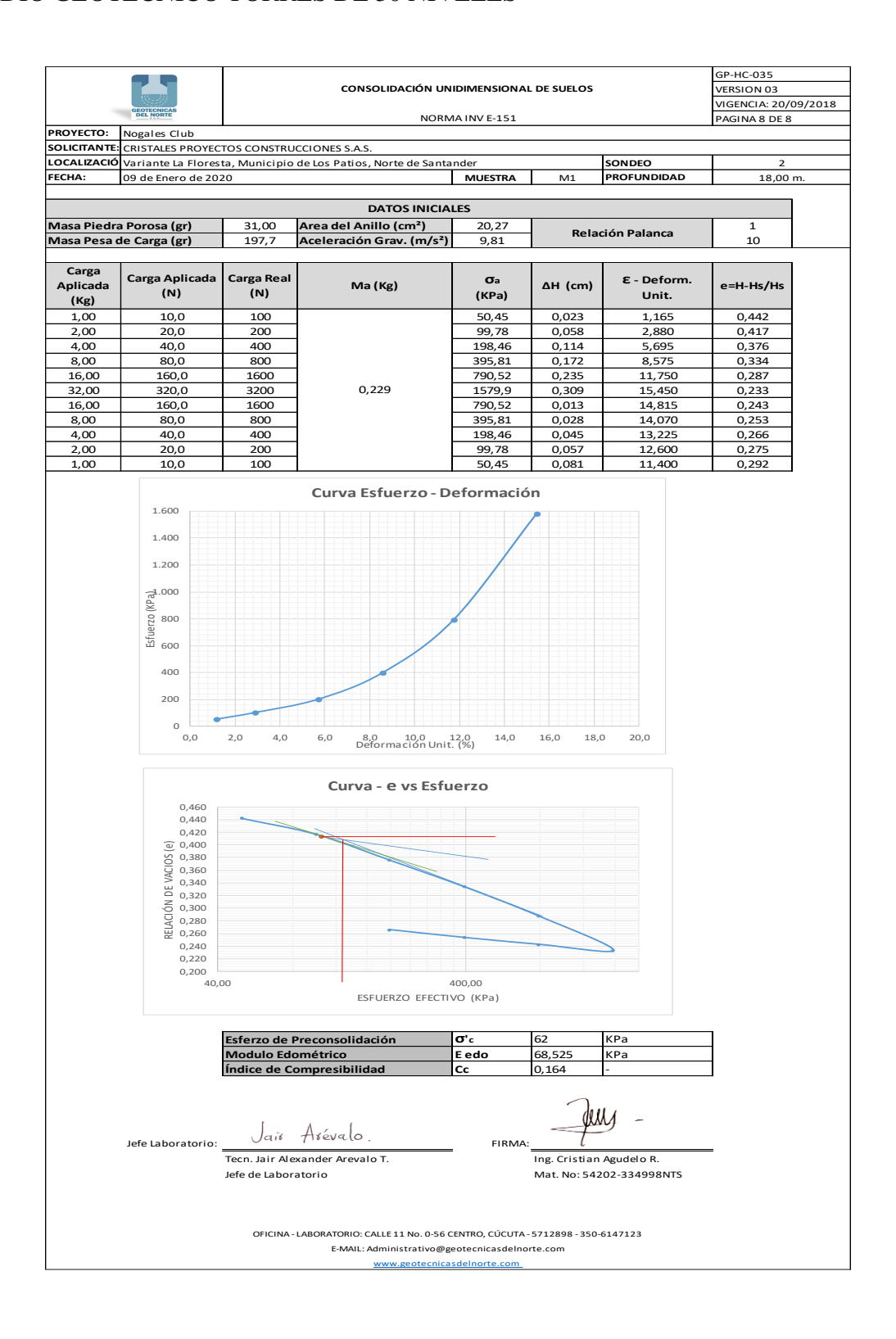
Ing. Cristian Agudelo R.

Mat. No: 54202-334998NTS

OFICINA - LABORATORIO: CALLE 11 No. 0-56 CENTRO, CÚCUTA - 5712898 - 350-6147123

E-MAIL: Administrativo@geotecnicasdelnorte.com

www.geotecnicasdelnorte.com





CONSOLIDACIÓN UNIDIMENSIONAL DE SUELOS

GP-HC-035 VERSION 03 VIGENCIA: 20/09/2018 PAGINA 1 DE 8

NORMA INV E-151		PAGINA 1 DE 8				
PROYECTO:	Nogales C	lub				
SOLICITANTE:	CRISTALES	PROYECTOS CONSTRUCC	CIONES S.A.S.			
LOCALIZACIÓN:	Variante L	Floresta, Municipio de Los Patios, Norte de Santander		SONDEO	2	
FECHA:	09 de Enei	ro de 2020	MUESTRA	M1	PROFUNDIDAD	10 - 12

5,080	cm
2,000	cm
1,934	cm
87,62	gr
88,62	gr
74,14	gr
1:10	-
	2,000 1,934 87,62 88,62 74,14

CONTENIDO DE HUMEDAD INICIAL				
Muestra Humedad Antes (Мто)	87,62	gr		
Masa Muestra Seca (Md)	74,14	gr		
Contenido de Humedad (W₀)	18,18	%		
CONTENIDO DE HUMEDAD INICIAL				
Muestra Humedad Después (MTf)	88,62	gr		
Muestra Seca Horno Después	74,14	gr		
Wfp (decimal)	0,195	gr		
Contenido de Humedad (Wf)	19,53	%		

20,27	cm2
40,54	cm3
18,18	%
19,53	%
74,14	gr
1,829	gr/cm³
14,48	gr
2,70	-
27,46	cm3
1,355	cm
0,476	-
0,428	-
103,079	%
123,34	%
	40,54 18,18 19,53 74,14 1,829 14,48 2,70 27,46 1,355 0,476 0,428 103,079

Jefe Laboratorio:

Tecn Jair Alexander Arevalo T

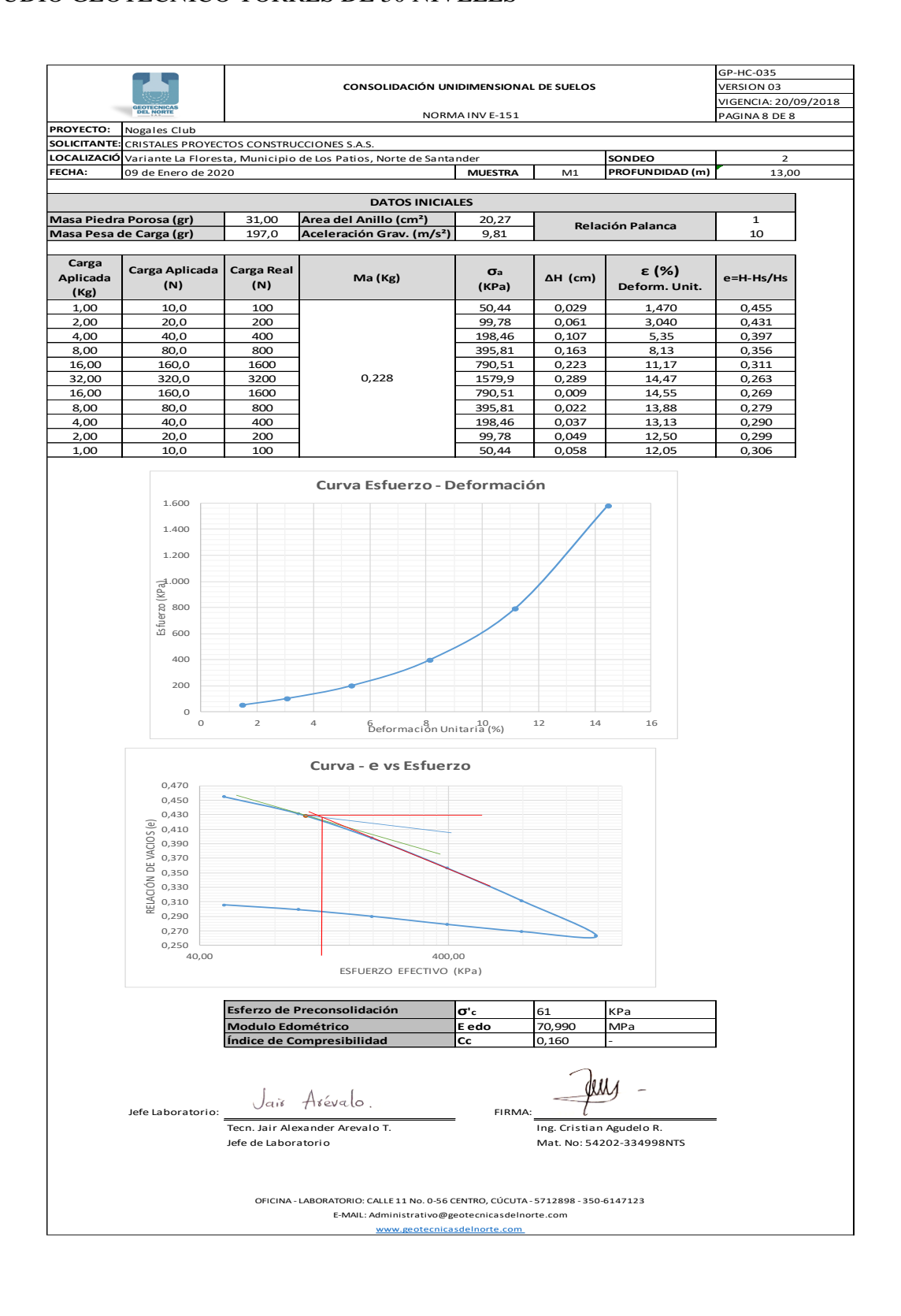
Tecn. Jair Alexander Arevalo T. Jefe de Laboratorio FIRMA:

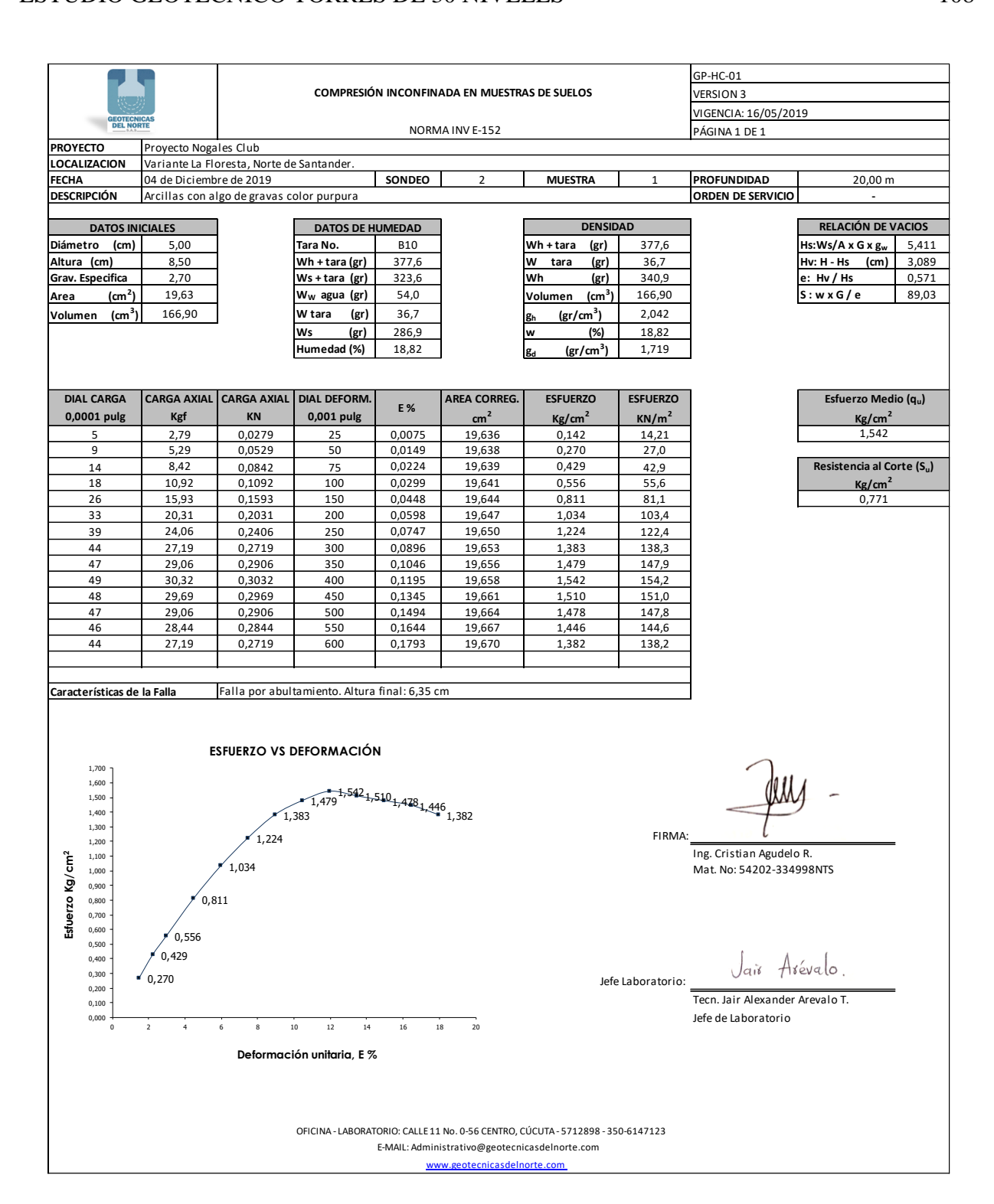
Ing. Cristian Agudelo R. Mat. No: 54202-334998NTS

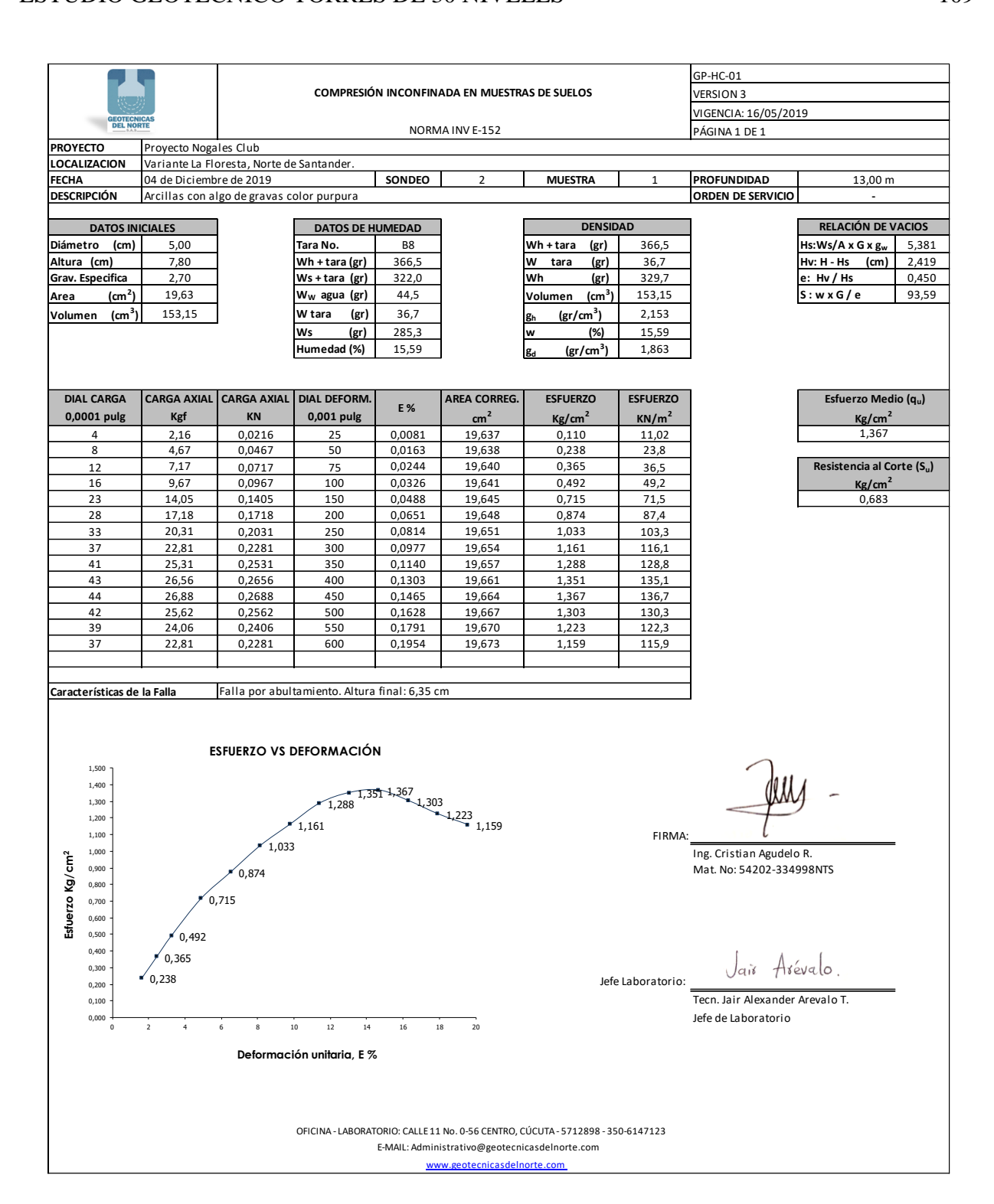
OFICINA - LABORATORIO: CALLE 11 No. 0-56 CENTRO, CÚCUTA - 5712898 - 350-6147123

E-MAIL: Administrativo@geotecnicasdeInorte.com

www.geotecnicasdelnorte.com







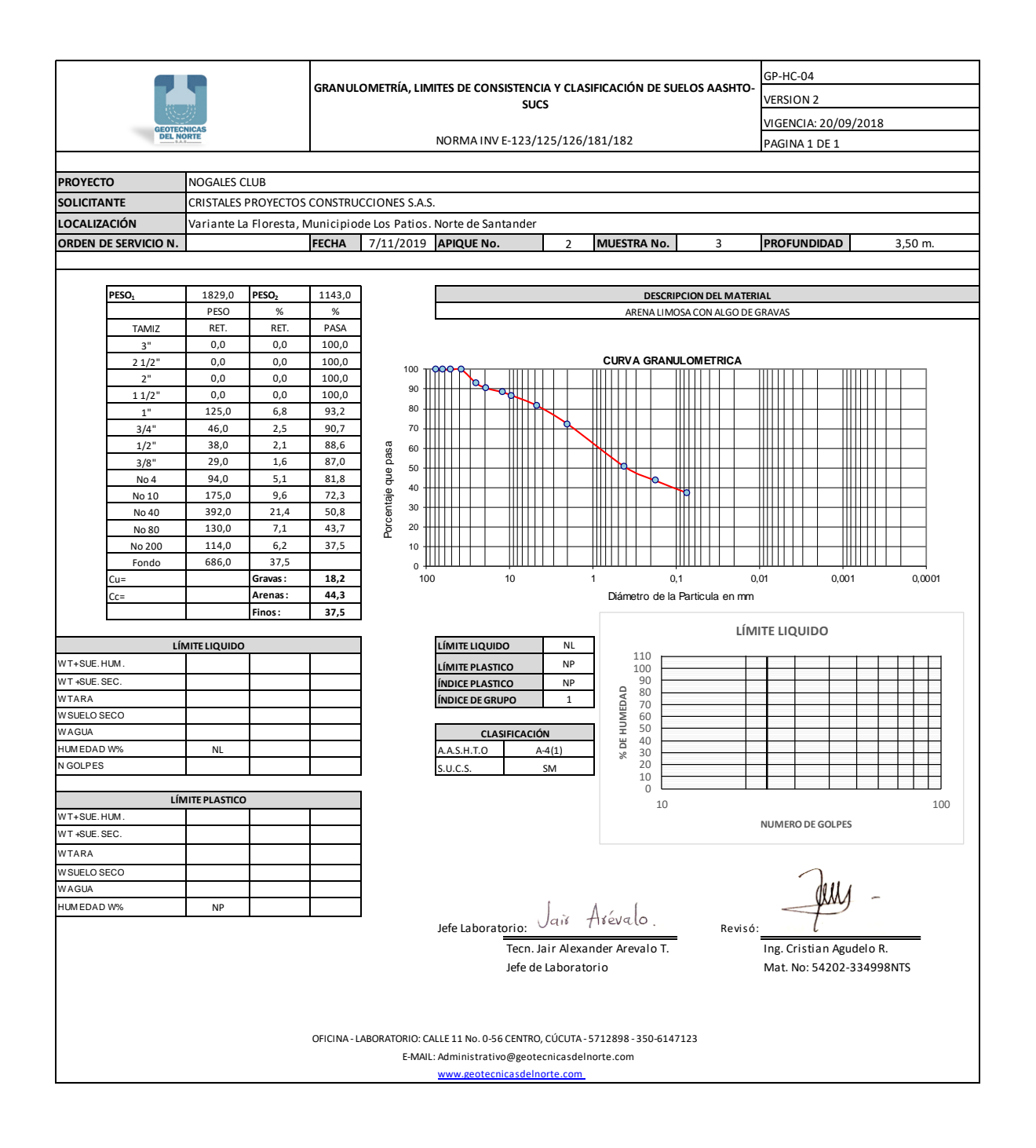
	P		GRANUL	DMETRÍA, LIMITES DE CONSISTENCIA Y CLASIFICACIÓN DE SUELOS AASHTO-
(E)	<i>₩</i>			3003
GEOTEC DEL N	NICAS			VIGENCIA: 20/09/2018 NORMA INV E-123/125/126/181/182 PAGINA 1 DE 1
1A1				PAGINATUE 1
PROYECTO	NOGALES C		· · · · ·	
OLICITANTE	CRISTALES F	ROYECTOS	CONSTRU	CCIONES S.A.S.
OCALIZACIÓN	Variante La	Floresta,		le Los Patios. Norte de Santander
ORDEN DE SERVICIO N.			FECHA	7/11/2019 APIQUE No. 1 MUESTRA No. 1 PROFUNDIDAD 1,00 m.
PESO ₁	1544,0	PESO ₂	307,0	DESCRIPCION DEL MATERIAL
	PESO	%	%	ARCILLA DE BAJA PLASTICIDAD CON ARENA
TAMIZ	RET.	RET.	PASA	
3"	0,0	0,0	100,0	OUDIVA ODANIH OMETRIOA
2 1/2"	0,0	0,0	100,0	CURVA GRANULOMETRICA 100 TIPOPOPOTO POPOTO
2" 1 1/2"	0,0	0,0	100,0	90
1"	0,0	0,0	100,0	80
3/4"	0,0	0,0	100,0	70
1/2"	0,0	0,0	100,0	
3/8"	0,0	0,0	100,0	© 50 50
No 4	1,0	0,1	99,9	60
No 10	10,0	0,6	99,3	ab
No 40	40,0 91,0	2,6 5,9	96,7 90,8	
No 80 No 200	165,0	10,7	80,1	& ²⁰
Fondo	1237,0	80,1	00,1	
Cu=		Gravas:	0,1	100 10 1 0,1 0,01 0,001
Cc=		Arenas:	19,8	Diámetro de la Particula en mm
		Finos:	80,1	LÍMITE LIQUIDO
LÍI	MITE LIQUIDO			LÍMITE LIQUIDO 36,7
VT+SUE.HUM.	23,92	23,91	24,13	LÍMITE PLASTICO 15,7
VT +SUE. SEC.	19,67	19,48	19,43	ÍNDICE PLASTICO 21,0
VTARA	7,36	7,33	7,36	INDICE DE GRUPO 12 GASHICACIÓN CLASIFICACIÓN 37 CLASIFICACIÓN 36 36
V SUELO SECO V A GUA	12,31	12,15	12,07	\$ 37
HUM EDAD W%	4,3 34,5	4,4 36,5	4,7 38,9	CLASIFICACIÓN AAS.H.T.O A-6(12)
GOLPES	35	25	18	A.A.S.H.1.0 A-b(12) S.U.C.S. CL 35
LÍN	/ITE PLASTICO			10 100
/T+SUE.HUM.	12,01	12,21	12,53	NUMERO DE GOLPES
/T+SUE.SEC.	11,36	11,57	11,68	MOINITIO DE GOLFEZ
/TARA	7,23	7,48	6,26	
	4,13	4,09	5,42	○
		0,6	0,9	
VAGUA	0,7		1 1 7	
/ A GUA	15,7	15,6	15,7	lais Asévalo
VAGUA		15,6	15,7	Jefe Laborat <u>orio: Jais Asévalo.</u> Revisó:
V SUELO SECO V AGUA HUMEDAD W%		15,6	13,7	Tecn. Jair Alexander Arevalo T. Ing. Cristian Agudelo R.
VAGUA		15,6	15,7	
VAGUA		15,6	15,7	Tecn. Jair Alexander Arevalo T. Ing. Cristian Agudelo R.
VAGUA		15,6	15,7	Tecn. Jair Alexander Arevalo T. Ing. Cristian Agudelo R.
VAGUA		15,6		Tecn. Jair Alexander Arevalo T. Ing. Cristian Agudelo R.

7	P		GRANUL	OMETRÍA, LIMITES DE CONSISTENCIA Y CLASIFICACIÓN DE SUELOS AASHTO-
(0)	<i>3</i>)			3003
GEOTEC DEL N	CNICAS			VIGENCIA: 20/09/2018
	.0			NORMA INV E-123/125/126/181/182 PAGINA 1 DE 1
PROYECTO	NOGALES C	LUB		
OLICITANTE	CRISTALES	PROYECTOS	CONSTRU	ICCIONES S.A.S.
OCALIZACIÓN	Variante La	Floresta, I	Municipio	de Los Patios. Norte de Santander
ORDEN DE SERVICIO N.			FECHA	7/11/2019 APIQUE No. 1 MUESTRA No. 2 PROFUNDIDAD 2,00 m.
PESO ₁	2970,0	PESO ₂	1942,0	
PESO1	PESO	PESO₂ %	1942,0	DESCRIPCION DEL MATERIAL GRAVA ARCILLOSA CON ARENAS
TAMIZ	RET.	RET.	PASA	SISTEM ANGLEDA CON ANGLES
3"	0,0	0,0	100,0	
2 1/2"	0,0	0,0	100,0	CURVA GRANULOMETRICA
2"	0,0	0,0	100,0	90
1 1/2"	294,0	9,9	90,1	80
1"	143,0	4,8	85,3	
3/4"	340,0 228,0	11,4 7,7	73,8 66,2	70
3/8"	87,0	2,9	63,2	- × × × × × × × × × × × × × × × × × × ×
No 4	145,0	4,9	58,4	9 50
No 10	168,0	5,7	52,7	eg 60 eg 50 eg 40 eg 30 eg 30 eg 20
No 40	270,0	9,1	43,6] te 30
No 80	141,0	4,7	38,9	
No 200	126,0	4,2	34,6	10
Fondo	1028,0	34,6	***	
Cu=		Gravas : Arenas :	41,6 23,7	100 10 1 0,1 0,01 0,0001 Diámetro de la Particula en mm
CC=		Finos:	34,6	Diametro de la Particula en min
		•	3-1,0	LÍMITE LIQUIDO
	MITE LIQUIDO	1		LÍMITE LIQUIDO 32,3
VT+SUE.HUM.	20,74	21,31	21,66	LÍMITE PLASTICO 17,8
/TARA	17,57 7,24	17,96 7,45	17,87 7,04	
VSUELO SECO	10,33	10,51	10,83	1 = 1 1 1 1 1 1 1 1 1
/AGUA	3,2	3,4	3,8	CLASIFICACIÓN 5 33
IUM EDAD W%	30,7	31,9	35,0	A.A.S.H.T.O A-2-6(1)
GOLPES	35	24	17	S.U.C.S. GC 31
				30
Lír	MITE PLASTICO)		
	12,05	12,23	12,40	10 100
/T+SUE.HUM.			12,40 11,62	NUMERO DE GOLPES
/T+SUE. HUM . /T +SUE. SEC.	12,05	12,23	_	
VT+SUE. HUM. VT+SUE. SEC. VTARA VSUELO SECO	12,05 11,32	12,23 11,51	11,62 7,33 4,29	
VT+SUE. HUM. VT+SUE. SEC. VTARA VSUELO SECO VAGUA	12,05 11,32 7,24 4,08 0,7	12,23 11,51 7,39 4,12 0,7	7,33 4,29 0,8	
VT+SUE. HUM. VT+SUE. SEC. VTARA VSUELO SECO VAGUA	12,05 11,32 7,24 4,08	12,23 11,51 7,39 4,12	11,62 7,33 4,29	
LÍT VT+SUE. HUM. VT+SUE. SEC. VTARA VSUELO SECO VAGUA IUMEDAD W%	12,05 11,32 7,24 4,08 0,7	12,23 11,51 7,39 4,12 0,7	7,33 4,29 0,8	
VT+SUE. HUM. VT+SUE. SEC. VTARA VSUELO SECO VAGUA	12,05 11,32 7,24 4,08 0,7	12,23 11,51 7,39 4,12 0,7	7,33 4,29 0,8	NUMERO DE GOLPES
VT+SUE. HUM. VT+SUE. SEC. VTARA VSUELO SECO VAGUA	12,05 11,32 7,24 4,08 0,7	12,23 11,51 7,39 4,12 0,7	7,33 4,29 0,8	Jefe Laborat <u>orio: Jais Asévalo.</u> Revisó:
VT+SUE. HUM. VT+SUE. SEC. VTARA VSUELO SECO VAGUA	12,05 11,32 7,24 4,08 0,7	12,23 11,51 7,39 4,12 0,7	7,33 4,29 0,8	Jefe Laborat <u>orio: Jais Asévalo .</u> Tecn. Jair Alexander Arevalo T. Revisó: Ing. Cristian Agudelo R.
VT+SUE. HUM. VT+SUE. SEC. VTARA VSUELO SECO VAGUA	12,05 11,32 7,24 4,08 0,7	12,23 11,51 7,39 4,12 0,7	7,33 4,29 0,8	Jefe Laborat <u>orio: Jais Asévalo .</u> Tecn. Jair Alexander Arevalo T. Revisó: Ing. Cristian Agudelo R.
VT+SUE. HUM. VT+SUE. SEC. VTARA VSUELO SECO VAGUA	12,05 11,32 7,24 4,08 0,7	12,23 11,51 7,39 4,12 0,7	11,62 7,33 4,29 0,8 18,2	Jefe Laboratorio: Jair Alexander Arevalo T. Jefe de Laboratorio Mat. No: 54202-334998NTS
/T+SUE.HUM. /T+SUE.SEC. /TARA /SUELO SECO /AGUA	12,05 11,32 7,24 4,08 0,7	12,23 11,51 7,39 4,12 0,7	11,62 7,33 4,29 0,8 18,2	Jefe Laborat <u>orio: Jais Asévalo .</u> Tecn. Jair Alexander Arevalo T. Revisó: Ing. Cristian Agudelo R.

GEOTECHICAS DEL HORTE				OMETRÍA, LIMITES DE CONSISTENCIA Y CLASIFICACIÓN DE SUELOS AASHTO- SUCS NORMA INV E-123/125/126/181/182 GP-HC-04 VERSION 2 VIGENCIA: 20/09/2018 PAGINA 1 DE 1
PROYECTO	NOGALES C	TITIE		TAGINATULE I
SOLICITANTE			CONSTRUC	CCIONES S.A.S.
LOCALIZACIÓN	Variante La	a Floresta, N		le Los Patios. Norte de Santander
ORDEN DE SERVICIO N.			FECHA	7/11/2019 APIQUE No. 1 MUESTRA No. 3 PROFUNDIDAD 3,50 m.
PESO ₁	3099,0	PESO ₂	2271,0	DESCRIPCION DEL MATERIAL
. 2501	PESO	%	%	GRAVA ARCILLOSA CON ARENAS
TAMIZ	RET.	RET.	PASA	
3"	0,0	0,0	100,0	
2 1/2"	0,0	0,0	100,0	CURVA GRANULOMETRICA
2"	0,0	0,0	100,0	
1 1/2"	0,0	0,0	100,0	90
1"	215,0	6,9	93,1	80
3/4"	296,0	9,6	83,5	_ 70
1/2"	338,0	10,9	72,6	© 60 HH H H H H H H H H H H H H H H H H H
3/8" No 4	214,0 323,0	6,9 10,4	65,7 55,3	g 50 HIII HIII HIII HIII HIII HIII HIII H
No 4 No 10	323,0	10,4	55,3 44,9	8 60 40 50 40 40 40 40 40 40 40 40 40 40 40 40 40
No 40	325,0	10,5	34,5	ig 30 4 4 4 4 4 4 4 4 4 4 4 4 4 4 4 4 4 4
No 80	109,0	3,5	30,9	5 20
No 200	131,0	4,2	26,7	ă ₁₀
Fondo	828,0	26,7		
Cu=		Gravas:	44,7	100 10 1 0,1 0,01 0,001 0,0001
Cc=		Arenas:	28,6	Diámetro de la Particula en mm
		Finos:	26,7	
LÍ	MITE LIQUIDO			LÍMITE LIQUIDO 28,1
VT+SUE.HUM.	26,54	26,23	26,14	LÍMITE PLASTICO 14,4
VT +SUE. SEC.	22,35	21,95	21,60	INDICE PLASTICO 13.7
VTARA	6,68	6,75	6,53	INDICE DE GRUPO 0 CLASIFICACIÓN CLASIFICACIÓN DE 27
W SUELO SECO	15,67	15,20	15,07	28
VAGUA	4,2	4,3	4,5	CLASIFICACIÓN
HUM EDAD W%	26,7	28,2	30,1	A.A.S.H.1.U A-2-6(0) %
GOLPES	32	25	17	S.U.C.S. GC 26
LÍI	MITE PLASTICO)		10 100
VT+SUE.HUM.	12,68	12,62	12,83	NUMERO DE GOLPES
VT +SUE. SEC.	11,99	11,97	12,17	NOINIERO DE GOLPES
VTARA	7,35	7,52	7,36	
V SUELO SECO	4,64	4,45	4,81	
VAGUA	0,7	0,6	0,7	dn 11. A
HUM EDAD W%	14,9	14,6	13,7	1 s. A.c. Is
				Jefe Laborat <u>orio: Jair Alvevalo</u> . Revisó: Ing. Cristian Agudelo R. Jefe de Laboratorio Mat. No: 54202-334998NTS
			OFICINA - LA	ABORATORIO: CALLE 11 No. 0-56 CENTRO, CÚCUTA - 5712898 - 350-6147123 E-MAIL: Administrativo@geotecnicasdelnorte.com <u>www.geotecnicasdelnorte.com</u>

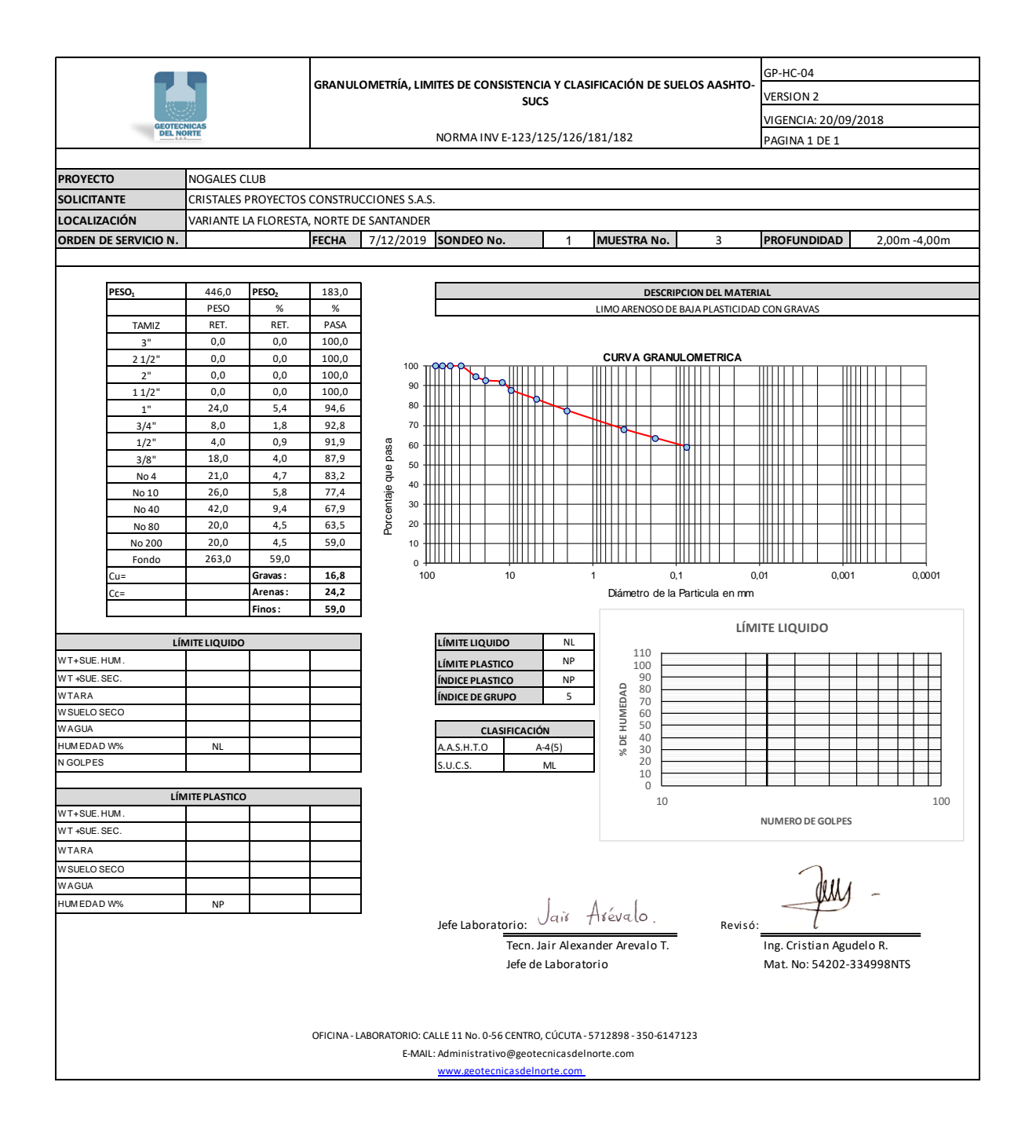
	GRANIII OI				OMETRÍA, LIMITES DE CONSISTENCIA Y CLASIFICACIÓN DE SUELOS AASHTO-
				GRANULU	SUCS VERSION 2
		数。			VIGENCIA: 20/09/2018
	DEL N	ORTE			NORMA INV E-123/125/126/181/182 PAGINA 1 DE 1
				1	prometibel
PROYECT	го	NOGALES C	CLUB		
SOLICITA	NTE			CONSTRUC	CCIONES S.A.S.
LOCALIZ	ACIÓN				e Los Patios. Norte de Santander
	DE SERVICIO N.	Variance E	111010310,1	FECHA	7/11/2019 APIQUE No. 2 MUESTRA No. 1 PROFUNDIDAD 1,00 m.
ONDLIN L	DE SERVICIO IV.			ILCIIA	7/11/2013 AFROLING. 2 MICESTRA NO. 1 FROI GROUND 1,00 III.
	PESO ₁	1449,0	PESO ₂	69,0	DESCRIPCION DEL MATERIAL
	TANAI7	PESO RET.	% DET	% PASA	ARCILLA DE BAJA PLASTICIDAD CON ALGO DE ARENA
	TAMIZ 3"	0,0	RET. 0,0	100,0	
	2 1/2"	0,0	0,0	100,0	CURVA GRANULOMETRICA
	2"	0,0	0,0	100,0	100 T1000 P P P P P P P P P P P P P P P P P P
	1 1/2"	0,0	0,0	100,0	90
	1"	0,0	0,0	100,0	80
	3/4"	0,0	0,0	100,0	70
	1/2"	0,0	0,0	100,0	⁶⁰ 60 4 4 4 4 4 4 4 4 4 4 4 4 4 4 4 4 4 4
	3/8"	0,0	0,0	100,0	© 50 HILL STORY ST
	No 4	2,0	0,1	99,9	88 60
	No 10	1,0 13,0	0,1	99,8 98,9	30 HILL 30 HIL
	No 40 No 80	19,0	1,3	98,9	© 20 MILL MILL MILL MILL MILL MILL MILL MIL
	No 200	34,0	2,3	95,2	2 2 10
	Fondo	1380,0	95,2		
	Cu=		Gravas:	0,1	100 10 1 0,1 0,01 0,001 0,0001
	Cc=		Arenas:	4,6	Diámetro de la Particula en mm
			Finos:	95,2	
		MITE LIQUIDO			LÍMITE LIQUIDO 45,9
WT+SUE.I		25,25	25,33	25,79	48
NT +SUE.		20,42	19,92	20,40	LÍMITE PLASTICO 18,4 ÍNDICE PLASTICO 27,5 47
NTARA	SEO.	9,53	7,96	9,01	ÍNDICE DE GRUPO 16
V SUELO S	SECO	10,89	11,96	11,39	46 H
WAGUA		4,8	5,4	5,4	INDICE DE GRUPO 16 CLASFICACIÓN CLASFICACIÓN A SA LA LA TOTAL DE CARACTER D
HUMEDAD) W%	44,4	45,2	47,3	A.A.S.H.I.U A-7-b(1b)
N GOLPES	1	35	27	19	S.U.C.S. CL 44
	. f.	MITE PLASTICO			43
WT+SUE.I		12,25	12,24	12,26	10 100
NT +SUE.		11,50	11,48	11,45	NUMERO DE GOLPES
VTARA		7,52	6,98	7,26	
V SUELO S	SECO	3,98	4,50	4,19	
WAGUA		0,8	0,8	0,8	, yo 11 1
HUMEDAD) W%	18,8	16,9	19,3	1 A (1
		•	•		Jefe Laboratorio: Jair Arévalo. Revisó:
					Tecn. Jair Alexander Arevalo T. Ing. Cristian Agudelo R.
					Jefe de Laboratorio Mat. No: 54202-334998NTS
				OFICINA - LA	ABORATORIO: CALLE 11 No. 0-56 CENTRO, CÚCUTA - 5712898 - 350-6147123
					E-MAIL: Administrativo@geotecnicasdelnorte.com
					www.geotecnicasdelnorte.com

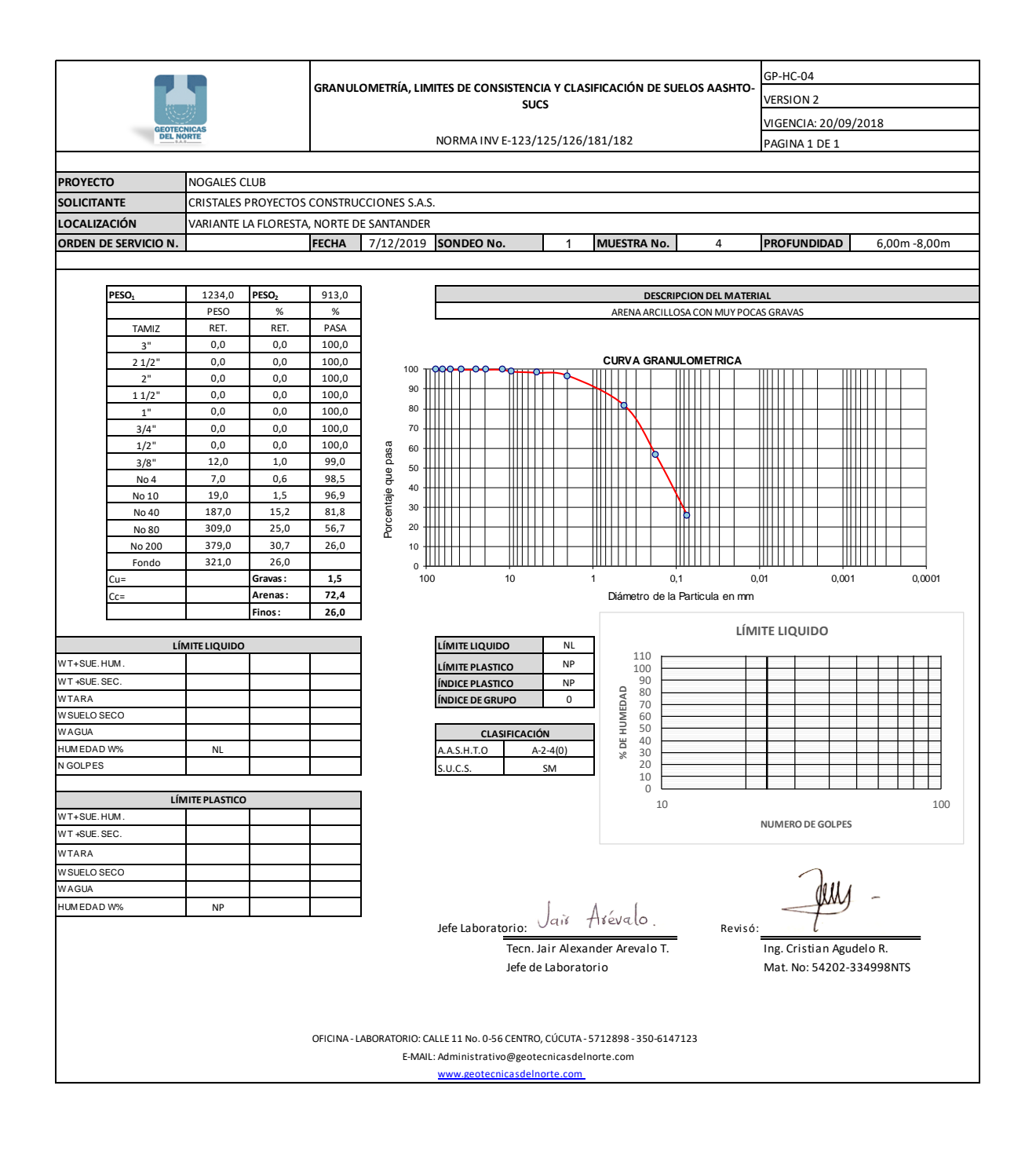
	T P		CDANU	GP-HC-04
			GKANULO	DMETRÍA, LIMITES DE CONSISTENCIA Y CLASIFICACIÓN DE SUELOS AASHTO- SUCS VERSION 2
				VIGENCIA: 20/09/2018
	GEOTECNICAS DEL NORTE			NORMA INV E-123/125/126/181/182 PAGINA 1 DE 1
				PAGINA 1 DE 1
PROYECTO	NOGALES	CLUB		
OLICITANTE			CONSTRU	CCIONES S.A.S.
LOCALIZACIÓN				
ORDEN DE SERVICI		a Froresta, i	FECHA	e Los Patios. Norte de Santander 7/11/2019 APIQUE No. 2 MUESTRA No. 2 PROFUNDIDAD 2,00 m.
JKDEN DE SEKVICI	UN.		FECHA	7/11/2019 APIQUE No. 2 MUESTRA No. 2 PROFUNDIDAD 2,00 m.
PESO ₁	1439,0	PESO ₂	85,0	DESCRIPCION DEL MATERIAL
	PESO	%	%	ARCILLA DE BAJA PLASTICIDAD CON ALGO DE ARENA
TAMI	Z RET. 0,0	RET.	PASA 100,0	
3"		0,0	100,0	CURV A GRANULOMETRICA
2 1/2	0,0	0,0	100,0	100 TINO TO THE TOTAL OF THE TO
1 1/2		0,0	100,0	90
1"	0,0	0,0	100,0	80
3/4'		0,0	100,0	70
1/2	0,0	0,0	100,0	σ 60
3/8'		0,0	100,0	Φ 50 HILL 10
No 4	, ,	0,1	99,9	88 60
No 1		0,1	99,9	g 30 4 4 4 4 4 4 4 4 4 4 4 4 4 4 4 4 4 4
No 4		0,8	99,0	
No 8		1,9 3,0	97,1 94,1	
Fond		94,1	94,1	10
Cu=	0 1334,0	Gravas :	0,1	100 10 1 0,1 0,01 0,001 0,0001
Cc=		Arenas:	5,8	Diámetro de la Particula en mm
		Finos:	94,1	
				LÍMITE LIQUIDO
	LÍMITE LIQUIDO			LÍMITE LIQUIDO 43,4
WT+SUE.HUM.	24,68	25,09	26,40	LÍMITE PLASTICO 19,5
WT+SUE.SEC.	19,78	19,96	21,46	ÍNDICE PLASTICO 24,0
W SUELO SECO	7,93 11,85	8,14 11,82	10,63 10,83	INDICE DE GRUPO 14 CLASIFICACIÓN 44 CLASIFICACIÓN 43
WAGUA	4,9	5,1	4,9	CLASIFICACIÓN # 43
HUM EDAD W%	41,4	43,4	45,6	A.A.S.H.T.O A-7-6(14)
N GOLPES	35	26	17	s.u.c.s. CL * 42
				41
	LÍMITE PLASTIC			10 100
WT+SUE.HUM.	12,63	12,47	12,63	NUMERO DE GOLPES
	11,93	11,58	11,74	
WTARA	7,93	7,35	7,25	
V SUELO SECO V A GUA	4,00	4,23 0,9	4,49 0,9	
HUM EDAD W%	0,7 17,5	21,0	19,8	
IO EDAD W/II	17,5	21,0	13,0	Jefe Laboratorio: Jais Asévalo. Revisó:
				Jere Laboratorio: Keviso: L
				Tecn. Jair Alexander Arevalo T. Ing. Cristian Agudelo R.
				Jefe de Laboratorio Mat. No: 54202-334998NTS
			OFICINA - LA	ABORATORIO: CALLE 11 No. 0-56 CENTRO, CÚCUTA - 5712898 - 350-6147123
			OFICINA - L	ABORATORIO: CALLE 11 No. 0-56 CENTRO, CÚCUTA - 5712898 - 350-6147123 E-MAIL: Administrativo@geotecnicasdelnorte.com

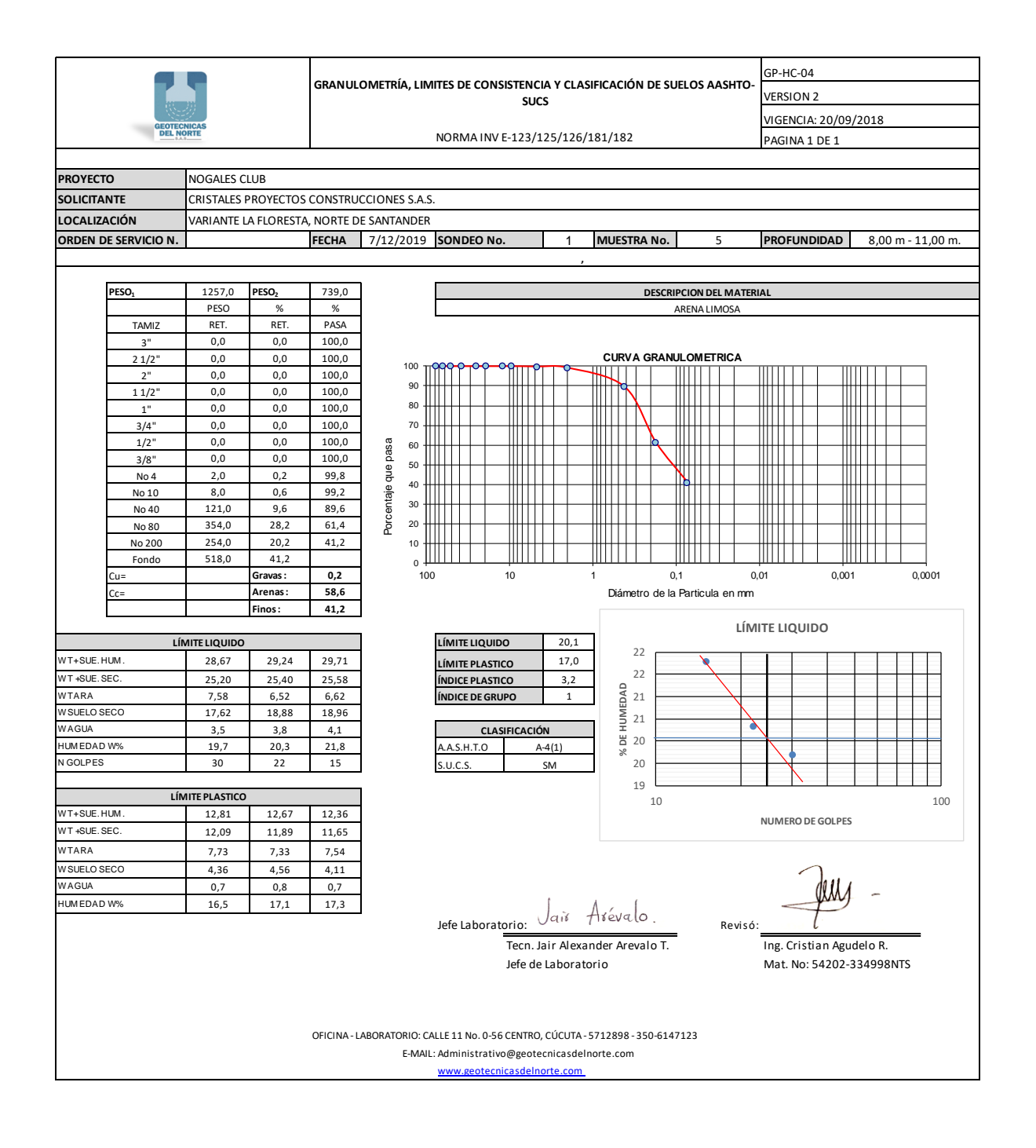


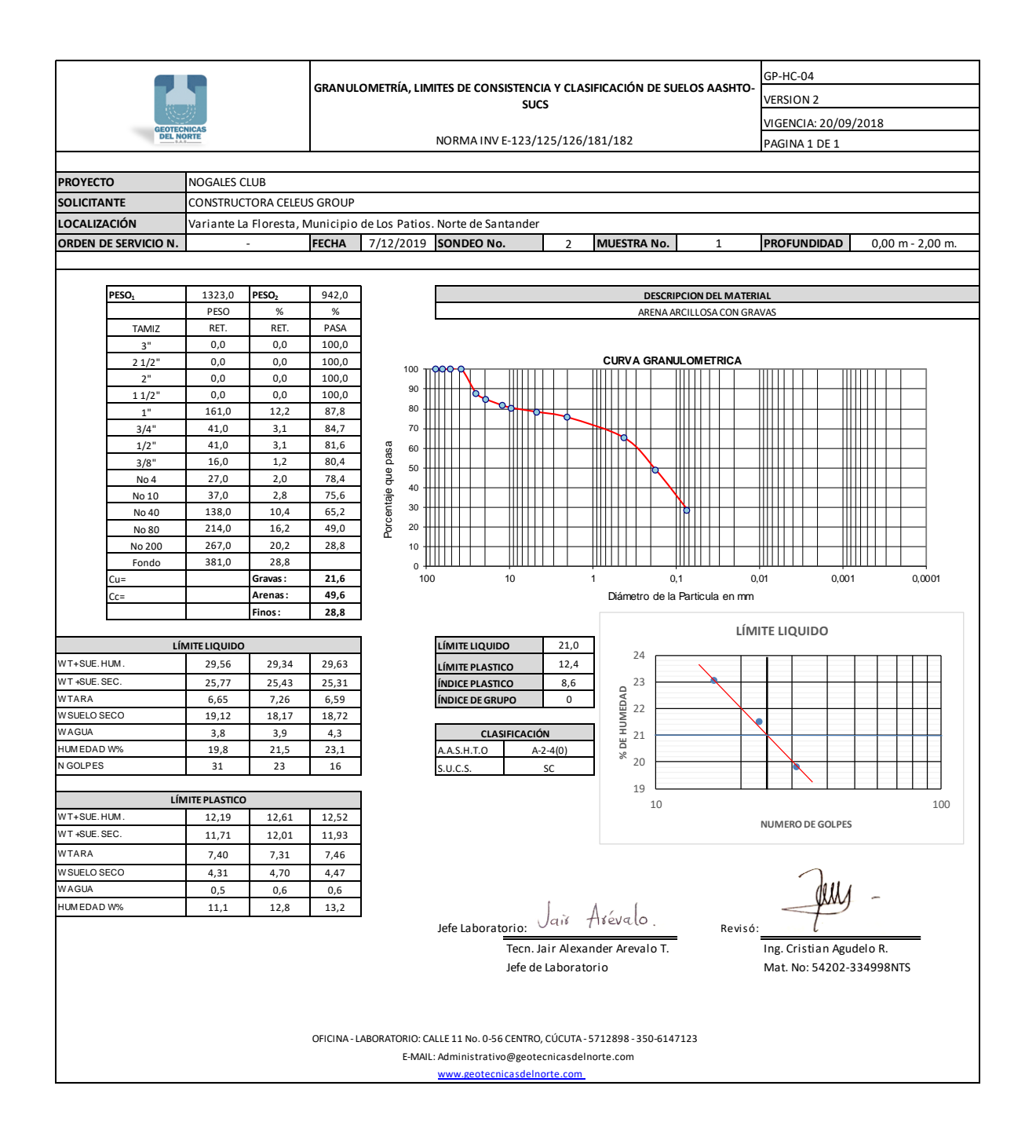
GEOTE DEL N	NICAS		GRANULO	DMETRÍA, LIMITES DE CONSISTENCIA Y CLASIFICACIÓN DE SUELOS AASHTO- SUCS VIGENCIA: 20/09/2018 PAGINA 1 DE 1
	-			NORMA INV E-123/125/126/181/182 PAGINA 1 DE 1
PROYECTO	NOGALES C	CLUB		
SOLICITANTE	CRISTALES	PROYECTOS	CONSTRUC	CCIONES S.A.S.
LOCALIZACIÓN	VARIANTE I	LA FLORESTA	, NORTE DI	E SANTANDER
ORDEN DE SERVICIO N.			FECHA	7/12/2019 SONDEO No. 1 MUESTRA No. 1 PROFUNDIDAD 0,00 m - 1,00 m.
PESO ₁	265,0	PESO ₂	161,0	DESCRIPCION DEL MATERIAL
TAMIZ	PESO RET.	% RET.	% PASA	ARENA ARCILLOSA CON GRAVAS
3"	0,0	0,0	100,0	
2 1/2"	0,0	0,0	100,0	CURVA GRANULOMETRICA
2"	0,0	0,0	100,0	100 HOOGO O
1 1/2"	0,0	0,0	100,0	90
1"	0,0	0,0	100,0	80
3/4"	20,0	7,5	92,5	70
1/2"	17,0	6,4	86,0	g 60 HH H H H H H H H H H H H H H H H H H
3/8"	4,0	1,5	84,5	60 50 40 40 40 40 40 40 40 40 40 40 40 40 40
No 4	13,0	4,9	79,6	9 40 40 40 40 40 40 40 40 40 40 40 40 40
No 10	12,0	4,5	75,1	<u>a</u> 30
No 40	32,0	12,1	63,0	
No 80	30,0	11,3	51,7	
No 200	33,0	12,5	39,2	10
Fondo	104,0	39,2 Gravas :	20,4	100 10 1 0,1 0,01 0,001 0,0001
Cu= Cc=		Arenas:	40,4	Diámetro de la Particula en mm
CC=		Finos:	39,2	Danetto de la Farticula en min
		•	33,2	LÍMITE LIQUIDO
	MITE LIQUIDO	1		LÍMITE LIQUIDO 39,2
WT+SUE.HUM.	20,63	20,96	21,31	LÍMITE PLASTICO 19,0 41
NT +SUE. SEC.	17,18	17,49	17,58	(NDICE PLASTICO 20,2
WTARA	8,01	8,63	8,41	ÍNDICE DE GRUPO 3
W SUELO SECO	9,17	8,86	9,17	<u>≥</u> 39
WAGUA	3,5	3,5	3,7	CLASIFICACIÓN TO 39
HUMEDAD W% N GOLPES	37,6 35	39,2 26	40,7 18	38
	33	20	10	S.U.C.S. SC 38
LÍN	MITE PLASTICO)		10 100
VT+SUE.HUM.	12,35	12,33	12,48	
WT +SUE. SEC.	11,45	11,40	11,54	NUMERO DE GOLPES
VTARA	6,67	6,49	6,64	
W SUELO SECO	4,78	4,91	4,90	
W A GUA	0,9	0,9	0,9	, yu i 1
HUM EDAD W%	18,8	18,9	19,2	$1 \wedge 1 = 1$
•				Jefe Laboratorio: Jais Asévalo. Revisó:
				Tecn. Jair Alexander Arevalo T. Ing. Cristian Agudelo R.
				Jefe de Laboratorio Mat. No: 54202-334998NTS
				Jele de Lavoi atorio IVIat. No. 34202-334930N13
			OFICINIA	ABORATORIO: CALLE 11 No. 0-56 CENTRO, CÚCUTA - 5712898 - 350-6147123
			OFICINA - L	
				E-MAIL: Administrativo@geotecnicasdelnorte.com
				www.geotecnicasdelnorte.com

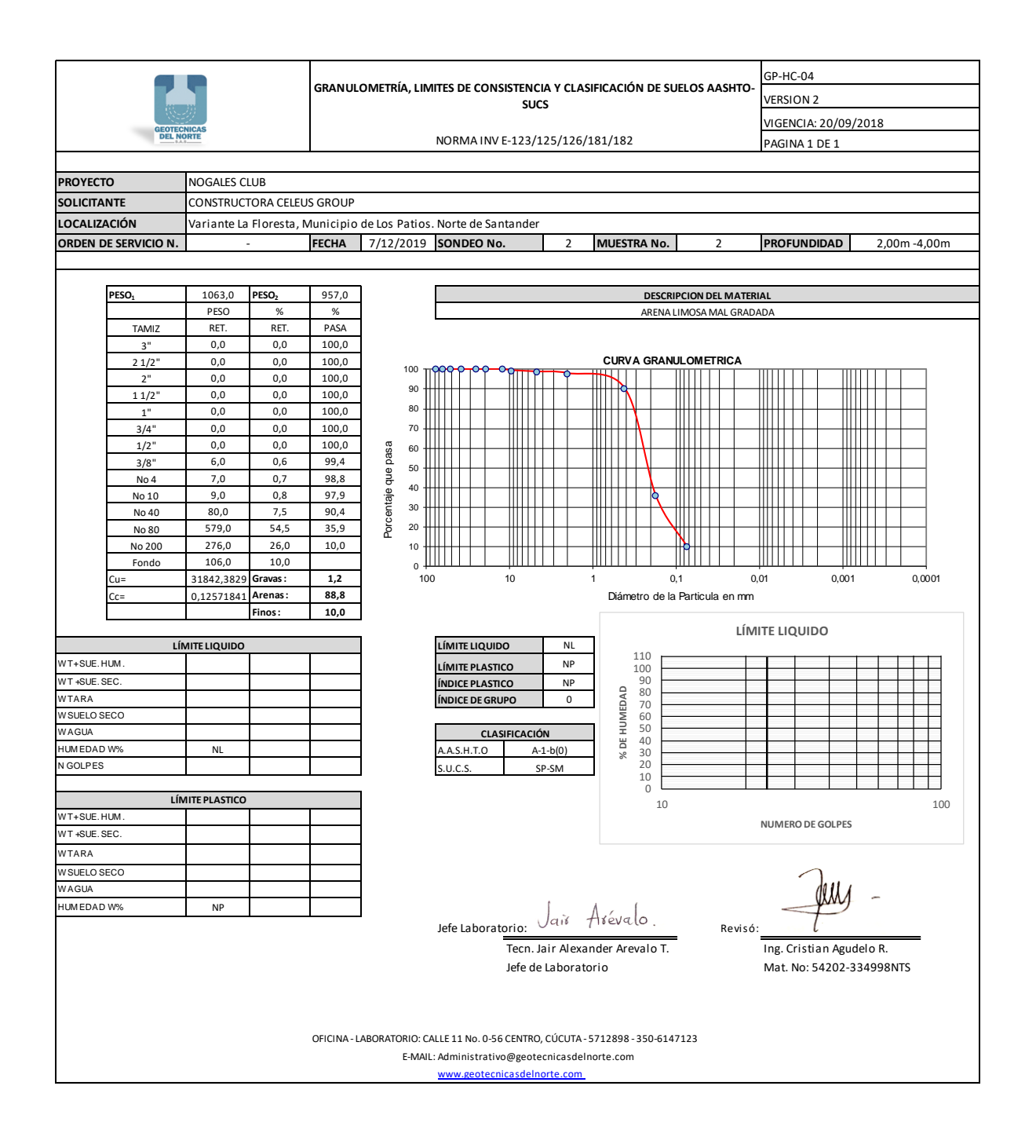
7			GRANUL	OMETRÍA, LIMITES DE CONSISTENCIA Y CLASIFICACIÓN DE SUELOS AASHTO-
1	夢」			3003
GEOTEC DEL N	NICAS			VIGENCIA: 20/09/2018 NORMA INV E-123/125/126/181/182 PAGINA 1 DE 1
	7			NORMA INV E-123/125/126/181/182 PAGINA 1 DE 1
PROYECTO	NOGALES C	LUB		
SOLICITANTE	CRISTALES	PROYECTOS	CONSTRU	CCIONES S.A.S.
LOCALIZACIÓN	VARIANTE L	A FLORESTA	A, NORTE D	SANTANDER
ORDEN DE SERVICIO N.			FECHA	7/12/2019 SONDEO No. 1 MUESTRA No. 2 PROFUNDIDAD 1,50 m - 2,00 m.
	270.0	Inna	22.0	
PESO ₁	279,0 PESO	PESO ₂ %	32,0 %	DESCRIPCION DEL MATERIAL ARCILLA DE BAJA PLASTICIDAD CON ALGO DE ARENAS
TAMIZ	RET.	RET.	PASA	ANCIELA DE BAJA FEASTICIDAD CON ALGO DE ANCINAS
3"	0,0	0,0	100,0	
2 1/2"	0,0	0,0	100,0	CURVA GRANULOMETRICA
2"	0,0	0,0	100,0	90
1 1/2"	0,0	0,0	100,0	80
3/4"	0,0	0,0	100,0	70
1/2"	0,0	0,0	100,0	
3/8"	0,0	0,0	100,0	00
No 4	2,0	0,7	99,3	en b 40
No 10	5,0	1,8	97,5	er 30
No 40	5,0	1,8	95,7	5 20 WHI
No 80 No 200	8,0 12,0	2,9 4,3	92,8 88,5	Ā 20 10 11 11 11 11 11 11 11 11 11 11 11 11
Fondo	247,0	88,5	88,3	
Cu=	,-	Gravas :	0,7	100 10 1 0,1 0,01 0,001 0,0001
Cc=		Arenas:	10,8	Diámetro de la Particula en mm
		Finos:	88,5	
ı	MITE LIQUIDO			LÍMITE LIQUIDO 47,9
WT+SUE.HUM.	22,61	21,85	22,36	LÍMITE PLASTICO 22,4
WT +SUE. SEC.	18,39	17,42	17,93	ÍNDICE PLASTICO 25.5
WTARA	9,18	8,30	9,34	ÍNDICE DE GRUPO 16 50
W SUELO SECO	9,21	9,12	8,59	¥ 49
WAGUA	4,2	4,4	4,4	CLASIFICACIÓN = 48
HUM EDAD W%	45,8	48,6	51,6	
N GOLPES	32	24	15	S.U.C.S. CL 46
LÍN	MITE PLASTICO)		10 100
WT+SUE.HUM.	12,72	12,61	12,46	NUMERO DE GOLPES
WT +SUE. SEC.	11,79	11,71	11,53	HOMERO DE GOLFES
WTARA	7,63	7,68	7,38	
W SUELO SECO	4,16	4,03	4,15	∩
WAGUA	0,9	0,9	0,9	
HUM EDAD W%	22,4	22,3	22,4	Jair Arévalo.
				Jefe Laboratorio: Revisó:
				Tecn. Jair Alexander Arevalo T. Ing. Cristian Agudelo R.
				Jefe de Laboratorio Mat. No: 54202-334998NTS
			OFICINA - L	ABORATORIO: CALLE 11 No. 0-56 CENTRO, CÚCUTA - 5712898 - 350-6147123
				E-MAIL: Administrativo@geotecnicasdelnorte.com
				www.geotecnicasdeInorte.com

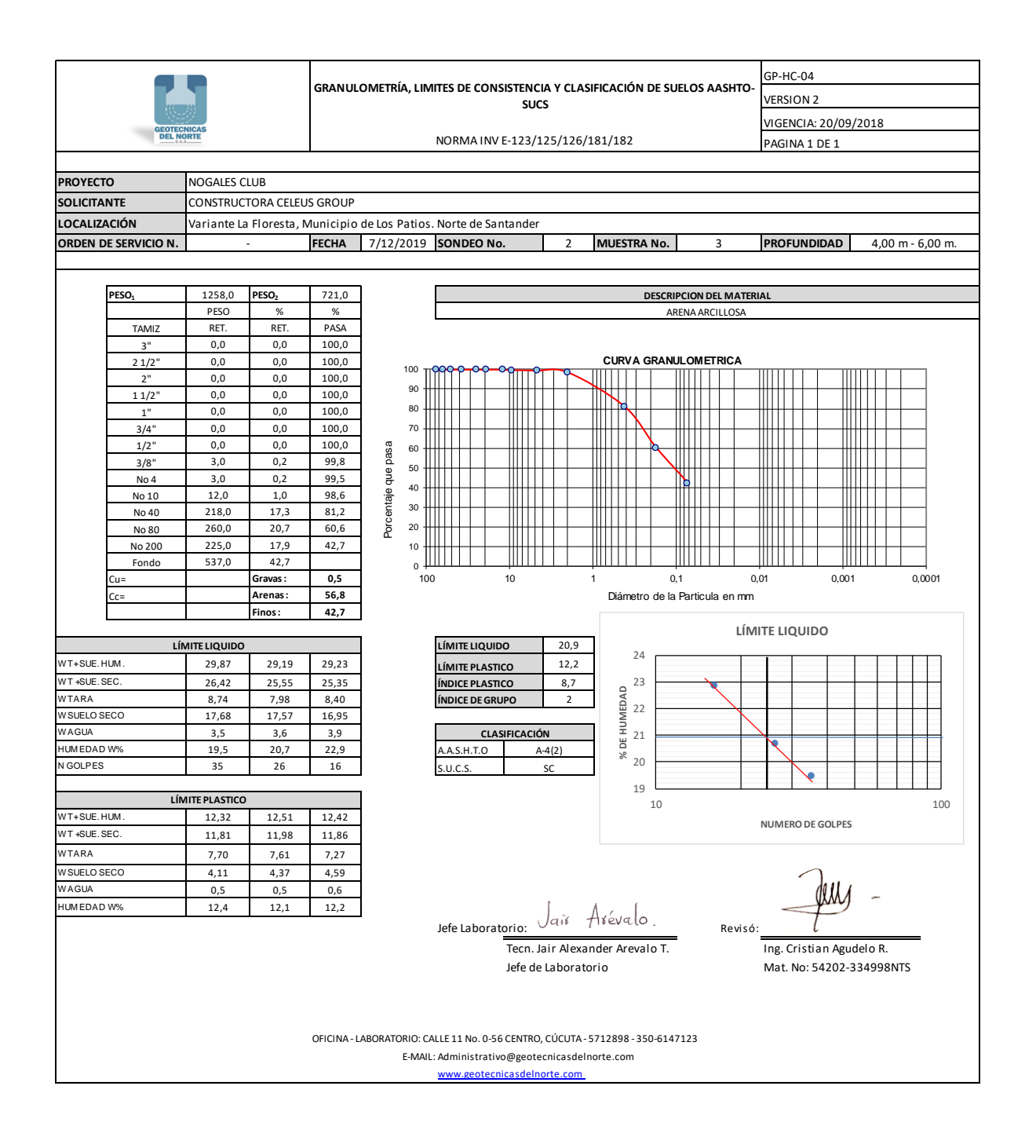


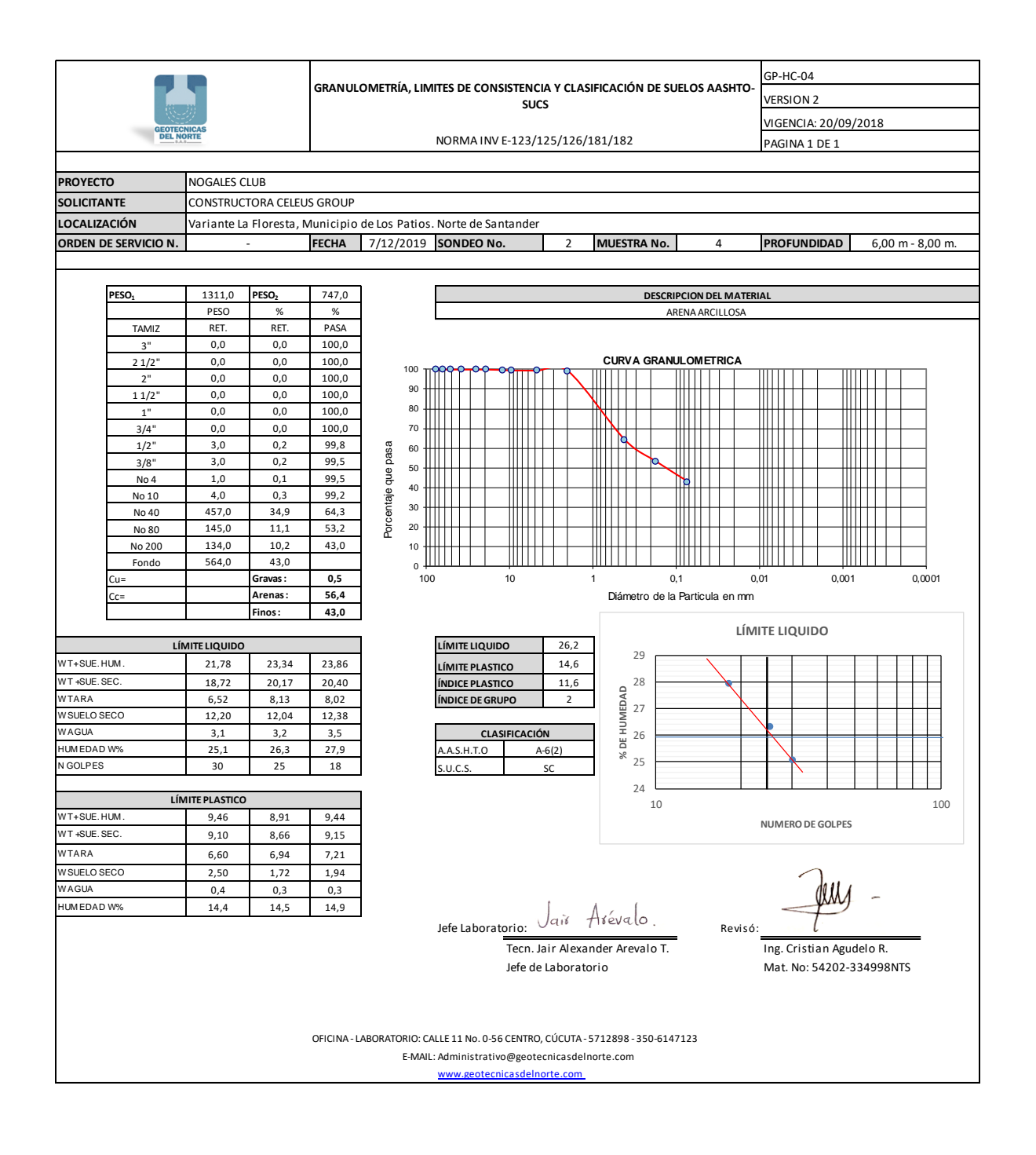








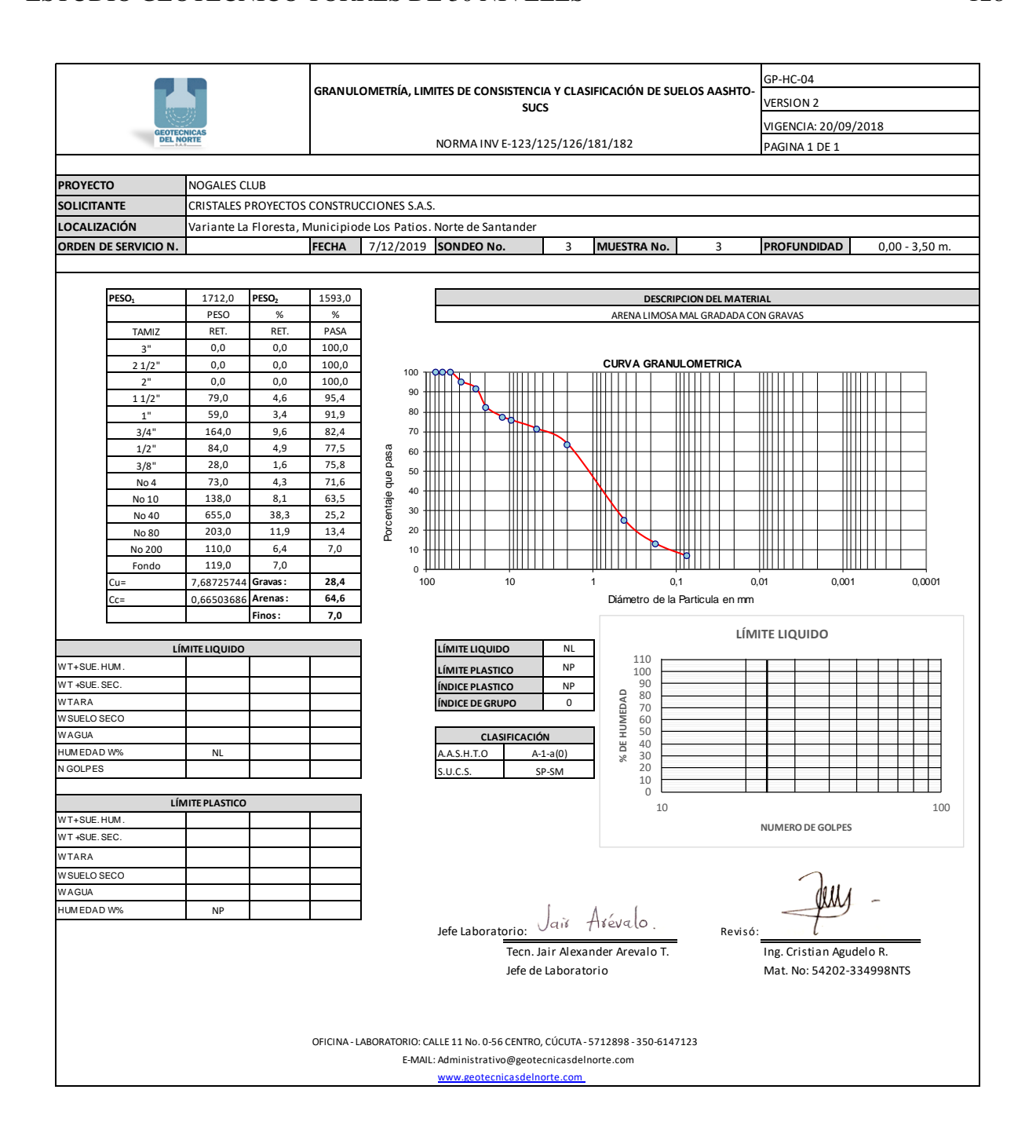


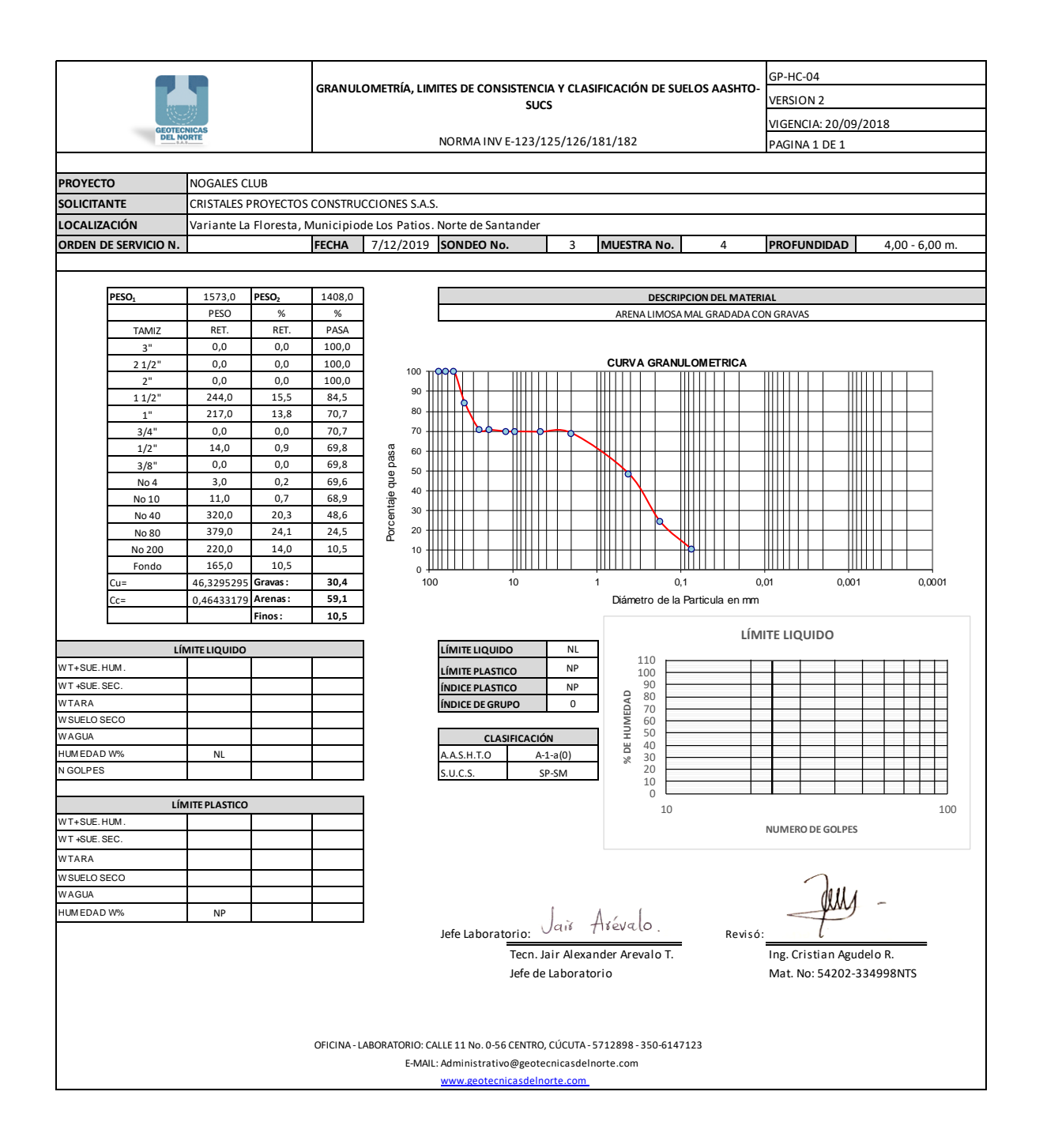


GEOTE	PNICAS		GRANUI	OMETRÍA, LIMITES DE CONSISTENCIA Y CLASIFICACIÓN DE SUELOS AASHTO- SUCS GP-HC-04 VERSION 2 VIGENCIA: 20/09/2018
DEL N	ORTE			NORMA INV E-123/125/126/181/182 PAGINA 1 DE 1
PROYECTO	NOGALES C	LUB		
SOLICITANTE	CONSTRUC		JS GROUP	
LOCALIZACIÓN				de Los Patios. Norte de Santander
ORDEN DE SERVICIO N.		-	FECHA	7/12/2019 SONDEO No. 2 MUESTRA No. 5 PROFUNDIDAD 8,00 m - 10,00 n
SKDER DE SERVICIO IV.			ILCIIA	7/12/2019 SOMECONO. 2 MICESTRATIO. 5 INTOTOTIONAL OCCUPANTION
PESO ₁	1259,0	PESO ₂	792,0	DESCRIPCION DEL MATERIAL
PE3O ₁	PESO	PE3O ₂ %	792,0	ARENA ARCILLOSA
TAMIZ	RET.	RET.	PASA	BILLIA AIIGILOSA
3"	0,0	0,0	100,0	1
2 1/2"	0,0	0,0	100,0	CURV A GRANULOMETRICA
2"	0,0	0,0	100,0	100 1100000 0 0 0 0 1111 0 1111 1 1 1 1
1 1/2"	0,0	0,0	100,0	90
1"	0,0	0,0	100,0	80
3/4"	26,0	2,1	97,9	70
1/2"	0,0	0,0	97,9	4 & 60 HHIII HIII HIII HIII HIII HIII HIII
3/8"	0,0	0,0	97,9	- 86
No 4 No 10	2,0 5,0	0,2	97,8 97,4	- B 40
No 10 No 40	23,0	1,8	95,6	
No 80	412,0	32,7	62,8	
No 200	324,0	25,7	37,1	10 10 10 10 10 10 10 10 10 10 10 10 10 1
Fondo	467,0	37,1		
Cu=		Gravas:	2,2	100 10 1 0,1 0,01 0,001 0,0001
Cc=		Arenas:	60,7	Diámetro de la Particula en mm
		Finos:	37,1	
ıí	MITE LIQUIDO			LÍMITE LIQUIDO LÍMITE LIQUIDO 24,0
VT+SUE.HUM.	29,32	29,15	28,32	28
VT +SUE. SEC.	25,63	25,06	24,21	LÍMITE PLASTICO 12,4 27
VTARA	8,65	8,15	9,30	(NDICE DE GRUPO 1 Q 26
V SUELO SECO	16,98	16,91	14,91	ÍNDICE DE GRUPO 1 CLASIFICACIÓN A A S. H. T. C.
VAGUA	3,7	4,1	4,1	CLASIFICACIÓN = 24
HUM EDAD W%	21,7	24,2	27,6	AAS.H.T.O A-6(1) 23 23
GOLPES	34	25	15	S.U.C.S. SC 22
				21
	MITE PLASTICO			10 100
/T+SUE.HUM.	12,67	12,56	12,41	NUMERO DE GOLPES
VT +SUE. SEC.	12,04	11,99	11,86	
VTARA	7,12	7,42	7,28	
V SUELO SECO	4,92	4,57	4,58	
VAGUA	0,6	0,6	0,6	·
HUM EDAD W%	12,8	12,5	12,0	lefe laboratorio: Jair Avevalo. Rovisó:
				Jele Laboratorio.
				Tecn. Jair Alexander Arevalo T. Ing. Cristian Agudelo R.
				Jefe de Laboratorio Mat. No: 54202-334998NTS
			OFICINA -	LABORATORIO: CALLE 11 No. 0-56 CENTRO, CÚCUTA - 5712898 - 350-6147123
			OFICINA -	LABORATORIO: CALLE 11 No. 0-56 CENTRO, CÚCUTA -5712898 -350-6147123 E-MAIL: Administrativo@geotecnicasdelnorte.com

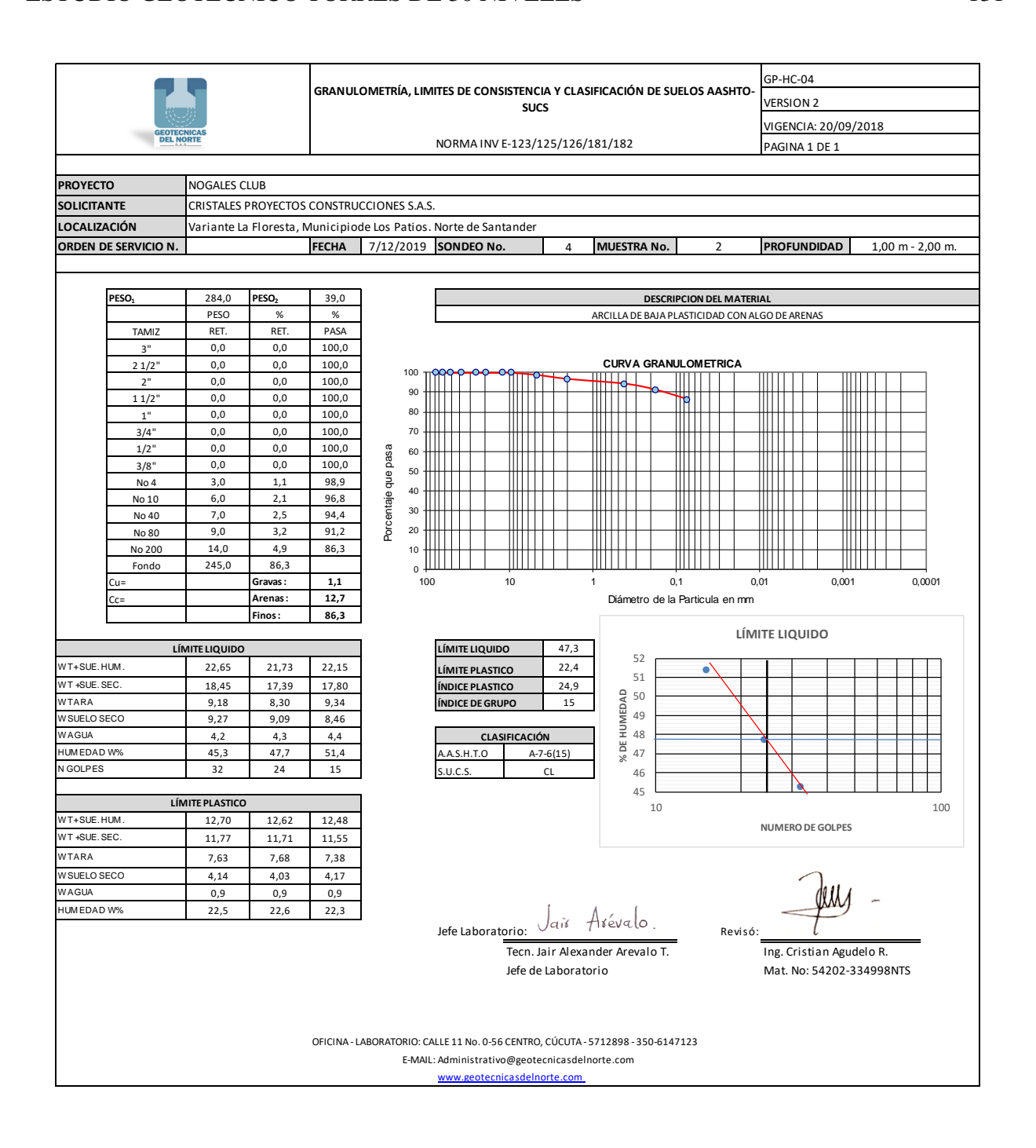
			CDANU	DMETRÍA, LIMITES DE CONSISTENCIA Y CLASIFICACIÓN DE SUELOS AASHTO-
GEOTECNICAS			GRANUL	SUCS VERSION 2
				VIGENCIA: 20/09/2018
GEOTEG DEL N	ORTE			NORMA INV E-123/125/126/181/182 PAGINA 1 DE 1
ROYECTO	NOGALES C	LUB		
SOLICITANTE	CONSTRUC	TORA CELEU	JS GROUP	
OCALIZACIÓN	Variante La	Floresta, N	Municipio	de Los Patios. Norte de Santander
ORDEN DE SERVICIO N.		-	FECHA	7/12/2019 SONDEO No. 2 MUESTRA No. 6 PROFUNDIDAD 10,00 m - 12,00
	•			
PESO ₁	887,0	PESO ₂	371,0	DESCRIPCION DEL MATERIAL
TAN 417	PESO RET.	% RET.	% PASA	ARCILLA GRAVOSA DE BAJA PLASTICIDAD CON ALGO DE ARENAS
TAMIZ 3"	0,0	0,0	100,0	
2 1/2"	0,0	0,0	100,0	CURVA GRANULOMETRICA
2 1/2	0,0	0,0	100,0	100 11999 100 110 110 110 110 110 110 110 110 1
1 1/2"	103,0	11,6	88,4	90
1"	117,0	13,2	75,2	80
3/4"	30,0	3,4	71,8	70
1/2"	6,0	0,7	71,1	
3/8"	20,0	2,3	68,9	
No 4	21,0	2,4	66,5	g 50
No 10	22,0	2,5	64,0	60 to be depth of the property
No 40	36,0	4,1	60,0	\$\\\\\\\\\\\\\\\\\\\\\\\\\\\\\\\\\\\\\
No 80	8,0	0,9	59,1	Š 20
No 200	8,0	0,9	58,2	10
Fondo	516,0	58,2	,	
Cu=		Gravas:	33,5	100 10 1 0,1 0,01 0,001 0,0001
Cc=		Arenas:	8,3	Diámetro de la Particula en mm
		Finos:	58,2	
				LÍMITE LIQUIDO
	MITE LIQUIDO			LÍMITE LIQUIDO 41,6
VT+SUE.HUM.	20,60	20,16	20,57	LÍMITE PLASTICO 22,5 45
VT +SUE. SEC.	17,04	16,69	16,74	
VTARA	8,05	8,41	8,26	INDICE PLASTICO 19,1
V SUELO SECO	8,99	8,28	8,48	<u> </u>
WAGUA	3,6	3,5	3,8	CLASIFICACIÓN
HUM EDAD W%	39,6	41,9	45,2	× 40
GOLPES	31	26	15	S.U.C.S. CL 39
				38
VT+SUE.HUM.	MITE PLASTICO	12,60	12,21	10 100
VT+SUE.HUM.	12,28		11,28	NUMERO DE GOLPES
	11,35	11,65	1	
VTARA	7,17	7,49	7,14	
W SUELO SECO	4,18	4,16	4,14	
WAGUA	0,9	0,9	0,9	· · · · · · · · · · · · · · · · · · ·
HUM EDAD W%	22,2	22,8	22,5	Jais Asévalo
				Jefe Laboratorio: Jais Asévalo. Revisó:
				Tecn. Jair Alexander Arevalo T. Ing. Cristian Agudelo R.
				Jefe de Laboratorio Mat. No: 54202-334998NTS
			OFICINA - LA	ABORATORIO: CALLE 11 No. 0-56 CENTRO, CÚCUTA - 5712898 - 350-6147123
			OFICINA - L	ABORATORIO: CALLE 11 No. 0-56 CENTRO, CUCUTA-5/12898-350-614/123 E-MAIL: Administrativo@geotecnicasdeInorte.com

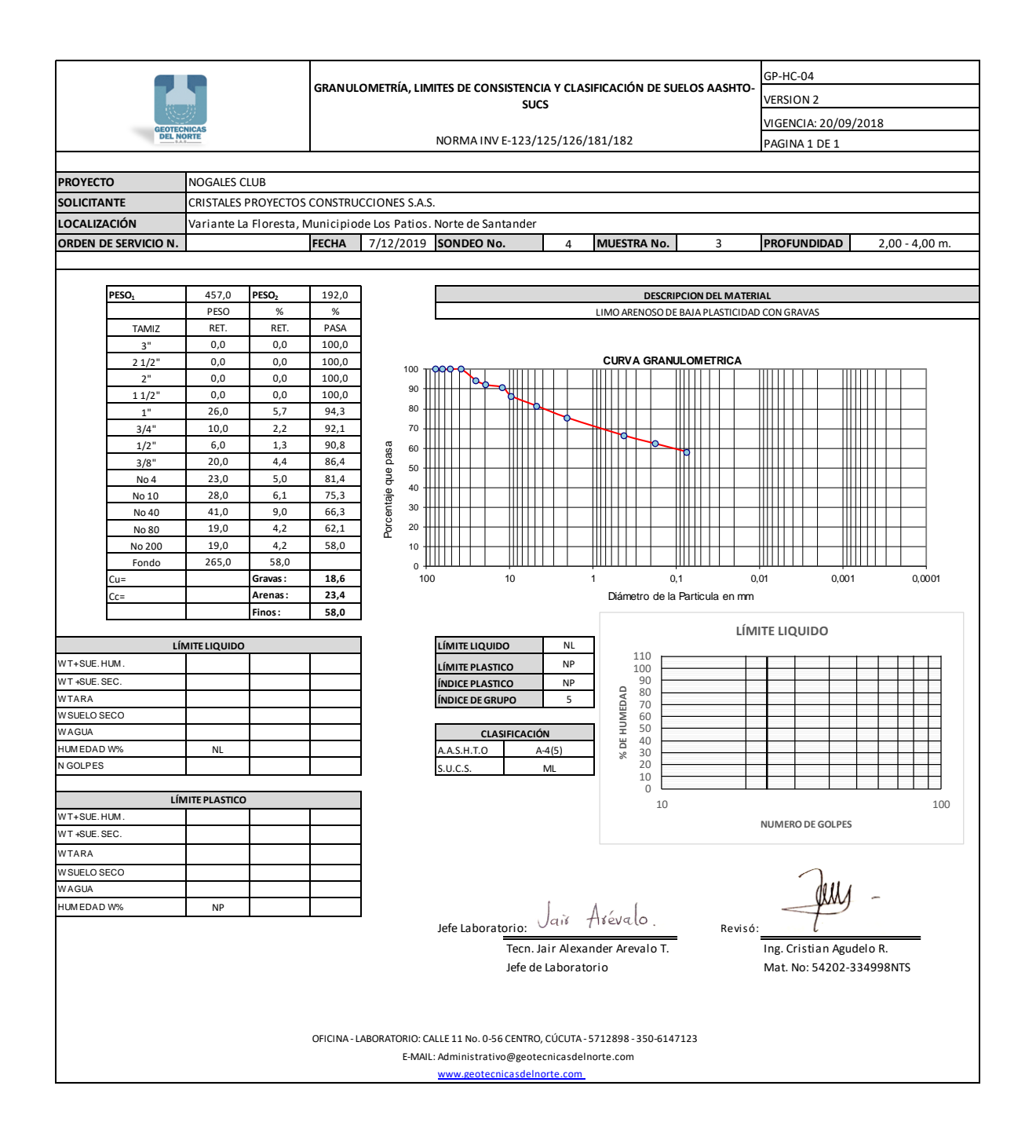
	P		GRANIII	OMETRÍA, LIMITES DE CONSISTENCIA Y CLASIFICACIÓN DE SUELOS AASHTO-
	100		GIVANOL	SUCS VERSION 2
	GEOTECNICAS DEL NORTE			VIGENCIA: 20/09/2018
GEOTEC DEL NO	RTE			NORMA INV E-123/125/126/181/182 PAGINA 1 DE 1
			•	1
PROYECTO	NOGALES C	CLUB		
SOLICITANTE	CONSTRUC	TORA CELEU	JS GROUP	
LOCALIZACIÓN	Variante La	a Floresta, N	Municipio	de Los Patios. Norte de Santander
ORDEN DE SERVICIO N.		-	FECHA	7/12/2019 SONDEO No. 2 MUESTRA No. 8 PROFUNDIDAD 13,00 m - 15,00 m
	1	1		
PESO ₁	498,0 PESO	PESO ₂	163,0 %	DESCRIPCION DEL MATERIAL ARCILLA GRAVOSA DE BAJA PLASTICIDAD CON ALGO DE ARENAS
TAMIZ	RET.	% RET.	% PASA	AKCILLA GKAVOSA DE BAJA PLASTICIDAD CON ALGO DE AKENAS
3"	0,0	0,0	100,0	
2 1/2"	0,0	0,0	100,0	CURVA GRANULOMETRICA
2"	0,0	0,0	100,0	
1 1/2"	0,0	0,0	100,0	90
1"	79,0	15,9	84,1	80
3/4"	23,0 6,0	4,6 1,2	79,5 78,3	70
1/2" 3/8"	0,0	0,0	78,3	8 60 HILL HOLD HILL HOLD HILL HOLD HILL HOLD HILL HOLD HILL HILL HOLD HILL HOLD HILL HOLD HILL HOLD HILL HOLD HILL HOLD HILL HILL HOLD HILL HILL HOLD HILL H
No 4	5,0	1,0	77,3	g 50
No 10	6,0	1,2	76,1	60 50 40 40 40 40 40 40 40 40 40 40 40 40 40
No 40	33,0	6,6	69,5	§ 30 HHH HH HH
No 80	6,0	1,2	68,3	ğ 20
No 200	5,0	1,0	67,3	10
Fondo	335,0	67,3 Gravas :	22,7	0 100 10 1 0,1 0,01 0,001 0,0001
Cu=		Arenas:	10,0	Diámetro de la Particula en mm
CC-		Finos:	67,3	Danetto de la Fantodia en min
				LÍMITE LIQUIDO
	AITE LIQUIDO			LÍMITELIQUIDO 37,9
WT+SUE.HUM.	23,15	22,90	23,92	LÍMITE PLASTICO 18,3
WT +SUE. SEC.	19,16	18,92	19,56	ÍNDICE PLASTICO 19,6
NTARA NSUELO SECO	8,03	8,57	9,14	ÍNDICE DE GRUPO 10
WAGUA	11,13 4,0	10,35 4,0	10,42 4,4	CLASIFICACIÓN = 39
HUM EDAD W%	35,8	38,5	41,8	(NDICE PLASTICO 19,6 NDICE DE GRUPO 10 10 10 10 10 10 10 1
N GOLPES	32	24	15	s.u.c.s. CL 36
				35
	IITE PLASTICO			10 100
NT+SUE.HUM. NT+SUE.SEC.	12,55	12,42	12,39	NUMERO DE GOLPES
WTARA	11,83	11,60	11,60	
W SUELO SECO	7,74	7,25	7,30	
W A GUA	4,09 0,7	4,35 0,8	4,30 0,8	1011
HUM EDAD W%	17,6	18,9	18,4	- JMJ -
		-0,0	-5,-	Jefe Laboratorio: Jair Arevalo. Revisó:
				Tecn. Jair Alexander Arevalo T. Ing. Cristian Agudelo R.
				Jefe de Laboratorio Mat. No: 54202-334998NTS
				Jeie de Laboratorio Mat. NO. 34202-334998N15
			OFICINA - L	ABORATORIO: CALLE 11 No. 0-56 CENTRO, CÚCUTA - 5712898 - 350-6147123
				E-MAIL: Administrativo@geotecnicasdelnorte.com

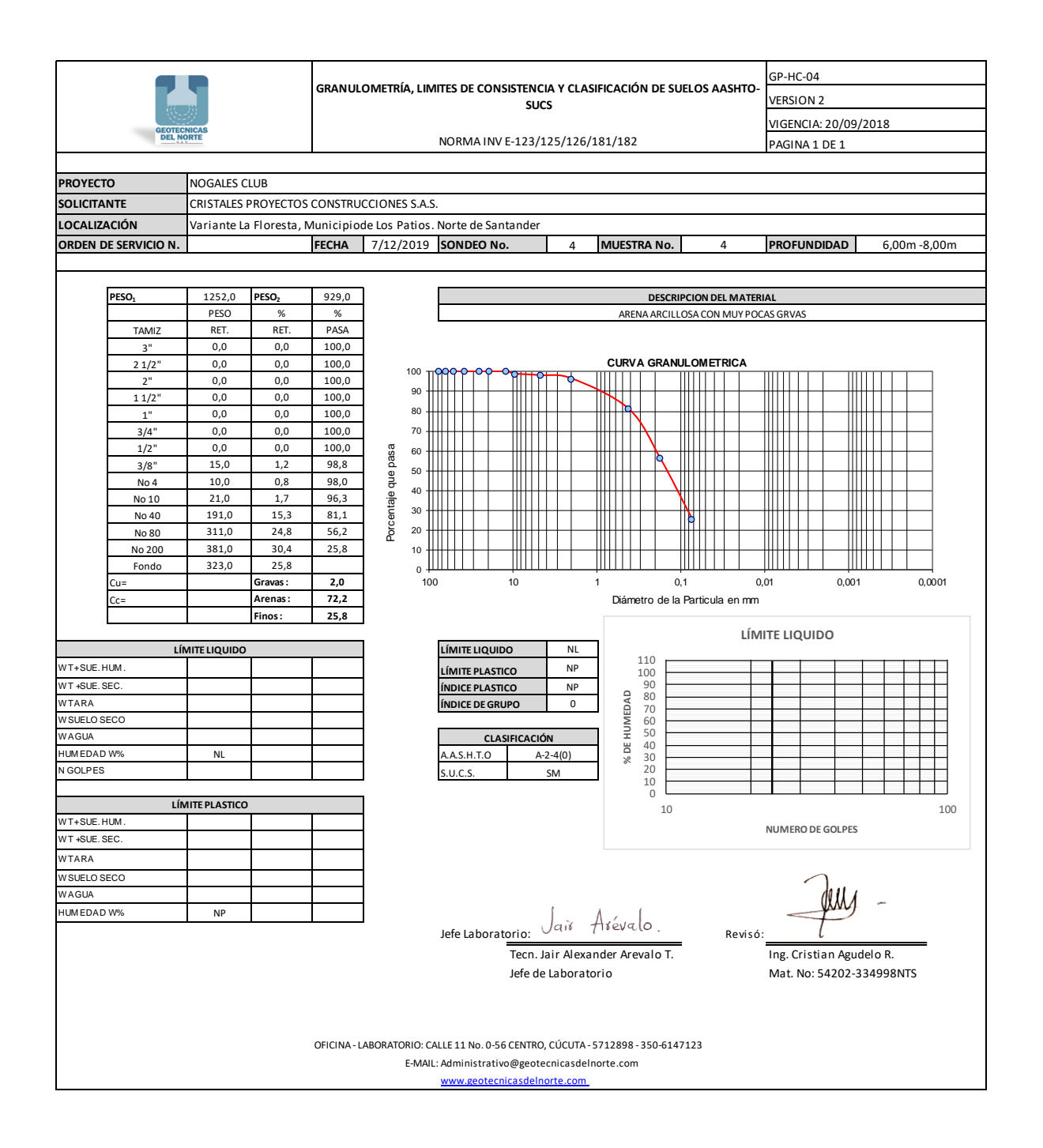


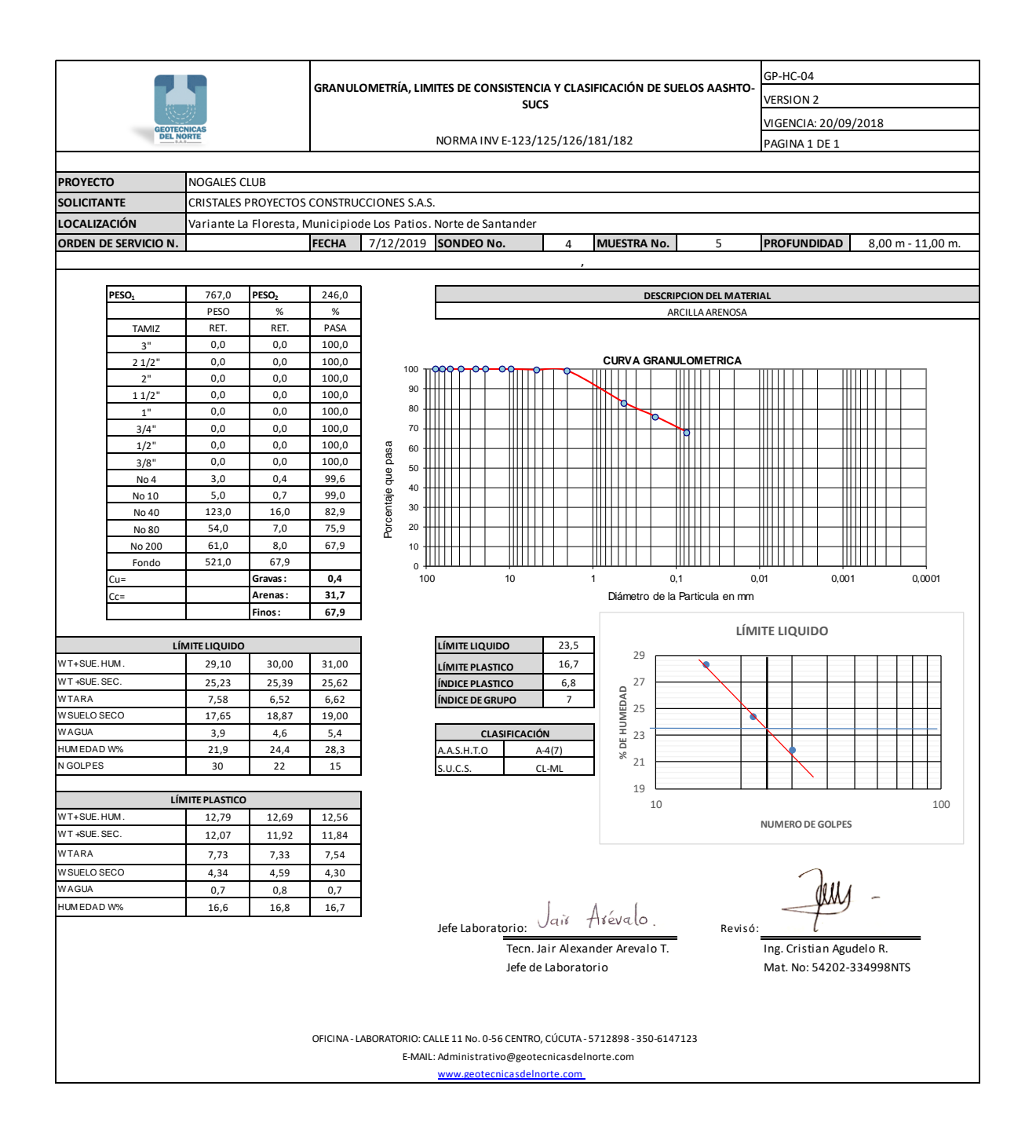


Genre	MICAS		GRANULO	OMETRÍA, LIMITES DE CONSISTENCIA Y CLASIFICACIÓN DE SUELOS AASHTO- SUCS GP-HC-04 VERSION 2 VIGENCIA: 20/09/2018
GEOTEC DEL N	ORTE			NORMA INV E-123/125/126/181/182 PAGINA 1 DE 1
PROYECTO	NOGALES C	LUB		
SOLICITANTE	CRISTALES	PROYECTOS	CONSTRUC	CCIONES S.A.S.
LOCALIZACIÓN	Variante La	Floresta, N	Municipiod	de Los Patios. Norte de Santander
ORDEN DE SERVICIO N.			FECHA	7/12/2019 SONDEO No. 4 MUESTRA No. 1 PROFUNDIDAD 0,00 m - 1,00 m.
PESO ₁	255,0	PESO ₂	152,0	
PESO ₁	PESO	% %	152,0 %	DESCRIPCION DEL MATERIAL ARENA ARCILLOSA CON GRAVAS
TAMIZ	RET.	RET.	PASA	AILENA MICIELOUN CON CITAVA
3"	0,0	0,0	100,0	
2 1/2"	0,0	0,0	100,0	CURVA GRANULOMETRICA
2"	0,0	0,0	100,0	90
1 1/2"	0,0	0,0	100,0	80
1"	0,0	0,0	100,0	70
3/4" 1/2"	19,0 18,0	7,5 7,1	92,5 85,5	
3/8"	3,0	1,2	84,3	8 60 HILL HOLD H
No 4	12,0	4,7	79,6	60 60 60 60 60 60 60 60 60 60 60 60 60 6
No 10	10,0	3,9	75,7	<u>e</u> 40
No 40	31,0	12,2	63,5	₹ 30
No 80	29,0	11,4	52,2	
No 200	30,0	11,8	40,4	10
Fondo Cu=	103,0	40,4 Gravas:	20,4	0
Cc=		Arenas:	39,2	Diámetro de la Particula en mm
-		Finos:	40,4	Balliotto do la Faritodia Offini
' <u>-</u>				LÍMITE LIQUIDO
	MITE LIQUIDO			LÍMITE LIQUIDO 39,9
WT+SUE.HUM.	20,61	20,87	21,32	LÍMITE PLASTICO 19,2
WT +SUE. SEC.	17,15	17,42	17,48	
WTARA WSUELO SECO	8,01 9,14	8,63 8,79	8,41 9,07	NDICE DE GRUPO 4 CLASIFICACIÓN H CLASIFICACIÓN H G 39
WAGUA	3,5	3,5	3,8	CLASIFICACIÓN \$\frac{1}{2}\) 40
HUM EDAD W%	37,9	39,2	42,3	A.A.S.H.T.O A-6(4) 39
N GOLPES	35	26	18	S.U.C.S. SC 38
				37
	MITE PLASTICO			10 100
WT+SUE.HUM.	12,34	12,35	12,52	NUMERO DE GOLPES
WT +SUE. SEC.	11,45	11,40	11,56	
WTARA	6,67	6,49	6,64	
N SUELO SECO N A GUA	4,78	4,91 0,9	4,92) _{0.11} ,
HUM EDAD W%	0,9 18,6	19,3	1,0 19,5	
10 EDAD 11/0	10,0	15,5	15,5	Jefe Laboratorio: Jais Asévalo. Revisó:
				Jele Laboratorio.
				Tecn. Jair Alexander Arevalo T. Ing. Cristian Agudelo R. Jefe de Laboratorio Mat. No: 54202-334998NTS
				Jere de Laboratorio Mat. No: 54202-334998N15
			OFICINA - LA	ABORATORIO: CALLE 11 No. 0-56 CENTRO, CÚCUTA - 5712898 - 350-6147123
			OFICINA - L	ABORATORIO: CALLE 11 No. 0-56 CENTRO, CÚCUTA-5712898-350-6147123 E-MAIL: Administrativo@geotecnicasdelnorte.com

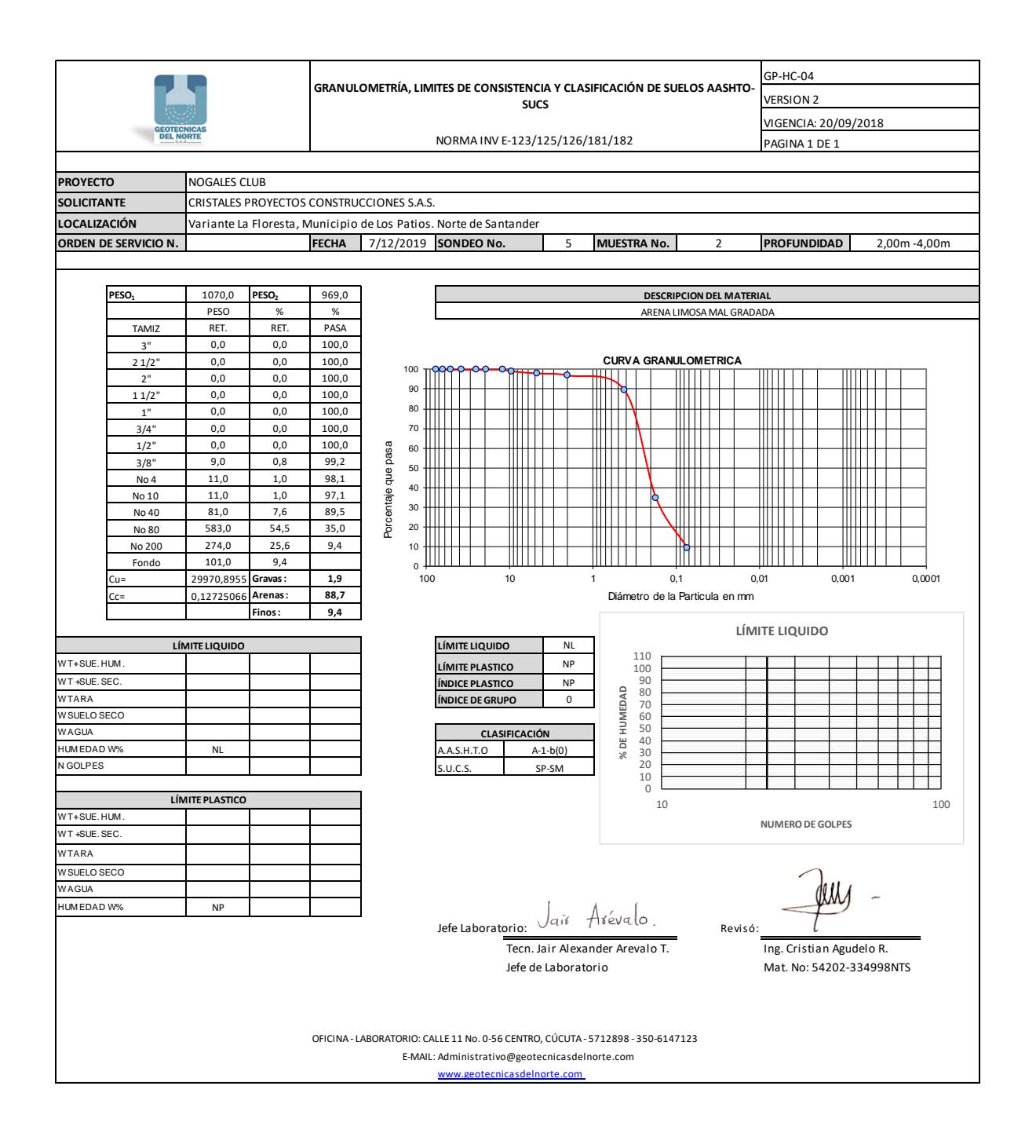


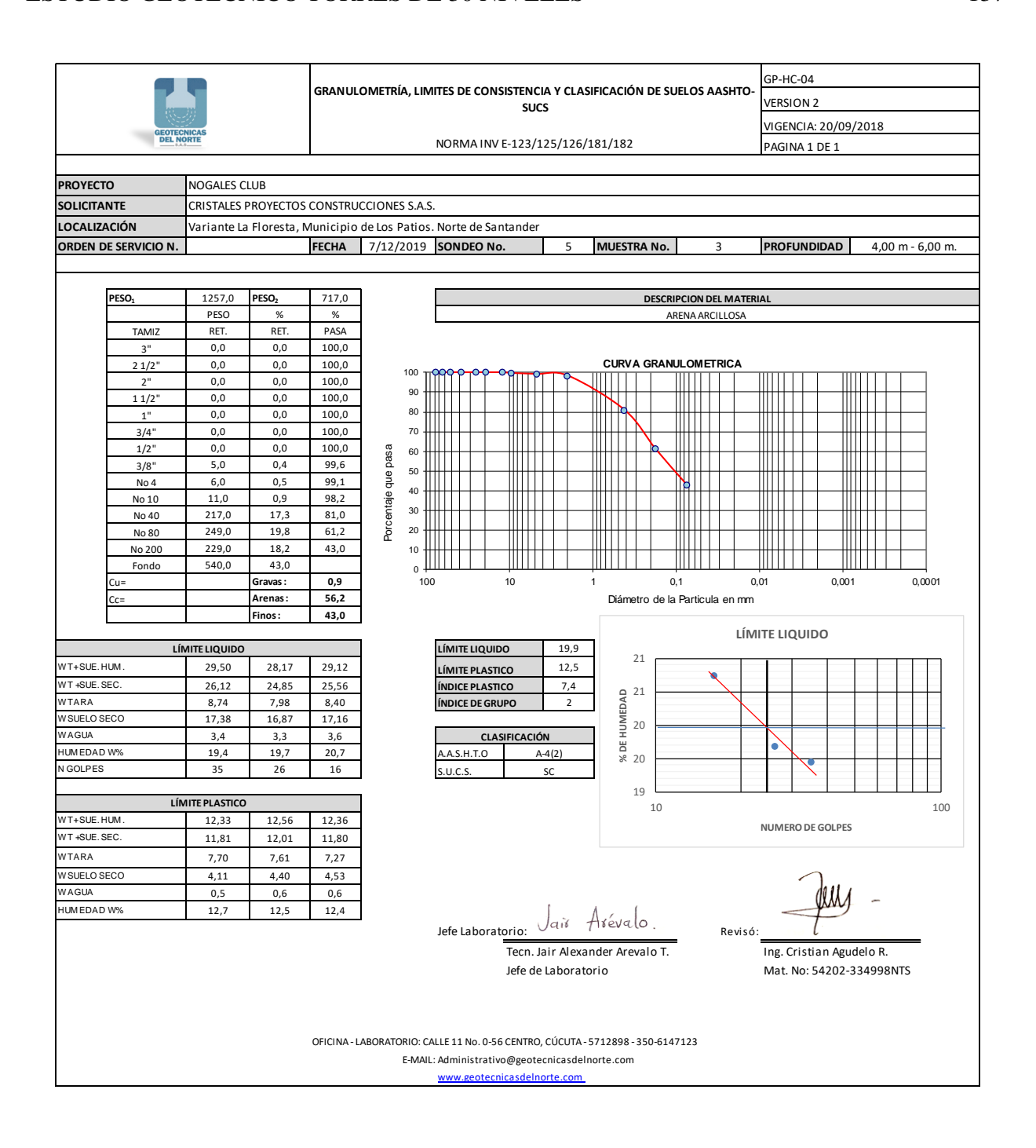






GEOTEL	CNICAS ORTE		GRANUL	OMETRÍA, LIMITES DE CONSISTENCIA Y CLASIFICACIÓN DE SUELOS AASHTO- SUCS VIGENCIA: 20/09/2018 NORMA INVESTIZA (125/126/181/182)
<u> </u>	3.112			NORMA INV E-123/125/126/181/182 PAGINA 1 DE 1
PROYECTO	NOGALES C	TIID		
			CONCTRU	COLONIES A S
SOLICITANTE				CCIONES S.A.S.
LOCALIZACIÓN	Variante La	a Floresta, N	_	de Los Patios. Norte de Santander
ORDEN DE SERVICIO N.			FECHA	7/12/2019 SONDEO No. 5 MUESTRA No. 1 PROFUNDIDAD 0,00 m - 2,00 m.
PESO ₁	1296,0	PESO ₂	917,0	DESCRIPCION DEL MATERIAL
	PESO	%	%	ARENA ARCILLOSA CON GRAVAS
TAMIZ	RET.	RET.	PASA	
3"	0,0	0,0	100,0	
2 1/2"	0,0	0,0	100,0	CURVA GRANULOMETRICA
2"	0,0	0,0	100,0 100,0	90
1 1/2"	158,0	12,2	87,8	80
3/4"	38,0	2,9	84,9	70
1/2"	38,0	2,9	81,9	© 60
3/8"	13,0	1,0	80,9	60 60 50 60 60 60 60 60 60 60 60 60 60 60 60 60
No 4	24,0	1,9	79,1	and 40
No 10	37,0	2,9	76,2	is 30
No 40	135,0	10,4	65,8	5 20
No 80 No 200	211,0 263,0	16,3 20,3	49,5 29,2	8 20
Fondo	379,0	29,2	23,2	
Cu=		Gravas :	20,9	100 10 1 0,1 0,01 0,001 0,0001
Cc=		Arenas:	49,8	Diámetro de la Particula en mm
		Finos:	29,2	
				LÍMITE LIQUIDO
	MITE LIQUIDO	1		LÍMITE LIQUIDO 20,3
NT+SUE.HUM. NT+SUE.SEC.	29,46	29,56	29,85	LÍMITE PLASTICO 12,5
WTARA	25,69 6,65	25,75 7,26	25,75 6,59	
V SUELO SECO	19,04	18,49	19,16	ÍNDICE DE GRUPO 0 G V 21
WAGUA	3,8	3,8	4,1	NDICE DE GRUPO 0 CLASIFICACIÓN CLASIFICACIÓN DE 21 DE 20 DE 20
HUM EDAD W%	19,8	20,6	21,4	A.A.S.H.T.O A-2-4(0) 20
N GOLPES	31	23	16	s.u.c.s. sc 20
				19
VT+SUE.HUM.	MITE PLASTICO		42.15	10 100
VT+SUE.HUM.	12,23 11,70	12,56 11,96	12,45 11,90	NUMERO DE GOLPES
VTARA	7,40	7,31	7,46	
V SUELO SECO	7,40 4,30	7,31 4,65	7,46 4,44	
WAGUA	0,5	0,6	0,5)n 11 1
HUM EDAD W%	12,3	12,9	12,4	
•			1 7.	Jefe Laboratorio: Jair Arevalo. Revisó:
				Tecn. Jair Alexander Arevalo T. Ing. Cristian Agudelo R.
				Jefe de Laboratorio Mat. No: 54202-334998NTS
				Jele de Labol atorio Iviat. Ivo. 54202-554936N15
			OFICINA - L	ABORATORIO: CALLE 11 No. 0-56 CENTRO, CÚCUTA - 5712898 - 350-6147123
				E-MAIL: Administrativo@geotecnicasdelnorte.com
				www.geotecnicasdelnorte.com





			GRANUI	OMETRÍA, LIMITES DE CONSISTENCIA Y CLASIFICACIÓN DE SUELOS AASHTO- SUCS GP-HC-04 VERSION 2 VIGENCIA: 20/09/2018
GEOTEC DEL N	ORTE			NORMA INV E-123/125/126/181/182 PAGINA 1 DE 1
			ı	FAGINAL DE I
PROYECTO	NOGALES C	LUB		
SOLICITANTE	CRISTALES F	PROYECTOS	CONSTRU	CCIONES S.A.S.
LOCALIZACIÓN	Variante La	Floresta, I	Municipio	de Los Patios. Norte de Santander
ORDEN DE SERVICIO N.			FECHA	7/12/2019 SONDEO No. 5 MUESTRA No. 4 PROFUNDIDAD 6,00 m - 8,00 m
PESO ₁	1321,0	PESO ₂	753,0	DESCRIPCION DEL MATERIAL
12501	PESO	%	%	ARENA ARCILLOSA
TAMIZ	RET.	RET.	PASA	
3"	0,0	0,0	100,0	
2 1/2"	0,0	0,0	100,0	CURV A GRANULOMETRICA
2" 1 1/2"	0,0	0,0	100,0 100,0	90
1 1/2"	0,0	0,0	100,0	80
3/4"	0,0	0,0	100,0	70
1/2"	4,0	0,3	99,7	g 60
3/8"	5,0	0,4	99,3	₫ 50 H
No 4	2,0	0,2	99,2	88 60 0 7 50 0 8 40 0 9 40
No 10	5,0 459,0	0,4	98,8 64,0	- ig 30
No 40 No 80	143,0	34,7 10,8	53,2	
No 200	135,0	10,2	43,0	
Fondo	568,0	43,0		
Cu=		Gravas:	0,8	100 10 1 0,1 0,01 0,001 0,0001
Cc=		Arenas:	56,2	Diámetro de la Particula en mm
		Finos:	43,0	. (
LÍ	MITE LIQUIDO			LÍMITE LIQUIDO 26,0
VT+SUE.HUM.	20,56	23,45	23,84	12.4
VT +SUE. SEC.	17,74	20,30	20,40	20
VTARA	6,52	8,13	8,02	INDICE PLASTICO 13,6
V SUELO SECO	11,22	12,17	12,38	5 26
VAGUA HUM EDAD W%	2,8	3,2 25,9	3,4	CLASIFICACIÓN I 26
N GOLPES	25,1 30	25,9	27,8 18	8 25
	30		10	S.U.C.S. SC 25
LÍI	MITE PLASTICO			10 100
/T+SUE.HUM.	9,56	8,78	8,47	NUMERO DE GOLPES
VT +SUE. SEC.	9,23	8,58	8,33	
VTARA	6,60	6,94	7,21	
W SUELO SECO	2,63	1,64	1,12	and the second s
NAGUA HUM EDAD W%	0,3 12.5	0,2 12,2	0,1 12,5	
IOW CDAD W/0	12,5	12,2	12,5	lefe Laboratoria: Jair Arévalo. Rovisó:
				Jele Laboratorio.
				Tecn. Jair Alexander Arevalo T. Ing. Cristian Agudelo R. Jefe de Laboratorio Mat. No: 54202-334998NTS
				Jele de Laboratorio iviat. NO: 34202-334998N13
			OFICINA -	ABORATORIO: CALLE 11 No. 0-56 CENTRO, CÚCUTA - 5712898 - 350-6147123
			OFICINA -	ABORATORIO: CALLE 11 No. 0-56 CENTRO, CÚCUTA -5712898 -350-6147123 E-MAIL: Administrativo@geotecnicasdelnorte.com www.geotecnicasdelnorte.com.

185			GRANUL	OMETRÍA, LIMITES DE CONSISTENCIA Y CLASIFICACIÓN DE SUELOS AASHTO- SUCS GP-HC-04 VERSION 2
GEOTECI DEL NO	NICAS			VIGENCIA: 20/09/2018
DEL NO	-			NORMA INV E-123/125/126/181/182 PAGINA 1 DE 1
PROVECTO	NOCALES O	LLID		
PROYECTO	NOGALES CI		CONCTE	COLONES CA C
SOLICITANTE				CCIONES S.A.S.
LOCALIZACIÓN	Variante La	Floresta, N	_	de Los Patios. Norte de Santander
ORDEN DE SERVICIO N.			FECHA	7/12/2019 SONDEO No. 5 MUESTRA No. 5 PROFUNDIDAD 8,00 m - 10,00 n
PESO ₁	710,0	PESO ₂	245,0	DESCRIPCION DEL MATERIAL
	PESO	%	%	ARENA ARCILLOSA
TAMIZ	RET.	RET.	PASA	
3"	0,0	0,0	100,0	
2 1/2"	0,0	0,0	100,0	CURVA GRANULOMETRICA
2"	0,0	0,0	100,0	90
1 1/2"	0,0	0,0	100,0	80
3/4"	20,0	2,8	97,2	70
1/2"	0,0	0,0	97,2	g 60
3/8"	0,0	0,0	97,2	9 50 H
No 4	5,0	0,7	96,5	60
No 10	5,0	0,7	95,8	e et a 30
No 40	24,0	3,4	92,4	5 30 11111 11111111111111111111111111111
No 80	88,0	12,4	80,0 65,5	
No 200 Fondo	103,0 465,0	14,5 65,5	65,5	10
Cu=	103,0	Gravas :	3,52	100 10 1 0,1 0,01 0,001 0,0001
Cc=		Arenas:	31,0	Diámetro de la Particula en mm
		Finos:	65,5	
				LÍMITE LIQUIDO
	MITE LIQUIDO	1		LÍMITE LIQUIDO 24,5
NT+SUE.HUM.	28,69	28,45	28,69	LÍMITE PLASTICO 12,6 27
WTARA	24,96 8,65	24,45 8,15	24,56 9,30	ÍNDICE PLASTICO 11,9 ÍNDICE DE GRUPO 7 9 26
V SUELO SECO	16,31	16,30	15,26	INDICE DE GRUPO 7 CLASIFICACIÓN AND UTO ACCUMANTO ACCU
WAGUA	3,7	4,0	4,1	CLASIFICACIÓN = 24
HUM EDAD W%	22,9	24,5	27,1	A.A.S.H.T.O A-6(7) 23
N GOLPES	34	25	15	S.U.C.S. CL 22
				21
VT+SUE.HUM.	A12.60		42.25	10 100
VT+SUE.HUM.	12,60 11,99	12,85 12,23	12,35 11,79	NUMERO DE GOLPES
WTARA	7,12	7,42	7,28	
	7,12 4,87	7,42 4,81	7,28 4,51	
WSHELD SECO	0,6	0,6	0,6	7011
	۵,0	12,9	12,4	1 A . 1
WAGUA	12.5		, -	Info Inharataria, Jair Arévalo.
VAGUA	12,5			lefe Laboratorio: Valla / Trevallo . Revisó:
WAGUA	12,5	•		Jele Laboratorio.
WAGUA	12,5			Tecn. Jair Alexander Arevalo T. Ing. Cristian Agudelo R.
WAGUA	12,5			Jele Laboratorio.
WSUELO SECO WAGUA HUMEDAD W%	12,5			Tecn. Jair Alexander Arevalo T. Ing. Cristian Agudelo R.
WAGUA	12,5		OFICINA - I	Tecn. Jair Alexander Arevalo T. Ing. Cristian Agudelo R. Jefe de Laboratorio Mat. No: 54202-334998NTS
WAGUA	12,5		OFICINA - L	Tecn. Jair Alexander Arevalo T. Ing. Cristian Agudelo R.

1115	20		GRANUI	OMETRÍA, LIMITES DE CONSISTENCIA Y CLASIFICACIÓN DE SUELOS AASHTO- SUCS GP-HC-04 VERSION 2
GEOTEC DEL N	NICAS			VIGENCIA: 20/09/2018
				NORMA INV E-123/125/126/181/182 PAGINA 1 DE 1
PROYECTO	NOGALES C	LUB		
SOLICITANTE			CONSTRU	CCIONES S.A.S.
LOCALIZACIÓN	_			de Los Patios. Norte de Santander
ORDEN DE SERVICIO N.			FECHA	7/12/2019 SONDEO No. 5 MUESTRA No. 6 PROFUNDIDAD 10,00 m - 12,00 m.
		1		
PESO ₁	874,0 PESO	PESO ₂ %	355,0 %	DESCRIPCION DEL MATERIAL ARCILLA GRAVOSA DE BAJA PLASTICIDAD CON ALGO DE ARENAS
TAMIZ	RET.	RET.	PASA	ANGLEA GIANY GUA DE BRIA F ERCHICIDAD CON ALGO DE ANEIRO
3"	0,0	0,0	100,0	
2 1/2"	0,0	0,0	100,0	CURVA GRANULOMETRICA
2"	0,0 100,0	0,0 11,4	100,0 88,6	90 +
1 1/2"	112,0	11,4	75,7	80
3/4"	28,0	3,2	72,5	70
1/2"	5,0	0,6	72,0	g 60
3/8"	19,0	2,2	69,8	60
No 4	20,0	2,3	67,5	40 HILL HILL HILL HILL HILL HILL HILL HIL
No 10 No 40	20,0 38,0	2,3 4,3	65,2 60,9	
No 80	8,0	0,9	60,0	
No 200	5,0	0,6	59,4	10
Fondo	519,0	59,4		0
Cu=		Gravas:	32,5	100 10 1 0,1 0,01 0,001 0,0001
Cc=		Arenas: Finos:	8,1 59,4	Diámetro de la Particula en mm
	I	11	33,4	LÍMITE LIQUIDO
LÍI	MITE LIQUIDO			LÍMITELIQUIDO 40,7
WT+SUE.HUM.	19,06	19,85	18,56	LÍMITE PLASTICO 22,6 45
WT+SUE.SEC.	16,02	16,52	15,35	ÍNDICE PLASTICO 18,1
WTARA WSUELO SECO	8,05 7,97	8,41 8,11	8,26 7,09	ÍNDICE DE GRUPO 8 9 43
WAGUA	3,0	3,3	3,2	CLASIFICACIÓN \$\frac{42}{2}
HUM EDAD W%	38,1	41,1	45,3	INDICE PLASTICO
N GOLPES	31	26	15	S.U.C.S. CL 39
. 6	AITE DI ACTICO			38
WT+SUE.HUM.	11,56	10,89	12,10	10 100
WT+SUE.SEC.	10,76	10,26	11,18	NUMERO DE GOLPES
WTARA	7,17	7,49	7,14	
W SUELO SECO	3,59	2,77	4,04	
WAGUA	0,8	0,6	0,9	M M -
HUM EDAD W%	22,3	22,7	22,8	Jair Areyala
				Jefe Laborato <u>rio: Valla 7 18 eVallo</u> . Revisó:
				Tecn. Jair Alexander Arevalo T. Ing. Cristian Agudelo R.
				Jefe de Laboratorio Mat. No: 54202-334998NTS
			OFICINA -	LABORATORIO: CALLE 11 No. 0-56 CENTRO, CÚCUTA - 5712898 - 350-6147123
				E-MAIL: Administrativo@geotecnicasdelnorte.com
				www.geotecnicasdeInorte.com

			CDANU	GP-HC-04
			GRANULO	DMETRÍA, LIMITES DE CONSISTENCIA Y CLASIFICACIÓN DE SUELOS AASHTO- SUCS VERSION 2
	FOTECNICAS			VIGENCIA: 20/09/2018
G	EOTECNICAS DEL NORTE			NORMA INV E-123/125/126/181/182 PAGINA 1 DE 1
			•	
PROYECTO	NOGALES (CLUB		
SOLICITANTE	CRISTALES	PROYECTOS	CONSTRUC	CIONES S.A.S.
LOCALIZACIÓN	Variante L	a Floresta, I	Municipio (de Los Patios. Norte de Santander
ORDEN DE SERVICIO	N.		FECHA	7/12/2019 SONDEO No. 5 MUESTRA No. 8 PROFUNDIDAD 13,00 m - 15,00 m
	•			
		1	1 1	
PESO ₁	469,0 PESO	PESO ₂	139,0	DESCRIPCION DEL MATERIAL ADCILLA CONJUCA DE DALA DI ACTICIDAD CON ALCO DE ADENAS
TAMIZ	RET.	% RET.	% PASA	ARCILLA GRAVOSA DE BAJA PLASTICIDAD CON ALGO DE ARENAS
3"	0,0	0,0	100,0	
2 1/2"	0,0	0,0	100,0	CURVA GRANULOMETRICA
2"	0,0	0,0	100,0	100 110000
1 1/2"	0,0	0,0	100,0	90
1"	75,0	16,0	84,0	80
3/4"	19,0	4,1	80,0	70
3/8"	2,0 0,0	0,4	79,5 79,5	8 60 11111 1 11111 1 11111 1 11111 1 1 1
3/8 No 4	1,0	0,0	79,3	60 - 60 - 60 - 60 - 60 - 60 - 60 - 60 -
No 10	5,0	1,1	78,3	9 40 40 40 40 40 40 40 40 40 40 40 40 40
No 40	31,0	6,6	71,6	£ 30 HHHH HHHHHHHHHHHHHHHHHHHHHHHHHHHHHH
No 80	4,0	0,9	70,8	ğ 20
No 200		0,4	70,4	10
Fondo	330,0	70,4 Gravas :	20,7	0
Cu= Cc=	+	Arenas:	9,0	Diámetro de la Particula en mm
CC-	1	Finos:	70,4	Danietto de la Fatticula et i il il
	•	•		LÍMITE LIQUIDO
	LÍMITE LIQUIDO			LÍMITE LIQUIDO 38,0
WT+SUE.HUM.	22,10	21,45	22,52	LÍMITE PLASTICO 18,4 42
WT +SUE. SEC.	18,35	17,90	18,56	ÍNDICE PLASTICO 19,7
WTARA WSUELO SECO	8,03 10,32	8,57 9,33	9,14 9,42	ÍNDICE DE GRUPO 11 40
WAGUA	3,8	3,6	4,0	CLASIFICACIÓN = 39
HUM EDAD W%	36,3	38,0	42,0	19,7 10 11 1 1 1 1 1 1 1
N GOLPES	32	24	15	S.U.C.S. CL 36
				35
W.T. OUE LUIM	LÍMITE PLASTICO		11.00	10 100
WT+SUE.HUM. WT+SUE.SEC.	11,50	11,75	11,93	NUMERO DE GOLPES
WTARA	10,92	11,06	11,20	
W SUELO SECO	7,74	7,25	7,30	
WAGUA	3,18 0,6	3,81 0,7	3,90 0,7	/h11 /
HUM EDAD W%	18,2	18,1	18,7	1 A . 1
	/-	,-	1 7	Jefe Laboratorio: Jair Arevalo. Revisó:
				Tecn. Jair Alexander Arevalo T. Ing. Cristian Agudelo R.
				Jefe de Laboratorio Mat. No: 54202-334998NTS
			OFICINA - LA	ABORATORIO: CALLE 11 No. 0-56 CENTRO, CÚCUTA - 5712898 - 350-6147123
				E-MAIL: Administrativo@geotecnicasdelnorte.com
				www.geotecnicasdelnorte.com

	E	ROYE(XPLO) ECHA:	RACION SONDED 1	19													
9	100		8 85	r		-	N :	spt	/PII		1		PR	OPIE:	DADE	s	
PROFUNDIDAD	NIVEL FREATOO	PERFIL DE SUELO	DESCRIPCIÓN DEL SUELO	100	1>	- 1° GI	JLF	ÉS,	PII	D	W%	F£		I - №			
-0 50	2		Arena arcillosa con gravas color anariliento								9.39	38 E	19 0	ဆေး ဧ	EO. 4	40.4	39 E
-100			Muestra no recuperada														
-1.50			Arcilla de baja plasticidad con alga de orenas								12.60	47. 9	æ 4	ಪಾ	α,7	10.8	83.5
-350	0		Lina arenoso de baja plasticidad Con gravas									7	NP.	? <u></u>	16.8	24.2	59.0
-4.00 -4.50 -5.00)		Muestra no recuperada														
-6 50 -7 50	,		Arena arcilloga con muy pocas gravos									Z	ΝP	- <u></u>	1. 5	72.4	25.0
-800	0		Arena Ilmosa									an 1	17.0	3.2	αε	58.6	41. 2

	E	ROYE(XPLOI ECHA:	SACION' ZONNED S	9														
3					ಿಂದ	ra	N	spt ES,	/P.T		T		· F *	PR	OP (E	DADE:	S	435
PROFUNDING (n.)	E FE	PERFUL DE SUELLO	DESCRIPCIÓN DEL SUELO								١,	4%		1	I. P.	1	Feedo	- 5
	E			,	ΗŦ	Ŧ	7	ĪΤ	Ŧ	Ŧ	1	88.400	125					
	986.70		Areno erollisso con gravas		П			Н			Н	0.0	21.0	18 +	86	21.6	49.6	as. e
-0 50	33				Н			Н			Ш							
. L co	100				Н			Н			Ш							
	17,000				Н			Н			Ш							
L 30	3	3			Н			Н			Ш							
- -a 00	3				Ш								25 33					
	1				П			Н			Ш							
-2 90 -	3	X-33			Н			Н			Ш							
	9		Areno Unesso Hot gradada		Н			Н			-	_	NL	NE	-	12	B8. 8	10.0
-a co	3	7			Н			Н			Ш							
- s = 0	100				Н			Н			Ш							
	127.70				П			Н			Ш							
4 00	1				Н	+	t	H	+	+	H					1	1	-
4 90																		
	1	2/																
500			Areno arcilloso		Н			Н			-	_	an 9	18 5	87	05	55.9	12.7
	1				П			Н			Ш							
-5 50	350X 15				Н			Н			Ш							
- - 6 co					Ц	Ц	1	Ш		\perp	Ш			_		μ.		
					П			П										
6 50	9				Н			Н			Ш							
7 00	180		Arena sralliosa		Н			Н			-	_	26 Z	14 6	116	05	55. ÷	43.0
- x m	W.W.	22			П			Н			Ш							
- 7. SO	18				Н			Н			Ш							
	3				Н			Н			Ш							
-8 00	100				Н			H		1	Ħ							
-e -	100				Н			Н			Ш							
	28/8/28				Н			Н			Ш							
9 00	1000		Areno erallioso		Н			Н			-	-	24	1E 4	11 6	ee	60.7	37. I
					Н			Н			Ш							
-9 50	100				Н			Н			Ш							
- ua. a				L	Н	+	+	Н	4	-	Н		-	_	-	ļ., .	-	
1	1																	
- w s	•																	
-11.0			Ancille gravess de bajo plasticidad con algo 88 arenas								=	1. 4T	+1. 6	22.5	19 1	39.5	83	58. Z
	200		- 1-7-0-7-1															
-115	+																	
	0.000															1		
- 12.0					П		T	Ħ	21.5									
	,		Muestra no recuperodo															
- LOL O		337				\dagger	1	\Box	1		\sqcap							
- - 13 5																		
	1																	
-140	+		Amplite gravese de baja plosticidad con algo de america									77. 16	37.5	18 9	13 6	22.7	100	67.3
-145		2																
-		23			Ш			Ш			Ш					1		

		ROYEC XPLOF	CTO: NOGALES CLUB RACION: SONDEO 3																
		ECHA:	The state of the s	9															
PROFUNDIDAD (n.)	NIVEL FREATOD	PERFIL DE SUELO	DESCRIPCIÓN DEL SUELO		<	N* (20L	SI PE	st S/	PΙ	E>			Fí	PRI SICE	OPIE	DADE: 1ECAN	S IICAS	
PROFU	NINE	PERFI	2200	30	a 64	. se	Ť	30	ه ا	70	ao	60 	W%	L L	LP	I, P.	GRAVAS	ARĒNAS	FJNOS
-1.00 -1.00 -1.00			Arena gravosas can algo de limos										7.41	NL.	NP	_	28.4	64 6	7.00
-3 50 -3 50 -4 00 -4 50									2										
-5 50 -5 50 -6 00 -6 50			Arenas gravo II masas consistencia firma											199	12.5	7.4	Q 9	56.2	43.0
-7.00 -7.50 -7.50 -7.50																			
-800 - - - -850 - - - -900													- Table	24.5	12.6	11. 9	20	609	37.1
-9 50 -									- 10-					9-					9-

	E		RACION SONDED 4													-	
		ECHA:	_ Noviembre de 201	. 9													
PROFUNDIDAD (m.)	NIVEL FREATION	PERFIL DE SUELO	DESCRIPCIÓN DEL SUELO	ō	CN	* GC	l s LPE	pt S/	PIE	D			SICE	0PIE1 1 – M	IECAN	ICAS	
2	Ä			ta I	100	BO .	0 90	60	70 0	90	W7.	LL		I.P.		AREÑAS	
0 50 1 00			Amena amolilloza con gravas color amarillento									39.9	19.2	ave	80.4	35.2	40
150 200			Ancilla de boja plasticidad con algo de arenos								_	47, 3	22.4	24.9	1.1	12.7	es.
250 300 350			Limp arenoso de baja plasticidad con gravas								_	NL.	ΝP		18. 6	23. 4	593
4 50 5 50 5 50			Nuestra no recuperada														
6 00 6 50 7, 00			Árena arcillosa con nuy pocas gravas								_	NL	NP		20	7E. E	æ
8 500 8 500 9 500 110 0	D		Arena Unosa									20 1	16.7	34	ae	55. 7	41.

	E	ROYEO XPLOR ECHAI	RACION: SONDED 5	9						-						
智人	ESTID	ä, q			< N•	GB)LE	₽\$	PIE	>		Fi	PRI S1CE	OPIE	DADE:	S ICAS	ž.
PROFUNDIDAD (m.)	MAN HA	PERTL JE SUELD	DESCRIPCIÓN DEL SUELO	*	÷ .	P P	. .	· •		w×	ᆫᆫ	LP	I. P.	online.	weži w	rose
				П	1		Ħ		П	4	813	10 =	7.8	шэ	49.6	
0 50		57	Arena arcillosa can gravas	П		Н	Ш		$ \ $				-			
				П		Н	Ш		$ \ $							
L 00				П		Ш	Ш		$ \ $							
				П		Ш	Ш		$ \ $							
L 30				П		Ш	Ш		$ \ $							
200				Ц			Ц		Ц		as					
						П	П		П							
e 50				П		Н	Ш		$ \ $							
			Areno linosa not gradado.	П		Ш	Ш		$ \ $	_	NL.	75		19	89.7	9 4
8 00	8			П		Ш	Ш		$ \ $							
9 50	-8			П		Ш	Ш		$ \ $							
				П		Н	Ш		$ \ $							
4 00				\vdash	+	Н	Н	+	Н	+	-			-		
	3			П		Ш	Ш		$ \ $							
4 50				П		Ш	Ш		$ \ $							
5 00		25	Amenia and I Lago	П		Ш	Ш		$ \ $	_	19.9	12.5	7.4	0.9	56.2	43
				П		Ш	Ш		$ \ $							
5 30				П		Ш	Ш		$ \ $							
						Ш	Ш		Ш							
6 00				П		333	Ħ		П	***	560 50			9		
6 30				П		Н	Ш		$ \ $							
	188		Amenia ancil·llosa	П		Ш	Ш		$ \ $	_	85.0	18.4	18.6	D 8	- e	43
z 00				П		Ш	Ш		$ \ $			16-100	1000000			
	188			П		Ш	Ш		$ \ $							
7. 50				П		Н	Ш		$ \ $							
9 00		1/2		\perp		Ш	Н		Ц	1						
				П		Ш	Н		П							
e 30				П		Ш	Ш		$ \ $							
	8			П		Ш	Ш		$ \ $							
9 00			Arena arcittosa	П		Ш	Ш		$ \ $		B4.5	186	11.5	BO	60.9	37.
9 50				П		Н	Ш		$ \ $							
	3			П		Ш	Ш		$ \ $							
100				H	+	H	H	+	H	+				1		
no e				П		Н	Ш		$ \ $							
	Ĭ			П		Ш	Ш		$ \ $							
11.0	-		Arcillo gravoso de bojo plosticidad con olga de orenos	П		Ш	Ш		$ \ $	-	42.7	22.6	18 1	22.5	BI	⇒ 9.
	28.2%			П		Ш	Ш		$ \ $							
11 9	•			П		Ш	Ш		$ \ $							
E		22		Ц			Ш		Ш		35 35			82 2		
LS T	-		Westro no recuparada													
130		22	8	\forall	+	1	\forall	1	H	1						\vdash
L3 9																
140	•	1	Ancilla gravoso de baja plasticidad con alga de arenas							-	28.0	13.4	19 7	83.7	90	70.
	8															
14 5	ł															
		254				П			П							l

UK DCP V3.1

Penetration Data Report

Project Name: CBR - PROYECTO NOGALES CLUB

 Chainage (km):
 0,000
 Surface Type:
 Unpaved

 Direction:
 0
 Thickness (mm):
 0

 Location/Offset:
 Lane 1
 Base Type:

 Cone Angle:
 60 degrees
 Thickness (mm):

 Zero Error (mm):
 0
 Surface Moisture:
 Moderate

 Test Date:
 08/03/2020
 Moisture adjustment factor:
 Not adjusted

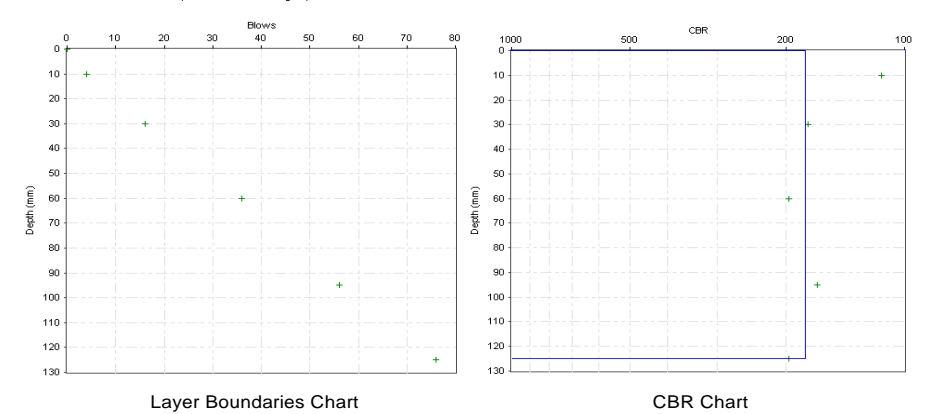
No.	Blows	Cumulative	Penetration	Penetration	No.	Blows	Cumulative	Penetration	Penetration
		Blows	Depth (mm)	Rate			Blows	Depth (mm)	Rate
				(mm/blow)					(mm/blow)
1	0	0	0	0,00					
2	4	4	10	2,50					
3	12	16	30	1,67					
4	20	36	60	1,50					
5	20	56	95	1,75					
6	20	76	125	1,50					
					1				
					ĺ				

UK DCP V3.1 DCP Layer Strength Analysis Report Project Name: CBR - PROYECTO NOGALES CLUB

Chainage (km): Direction: Surface Type: 0,000 Thickness (mm): Lane 1 Base Type:

Location/Offset: Cone Angle: Zero Error (mm): 60 degrees Thickness (mm):

Surface Moisture: Moderate Test Date: 08/03/2020 Moisture adjustment factor: Not adjusted



Layer Properties

I	No.	Penetration	CBR	Thickness	Depth to	Position	Strength	SN	SNC	SNP
ı		Rate	(%)	(mm)	layer bottom		Coefficient			
ı		(mm/blow)			(mm)					
	1	1.64	178	125	125	Subgrade				

Pavement Strength

	La	yer Contributi	ion
Layer	SN	SNC	SNP
Surface			
Base			
Sub-Base			
Subgrade		2,08	2,08
Pavement Strength		2,08	2,08

CBR Relationship: TRL equation: $\log_{10}(CBR) = 2.48 - 1.057 \times \log_{10}(Strength)$

Report produced by .

Unpaved

Report Date: 29-abr-2020 Page 1 of 1 UK DCP V3.1

Penetration Data Report

Project Name: CBR - PROYECTO NOGALES CLUB

 Location/Offset:
 Lane 2
 Base Type:

 Cone Angle:
 60 degrees
 Thickness (mm):

 Zero Error (mm):
 0
 Surface Moisture:

 Zero Error (mm):
 0
 Surface Moisture:
 Moderate

 Test Date:
 08/03/2020
 Moisture adjustment factor:
 Not adjusted

No.	Blows	Cumulative	Penetration	Penetration	No.	Blows	Cumulative	Penetration	Penetration	
		Blows	Depth (mm)	Rate			Blows	Depth (mm)	Rate	
				(mm/blow)					(mm/blow)	
1	0	0	0	0,00					1	
2	4	4	10	2,50						
3	10	14	35	2,50						
4	20	34	70	1,75						
5	20	54	100	1,50						
6	20	74	125	1,25						
					İ					
	İ									

Remarks: CBR - NOGALES CLUB - VIAS ACCESO

Report Date: 29-abr-2020

UK DCP V3.1 DCP Layer Strength Analysis Report

Project Name: CBR - PROYECTO NOGALES CLUB

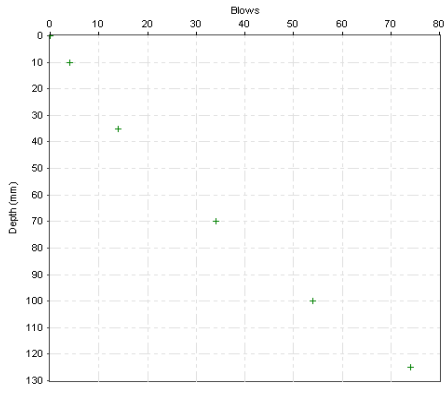
Chainage (km): 0,000 Direction: Location/Offset: Lane 2 Cone Angle: 60 degrees Zero Error (mm): 0 08/03/2020 Test Date:

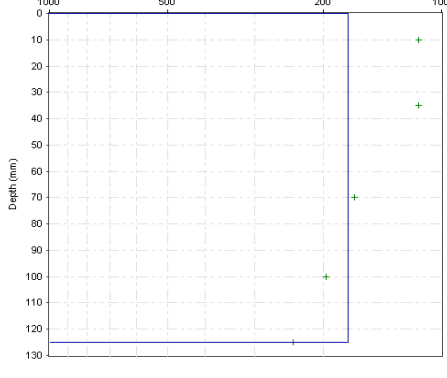
Surface Type: Thickness (mm): Base Type: Thickness (mm): Surface Moisture: Moisture adjustment factor:

Moderate Not adjusted

Unpaved

Layer Boundaries: Chainage 0,000





Layer Boundaries Chart

CBR Chart

Layer Properties

No.	Penetration	CBR	Thickness	Depth to	Position	Strength	SN	SNC	SNP
	Rate	(%)	(mm)	layer bottom		Coefficient			
	(mm/blow)			(mm)					
1	1,69	174	125	125	Subgrade				

Pavement Strength

	Layer Contribution						
Layer	SN	SNC	SNP				
Surface							
Base							
Sub-Base							
Subgrade		2,08	2,08				
Pavement Strength		2,08	2,08				

CBR Relationship: TRL equation: $log_{10}(CBR) = 2.48 - 1.057 \times log_{10}(Strength)$

Report produced by

UK DCP V3.1

Tests Summary Report
Project Name: CBR - PROYECTO NOGALES CLUB

Test Details					Upper Layers			Test Layers			Pavement Strength	
No.	Test Date	Chainage	Location	Offset	Surface Type	Surface	Base Type	Base	Sub-base	Subgrade	SN	SNP
		(km)		(m)		Moisture		Thickness	Thickness	CBR (%)		
								(mm)	(mm)			
1	8/03/2020	0,000	Lane 1		Unpaved	0,71 (Moderate)				50		2,08
2	8/03/2020	0,000	Lane 2		Unpaved	0,71 (Moderate)				50		2,08



